

T.C.
FIRAT ÜNİVERSİTESİ
FEN BİLİMLERİ ENSTİTÜSÜ

**ÜÇ BOYUTLU YAPI SİSTEMLERİNİN
STATİK VE DİNAMİK ANALİZİ**

Ömer KELEŞOĞLU

**YUKSEK LİSANS TEZİ
YAPI EĞİTİMİ ANABİLİM DALI**

Danışman : Doç.Dr. Mehmet ÜLKER

**ELAZIĞ
1996**

50921

50921

T.C.
FIRAT ÜNİVERSİTESİ
FEN BİLİMLERİ ENSTİTÜSÜ

**ÜÇ BOYUTLU YAPI SİSTEMLERİNİN
STATİK VE DİNAMİK ANALİZİ**

Ömer KELEŞOĞLU

**YÜKSEK LİSANS TEZİ
YAPI EĞİTİMİ ANABİLİM DALI**

Bu tez.....tarihinde, aşağıda belirtilen juri tarafından oybirliği/ oy çokluğu ile başarılı/başarısız olarak değerlendirilmiştir.

Danışman
(İmza)

Uye
(İmza)

Üye
(İmza)

.....
.....
.....
Doç.Dr. Mehmet ULKER

ÖZET

Yüksek Lisans Tezi

ÜC BOYUTLU YAPI SİSTEMLERİNİN STATİK VE DİNAMİK ANALİZİ

Omer KELEŞOĞLU

Fırat Üniversitesi
Fen Bilimleri Enstitüsü
Yapı Eğitimi Anabilim Dalı

1996, Sayfa:

Statik ya da dinamik yüklemeye maruz çok katlı çerçeve ve kesme duvarın üç boyutlu lineer yapısal analizi için bir yöntem ve bir bilgisayar programı geliştirilmiştir.

Bina, kendi düzlemleri içinde rıjt olan yatay döşeme diyaframları ile birbirine bağlanmış perde duvarı ve bağımsız düşey çerçeve sistemlerinden oluşan bir grup olarak idealeştirilir. Çerçeve ve perde duvari sistemleri esas itibarıyle, yatay kırışlar ve düşey kolonların oluşturduğu bir dikdörtgen şeklinde bulunmalıdır. Ne varki; özel modelleme teknikleriyle çok karmaşık tekniklerde göz önüne alınabilmektedir. Süreksiz perde duvarlar ve keyfi aralıklı perde duvarlarının modellenmesini sağlamak için özel bir perde panel elemanı geliştirilmiştir. Takviyeli(bilezikli) çerçeveleri modellemek için köşegenel destetli bir elemanda sunulmuştur.

Kolonlar, perde paneli ve köşegenel formülasyonlar, eğilme, eksenel ve kayma (kesme) deformasyonlarının etkilerini içerir. Ayrıca eğilme ve kesme deformasyonları da formüllerde yer almaktadır. Ne varki; eksenel deformasyonlar ihmal edilmiştir.

Kolon ve kiriş boyutlarının bir çerçeve veya perde duvarı sisteminin rıjitliği üzerindeki etkileri de otomatik olarak yer almaktadır.

Binalar plan görünüşünde simetrik yada dikdörtgen şekilli olmayabilir. Sonuçlarda, burulma davranışları ve katlararası bütünlük hassas bir şekilde yansıtılmaktadır. Bir çalışmada, o bağımsız, üç düşey ve yatay statik yük şartı mümkün olmaktadır. Bu beş yük şartı, birbiri ile veya zamana bağlı bir yer ivmesi olarak ifade edilebilecek yatay bir dinamik deprem girdisinde herhangi bir oranda birleştirilebilmektedir.

Üc boyutlu mod şekilleri ve frekansları değerlendirilmektedir.

Program tarafından kullanılan bütünsel çözüm süreci çerçeve ve perde duvarlarını değiştirilmiş bir ön dalga tekniği ile indirgenmiş alt yapılar olarak göz önüne alır. Bu metod, program veri hazırlama, hesaplama gayreti ve depolama gereklerinde önemli bir miktar da azalmasına yol açar.

ABSTRACT

Msc Thesis

STATIC AND DYNAMIC ANALYSIS OF THREE DIMENSIONAL BUILDING SYSTEMS

Omer KELESOĞLU

Firat University
Graduate School of Natural and Applied Sciences
Department of Construction Education

1996, Page:

A procedure and a computer program are developed for the linear three dimensional structural analysis of multistory frame and shear wall buildings subjected to static or dynamic loading.

The building is idealized as an assemblage of vertical independent frame and shear wall systems interconnected by horizontal floor diaphragms which are rigid in their own plane. The frame and shear wall systems must basically be of rectangular geometry(in elevation) with vertical columns(or piers) and horizontal beams(or spandrels), however, with special modeling techniques very complex situations may be considered. A special shear panel element is developed to enable modeling of discontinuous shear walls and shear walls with arbitrary openings. A diagonal bracing element to model braced frames is also presented.

The column, shear panel and diagonal formulations include the effects of bending, axial and shear deformations. Bending and shear deformations are also included in the beam formulation, however, the effects of axial deformations are neglected.

IV

The effect of the finite dimensions of the beam and columns on the stiffness of a frame or shear wall system are automatically included.

The buildings may be unsymmetrical and non-rectangular in plan. Torsional behavior and interstory compatibility are accurately in the results.

Three independent vertical and two independent lateral static load conditions are possible in any one run. These five static load conditions may be combined in any ratio to each other or to a lateral dynamic earthquake input which may be specified as a time-dependent ground acceleration or as an acceleration response spectrum.

Three dimensional mode shapes and frequencies are evaluated.

The unique solution procedure used by the program considers the frame and shear walls as substructures, reduced with a modified wave front technique. This method results in a significant reduction in the program data preparation, computational effort and storage requirements.

TEŞEKKÜR

"Üç Boyutlu Yapı Sistemlerinin Statik ve Dinamik Analizi" konulu yapmış olduğum tez çalışmasında beni teşvik eden ve çalışmalarım sırasında yardımcı olan danışman hocam Sayın Doç. Dr. Mehmet Ulker 'e, bölüm başkanımız Sayın Mehmet Tuğal 'a ve çalışmamda bana yardımcı olan ve emeği geçen tüm hocalarıma ve arkadaşlarımıza ayrıca teşekkürü bir borç bilirim.



İÇİNDEKİLER

	Sayfa
ÖZET	I
ABSTRACT	III
TEŞEKKÜR	V
İÇİNDEKİLER	VI
ŞEKİLLER LİSTESİ	IX
SEMBOLLER LİSTESİ	X
1. GİRİŞ	1
1.1. Yapı Analizi İçin Genel Programlar.....	1
1.2. Bina Analizi İçin Özel Amacı Programlar.....	2
2. YAPISAL İDEALLEŞTİRME	4
2.1. Çerçeve Altyapıları.....	5
2.1.1. Tekil eleman rıjitliği.....	5
2.1.2. Yatay çerçeve rıjitliği.....	14
2.1.3. Kiriş ve kolonlar için rıjilik düğüm noktası çıktıları.....	17
2.2. Tüm Yapı Sistemi.....	18
3. STATİK ANALİZ	22
3.1. Düşey Yüklerin Analizi.....	23
3.2. Yatay Yüklerin Analizi.....	23
4. DİNAMİK ANALİZ	24
4.1. Kütle Yaklaşımı, Kütle ve Kütle Atalet Momentleri.....	24
4.2. Dinamik Denge Denklemleri.....	27
4.3. Model Sekilleri ve Frekansları.....	29
4.4. Zaman Süre Analizi.....	31
4.5. Tepki Spektrum Analizi.....	34
4.6. TABS 80 'nin Dinamik Seçenekleri.....	36
5. GENEL GÖZLEMLER	38
5.1. Programın Uygulanması.....	38

5.2. Binanın Statik Sismik Analizi.....	38
5.3. Elle Hesaplama Yontemlerine Karşı Bilgisayar Yöntemleri.....	39
5.4. Yapıların Dinamik Deprem Analizi.....	39
5.5. Temel Yapı Etkileşimi.....	40
6. TAB 80'İN DAHİLİ ORGANİZASYONU.....	42
7. TAB 80 İÇİN GİRDİLERİN DÜZENLENMESİ.....	44
7.1. Referans Noktası ve Referans Eksenleri.....	44
7.2. Yük Durumları ve Şartları.....	44
7.3. Kat Verileri.....	46
7.4. Çerçeve Verileri.....	46
7.5. Cerceve Yerel Koordinatları.....	48
7.6. Dinamik Yükleme Alt Verileri.....	48
8. TAB 80 GİRDİ VERİLERİNİN ÖZEL DURUMLA.....	50
8.1. Özel Modelleme Problemleri.....	50
8.1.1. Basit pier-spandrel sistemi.....	50
8.1.2. Süreksiz perde duvar sistemi.....	50
8.1.3. Keyfi yerleştirilmiş aralıklara sahip perde duvarlar.....	50
8.1.4. Eksantrik olarak atılan destek sistemleri.....	51
8.1.5. Temel rıjitliği.....	51
8.1.6. Mafsallı temeller	51
8.2. Elemanların Genel Karakteristikleri.....	54
8.2.1. Kolon elemanı.....	54
8.2.2. Kiriş elemanı.....	54
8.2.3. Duvar elemanı.....	54
8.2.4. Diyagonal elemanı.....	55
9. PROGRAMIN ÇIKTISI.....	56
9.1. Komple Yapıya Ait Çıktılar.....	56
9.2. Herbir Çerçeve ile Verilen Çıktılar.....	56
9.3. Statik Kontrol.....	54

VIII

10. PROGRAMIN KAPASİTESİ.....	61
11. TAB 80 GIRDİ DATASININ DETAYLANMIŞ TANIMLANMASI. 64	
11.1. Açıklama Kartları.....	64
11.2. Kontrol Bilgi Kartları.....	64
11.3. Bina Kat Hesaplanması İçin Kütle Datası, Kütle Atalet Momenti ve Kütle Merkezi.....	67
11.4. Bina Kat Datası.....	67
11.5. Çerçeve Datası.....	70
11.6. Çerçeve Yerleştirme Kartı.....	74
11.7. Yatay Sismik Yüklerin Hesabı.....	76
11.8. Deprem Hız Spektrum Kartları.....	78
11.9. Zaman Süre Kartları.....	78
11.10. Tanımlanan Kartları Yükleme Durumu.....	79
11.11. Son Kart.....	80
12. SONUÇ VE ÖNERİLER.....	81
KAYNAKLAR.....	83
EKLER.....	84

ŞEKİLLER LİSTESİ

- Şekil 1.1. Tipik bir çerçevenin görünüsü.
- Şekil 2.1., 2.2., 2.3., 2.4., 2.5., 2.6. Çerçeve elemanları.
- Şekil 2.7. Rijit Bolgeler.
- Şekil 2.8. Çerçevenin genel ve sınırlı yanal deplasmanları.
- Şekil 4.1. a. Kütle ve kutle merkezinin tanımı.
- Şekil 4.1. b. Kütle ve atalet momentinin tanımı.
- Şekil 4.2. Zemin ve yapısal deplasmanlar.
- Şekil 6.1. TABS 80 alt dongu hatları.
- Şekil 7.1. Tipik yapı kat seviyesi.
- Şekil 7.2. Tipik çerçeve yüksekliği.
- Şekil 8.1. Özel modelleme durumları.
- Şekil 8.2. Mafsallı temel modelleme.
- Şekil 9.1. Yapısal yanal deplasmanlar için pozitif yönler.
- Şekil 9.2. Çerçeve deplasmanları için pozitif yön.
- Şekil 9.3. Kuvvet elemanları için pozitif yön.
- Şekil 11.1. Beş kısma ayrılmış kutle tipi örneği.
- Şekil 11.2. A ve B statik yatay yük durumu.
- Şekil 11.3. Kiriş özelliği ve kiriş yükleme durumu.
- Şekil 11.4. Çerçeve noktalarını yerleştirmek.
- Şekil 11.5. UBC yanal kuvvet dağılım düzeni.

X

SEMBOLLER LİSTESİ

- a= Dönüşüm matrisi,
A= Eksenel alan.
C= Sonum matrisi.
 $C_{i,j}$ = Modal çarpım düzeltme katsayısı.
d= Donme mesafesi,
E= Elastisite modulu.
f= Modal bileşkelerin vektörü,
 ϕ = Mod sekli.
F= Bileşke,
G= Kayma modülü,
I= Atalet momenti,
J= Kutle atalet momentinin donmesi,
k= Eleman rijitlik matrisi,
 K_L = Çerçeve yanal rijitlik matrisi,
L= Çubugun uzunluğu,
 λ = Tepki spektrum eğrisini içeren sönüm,
m= Kütle,
M= Kutle matrisi,
MMI= Polar atalet momenti,
n= Mod sayısı,
N= Çerçeve katsayısı,
 ω = Frekans,
 $P(t)$ = Uygulanan yük vektörü,
PSv= Hız spektrumu,
r= Açısal frekanslar,
 r_a = Mutlak ivme vektörü,
 r_L = Yanal kat deplasmanlar vektörü,
 R_L = Yanal yük alt matrisi,
S= Kuvvet,
 S_d = Deplasman tepki spektrumu,
 U_{max} = Mutlak değer,
 V_g = Statik deplasman vektoru,
 $Z(t)$ = Modun tepkisi.

1. GİRİŞ

1.1 Yapı Analizi İçin Genel Programlar

Karmaşık yapıların doğrusal analizi için iki ve üç boyutlu birçok genel program vardır. Bu programların birçoğu binaların analizi için kullanılabilir, ancak genel yapı analizi programını binaların analizi için kullanmanın bazı sakıncaları vardır. Belli başlı zorluklar şunlardır:

1. Birçok bina yatay ve düşey elemanlardan oluşan basit bir geometriye sahip olduğu için program girdisi gereğinden fazla karmaşıktır.
2. Birçok çerçeve ve perde duvar tipiktir. Genel programlar bunu dikkate almazlar ve bu nedenle program girdisi fazla olur, ayrıca bazı hesaplamalar gereksiz olabilir.
3. Yükleme sınırlı bir şekildedir, belirli yükler sınırlı sayıdaki yerlerden etkirler.
4. Genel programlar döşeme sisteminin kendi düzlemi içinde çok rıjıt olduğunu dikkate almazlar (bu iyi projelendirilmiş birçok bina için geçerlidir). Eğer bu varsayımda yapılmazsa ortaya çıkan denge denklemleri çok fazla olur ve hesap işini 10 ila 100 kat arttırmır. Aynı zamanda sayısal hatalar da oluşabilir, çünkü döşeme sisteminin rıjılığı, kattan kata rıjılığa oranla birkaç mertebe fazladır.
5. Birçok binada eleman boyutları büyktür ve eksen mesafeleri yapıyı hassas olarak tanımlamaya yetmez ve çok az sayıdaki genel programda rıjıt bölge tanımı vardır.
6. Binaların dinamik analizi için yapının kütlesi kat hizalarında toplanabilir. Oluşacak "eigen value" probleminin uygun bir büyüklükte olması için bu varsayımda kullanılmalıdır.
7. Çeşitli yükleme durumlarını sağlayabilmek için düşey rüzgar ve deprem yüklerinin kombinasyonlarının yapılması gereklidir.

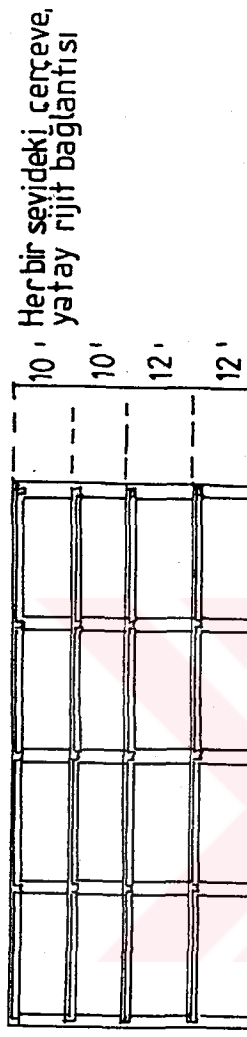
8. Bilgisayar çıktısının belirli bir çerçeveye, kat, kolon yada kiriş üzerinde özetlenmesi istenebilir. Ayrıca kat kesme kuvveti gibi özel çıktıda istenebilir.
9. Bu ve başka nedenlerle bina analizi için özel programlar gereği ortaya çıkmıştır.

1.2 Bina Analizi İçin Özel Amaçlı Programlar

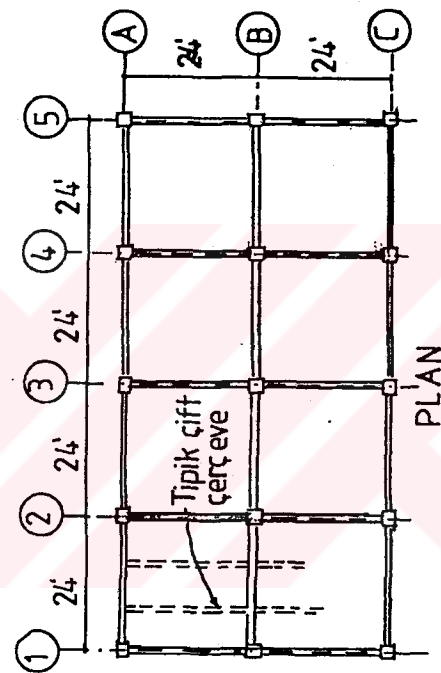
Çok katlı binaların analizi için Kaliforniya Üniversitesinde dört değişik program geliştirilmiştir. Bu programlar birçok ülkede pek çok önemli yapıda kullanılmıştır.

Bunlardan birincisi FRMSTC adıyla bilinen ve paralel çerçeveli veya perde duvarlı simetrik binaların statik yük analizini yapan bir programdır. Aynı zamanda yanal mod şekillerini ve frekansları bulmaktadır. FRMDYN programı da FRMSTC programının bir benzeridir, fakat bu programa yük olarak deprem yer ivme kaydı verilir. Zamana bağlı olarak deplasman ve eleman kuvvetleri bulunur fakat statik yüklerle kombinasyonu yapılamaz. LATERAL programı FRMSTC programının bir uzantısıdır. Paralel olmayan çerçeve ve perde sistemlerinin statik analizini yapar. Her katta üç serbestlik derecesi vardır. Bu programda dinamik seçim yoktur. Kompleks kiriş ve sonlu eleman sistemlerinin çözümlenmesi için yeni bir program geliştirilmiştir. Bu programın ismi SAP dır ve rıjît kat döşemesi yaklaşımı uygulanabilir. Yine de daha önce belirtilen sınırlamalardan bazıları bu program için de geçerlidir. Bu programda da dinamik seçim vardır.

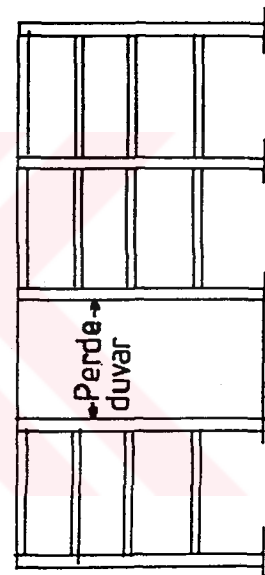
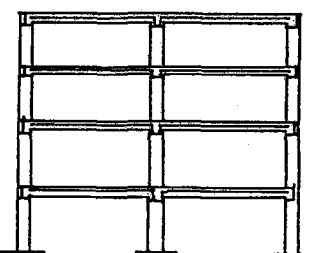
Bina analizi için geliştirilen TABS bilgisayar programı bahsedilen ilk üç program yerine kullanılır.



1, 2, 3, 4 Aksı Boyunca Çerçeve Yüksekliği



2, 3, 4 Aksı Boyunca Çerçeve Yüksekliğim



A, C Aksı Boyunca Çerçeve Yüksekliği

NOT: Yapı $\frac{1}{4}$ tipik ve $\frac{1}{8}$ oplamış çerçevedir.

Şekil 1.1. Tipik Bir Çerçevenin Görünüşü

2. YAPISAL İDEALLEŞTİRME

Üç boyutlu tam bir yapısal boyut analizi, ancak sınırlı sayıda bina için gerekli olmaktadır. Binaların büyük çoğunluğu için, aşağıdaki yaklaşımalar kullanılabilir. Bu yaklaşımalar, giriş verilerinin hazırlanmasını büyük oranda basitleştirip, yapının analizi için gerekli hesaplama miktarını önemli ölçüde azaltırlar.

1. Yapı, düşey düzlemsel bir "çerçeveler" topluluğu olarak idealleştirilir. Bir çerçeve, m sayıda kolon ile $(m-1)$ sayıda kirişten oluşur. Bütün elemanlarda kayma ve eğilme deformasyonları bulunduğu müddetçe, perde duvarı, kiriş ve kolon sistemi arasında ayrılmaya gerek yoktur.(şekil 1.1)
2. Bütün çerçevelerin düzlem dışı rıjilikleri sıfır olarak kabul edilir. Bu nedenle, her döşemede her bir kolonun serbestlik derecesi ikidir: düşey deplasman ve dönmedir. Ayrıca, çerçevenin her kat seviyesinde bir yatay serbestlik derecesi vardır.
3. Her döşeme yatay bir diyafram olarak modellenmiştir. Diyaframın düzlemden sonsuz rıjit olduğu kabul edilir. Düzlem dışı rıjılığın ihmal edilir. Döşemelerin eğilme rıjılığine, tekil çerçevelerin modellenmesinde, yaklaşık bir şekilde yer verilebilir. Kirişlerde eksenel deformasyona izin verilmemiği açıkları. Döşeme seviyelerinin bütün çerçeveler için aynı olması gereklidir.(şekil 1.1)
4. Döşeme diyaframı, sözkonusu seviyedeki bütün döşemeleri birleştirir. Birleşme sadece yanal anlamdadır. Aksi halde çerçeveler biribirlerinden tamamen bağımsız olurlar. Bu, bir çerçeveden daha fazlasına ait olan kolonlardaki deplasmanlara göre uyumsuzluk olduğu anlamına gelir. Bu nedenle, ortak kolonlardaki eksenel deformasyonlar aynı olmazlar. Bağlantılardaki dönmelere gelince; ortak elemanlara sahip olan çerçeveler üstten görünüşte birbirlerine dik iseler, dönmeler ayrılırlar.
5. Düşey yükler, her bir çerçeveye, bağımlı alan temeli üzerinde uygulanır. Diyafram hiçbir düşey yükü bir çerçeveden diğerine

- iletmemektedir. Ne varki, hiçbir çerçeve diğer çerçeveleri etkilemeksizin, bağımsız olarak yana kayamaz.
6. Yatay yükler, herbir seviyede, bütün döşemeyle etki eden yükler olarak uygulanırlar. Yükler döşeme diyaframları üzerindeki belirli yerlere uygulanır ve o yüze karşılık gelen rıjilik ve yükün uygulandığı kısımlara göre çeşitli çerçevelere dağıtilırlar.

2.1. Çerçeve Altyapıları

Şekil 1.1' de tipik bir çerçevenin yandan görünüşü görülmektedir. Çerçeve basitçe dikdörtgen şeklindedir. Düşey kolon merkez hatları ve yatay döşeme seviyeleri, çerçevenin tanımlanması için temel referanslar olarak alınmıştır.

Çerçeve kolon, kiriş, panel ve destek elemanlarından oluşmaktadır. Düşey yükleme, herbir kirişle birlikte bulunan yükleme şekli vasıtasyyla, çerçevelere tek tek, uygulanmaktadır. Kolon ve kiriş elemanlarının, sistemin rıjilikleri üzerinde elemanların sonlu boyutlarının etkisini karşılamak için her üçta, rıjık çıktı seçimi vardır. Bu çıktıların uzunluklarını ayarlamak için kullanılan işlem sırası, bu çalışmada, daha sonra açıklanmıştır.

2.1.1. Tekil eleman rıjilik

Herbir çerçevenin tam rıjilik matrisi, doğrudan rıjilik teknigi ile oluşturulur. Eleman deplasman ve kuvvetleri, ϕ , S , genel deplasman ve kuvvetlere r , R dönüştüren bir dönüşüm matrisi a boyunca herbir eleman için, eleman rıjilik matrisinin k , hesaplanması içeriir;

veya:

$$\phi = a r \quad S = k \phi \quad (1)$$

$$S = a R \quad R = K r \quad (2)$$

Bağıntıları yazılır.

Burada K , genel koordinatlardaki rijitlik matrisidir.

$\phi = a r$ ve $S = a R$ değerleri $S = k \phi'$ de yerine yazılırsa;

$$a R = k a r \quad (3)$$

denklemi elde edilir.

Her iki taraf önceden a^T ile çarpılır ve $a^T a = I$ olarak tanımlanırsa;

$$a^T a R = a^T k a r \quad (4)$$

$$R = a^T k a r \quad (5)$$

bağıntısı elde edilir. Böylece

$$R = k r \quad \text{iken} \quad K = a^T k a \quad (6)$$

denklemi kurulur.

Böylece, eleman rijitlik matrisi k ve koordinat dönüşüm matrisi a' nın değeri bildikten sonra, genel rijitlik matrisi hesaplanabilir.

Kolon, kiriş, panel ve destek elemanları için a ve k matrisleri şekil 2.2, 2.3, 2.4, 2.5' de sırasıyla verilmiştir.

Kolon eleman formülasyonu, eğilme, eksenel ve kayma deformasyon değerleri içindir. Böyle bir eleman için temel rijitlik matrisi şekil 2.1'de gösterilmiştir. Kolon uçlarının rijit çıktılar için seçimleri vardır. Şekil 2.4, (kolon elemanı ve çerçeve bağlantısı deplasmanlarını, kolon ucunun deformasyonu ile irtibatlandıran, deformansyon deplasman dönüşüm matrisini içeren) altı serbestlik derecesini göstermektedir.

Kiriş eleman formülasyonu, eksenel kuvvet bileşeninin, şekil 2.3'de gösterilen bir rıjilik ve dönüşüm matrisi bırakarak, dönüşmesi dışında, kolon formülasyonuna benzemektedir.

Panel elemanı formülasyonu, kolonunki ile temelde aynıdır. Yalnız, burada her bir dönme serbestlik derecesi, her bir karşılık gelen seviyede panel elemanını sınırlayan kolon akslara ait iki düşey deplasmana dönüştürülmektedir. Panelin eksenel serbestlik dereceleri de, karşılık gelen her seviyedeki panel elemanını sınırlayan iki kolon aksının düşey serbestlik derecelerinin bir ortalaması olarak dönüştürülmektedir. Panelde bulunan çerçevenin serbestlik dereceleri de, bu nedenle, tümüyle dönüştürülebilmektedir. Hiçbir rıjıt çıktı kullanılmamıştır (şekil 2.4).

Köşegen eleman formülasyonu da kolonunki ile tamamen aynıdır. Yalnız destek eğiğ olup, rıjıt çıktı kullanılmamıştır.(şekil 2.5)

Her bir çerçeve için tam rıjilik matrisi, her bir kolon kiriş ara kesiti için iki, kat başına da bir yanal serbestlik derecesine sahiptir.

$$\begin{bmatrix} M_i \\ M_j \\ S \end{bmatrix} = \begin{bmatrix} S_a & S_b & 0 \\ S_b & S_a & 0 \\ 0 & 0 & S_c \end{bmatrix} \begin{bmatrix} \phi_i \\ \phi_j \\ \delta \end{bmatrix} \quad (7)$$

Kuvvet Deformasyon Dönüşümü

Burada:

$$S_a = (2EI / L) * ((2 + \beta) / (1 + 2\beta)), \quad S_b = (2EI / L) * ((1 - \beta) / (1 + 2\beta))$$

$S_c = AE / L$, $\beta = 6EI / L^2 A G$, A = Eksenel alan, I = Atalet momenti,
 E = Elastik modül, G = Kayma modülü, L = Çubuğuun uzunluğuudır.

Yapı analizi denklemleri aşağıda verilmiştir.

Eksenel Deformasyon ile Eğilme Elemanı

$$\begin{bmatrix} M_i \\ M_J \\ S \end{bmatrix} = \begin{bmatrix} S_a & S_b & 0 \\ S_b & S_a & 0 \\ 0 & 0 & S_c \end{bmatrix} \begin{bmatrix} \phi_i \\ \phi_J \\ \delta \end{bmatrix} \quad (8)$$

$$S_c = k_c \phi_c \quad (9)$$

Kuvvet Deformasyon dönüşümü

$$\begin{bmatrix} \phi_i \\ \phi_J \\ \delta \end{bmatrix} = \begin{bmatrix} 1+b/h & 1/h & a/h & -1/h & 0 & 0 \\ b/h & 1/h & 1+a/h & -1/h & 0 & 0 \\ 0 & 0 & 0 & 0 & 0 & 0 \end{bmatrix} \begin{bmatrix} \theta_B \\ u_B \\ \theta_T \\ u_T \\ v_B \\ v_T \end{bmatrix} \quad (10)$$

$$\phi_c = a_c \ r_c \quad (11)$$

Deformasyon Deplasman Dönüşümü

$$K_c = a_c^T k_c a_c \quad (12)$$

Kolon Rijitlik Matrisi (6X6)

$$\begin{bmatrix} M_i \\ M_j \end{bmatrix} = \begin{bmatrix} S_a & S_b \\ S_a & S_b \end{bmatrix} \begin{bmatrix} \phi_i \\ \phi_j \end{bmatrix} \quad (13)$$

$$S_b = k_b \phi_b \quad (14)$$

Kuvvet Deformasyon Matrisi

$$\begin{bmatrix} \phi_i \\ \phi_j \end{bmatrix} = \begin{bmatrix} 1+b/L & 1/L & a/L & -1/L \\ b/L & 1/L & 1+a/L & -1/L \end{bmatrix} \begin{bmatrix} \theta_L \\ v_L \\ \theta_R \\ v_R \end{bmatrix} \quad (15)$$

$$\phi_b = a_b r_b \quad (16)$$

Deformasyon Deplasman Dönüşümü

$$K_b = a^T_b k_b a_b \quad (17)$$

Kiriş Rijitlik Matrisi (4X4)

$$\begin{bmatrix} M_i \\ M_j \\ S \end{bmatrix} = \begin{bmatrix} S_a & S_b & 0 \\ S_b & S_a & 0 \\ 0 & 0 & S_c \end{bmatrix} \begin{bmatrix} \phi_i \\ \phi_j \\ \delta \end{bmatrix} \quad (18)$$

$$S_c = k_c \phi \quad (19)$$

Kuvvet Deformasyon Dönüşümü

$$\begin{bmatrix} \phi_i \\ \phi_j \\ \delta \end{bmatrix} = \begin{bmatrix} 1/h & -1/h & -1/L & 1/L & 0 & 0 \\ 1/h & -1/h & 0 & 0 & -1/L & 1/L \\ 0 & 0 & 1/2 & 1/2 & -1/2 & -1/2 \end{bmatrix} \begin{bmatrix} u_B \\ u_T \\ v_{LB} \\ v_{RB} \\ v_{LT} \\ v_{RT} \end{bmatrix} \quad (20)$$

$$\phi_p = a_p \ r_p \quad (21)$$

Deformasyon Deplasman Dönüşümü

$$K_p = a_p^T k_p a_p \quad (22)$$

Panel Rijitlik Matrisi (6X6)

$$\begin{bmatrix} M_i \\ M_j \\ S \end{bmatrix} = \begin{bmatrix} S_a & S_b & 0 \\ S_b & S_a & 0 \\ 0 & 0 & S_c \end{bmatrix} \begin{bmatrix} \phi_i \\ \phi_j \\ \delta \end{bmatrix} \quad (23)$$

$$S_D = k_D \phi_D \quad (24)$$

Kuvvet Deformasyon Dönüşümü

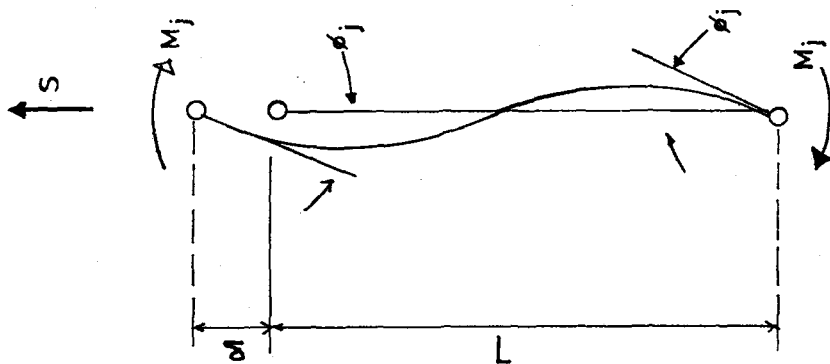
$$\begin{bmatrix} \phi_i \\ \phi_j \\ \delta \end{bmatrix} = \begin{bmatrix} 1 & -h/DD & 0 & h/DD & -L/DD & L/DD \\ 0 & 1 & -h/DD & h/DD & -L/DD & L/DD \\ 0 & -L/D & 0 & L/D & -h/D & h/D \end{bmatrix} \begin{bmatrix} \theta_B \\ u_B \\ \theta_T \\ u_T \\ v_B \\ v_T \end{bmatrix} \quad (25)$$

$$\phi_D = a_D \ r_D \quad (26)$$

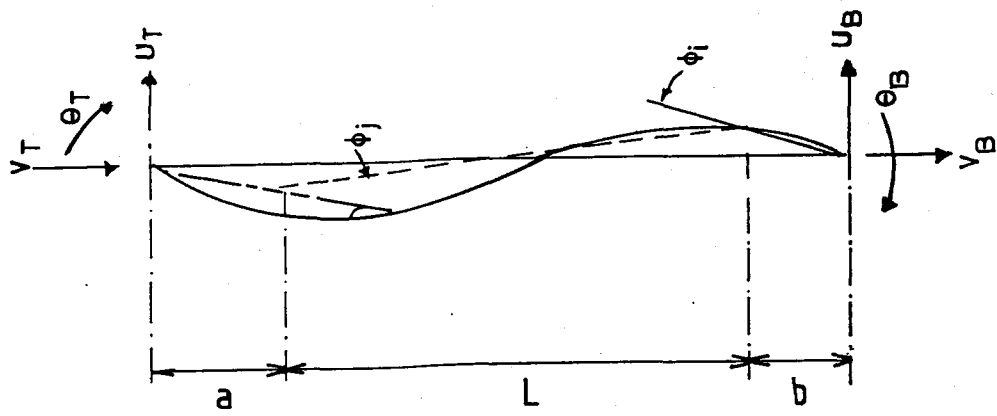
Deformasyon Deplasman Matrisi

$$K_D = a_D^T K_D a_D \quad (27)$$

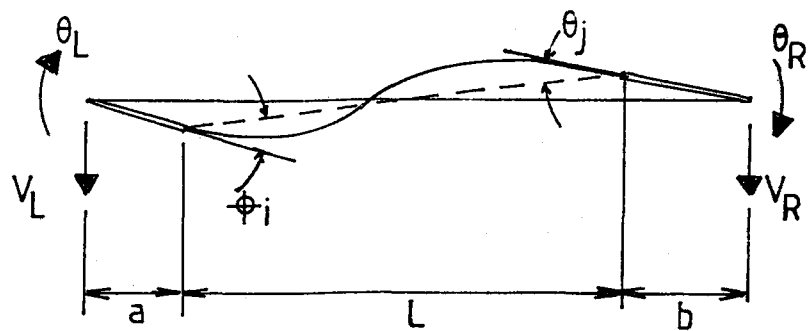
Köşegen Rijitlik Matrisi (6X6)



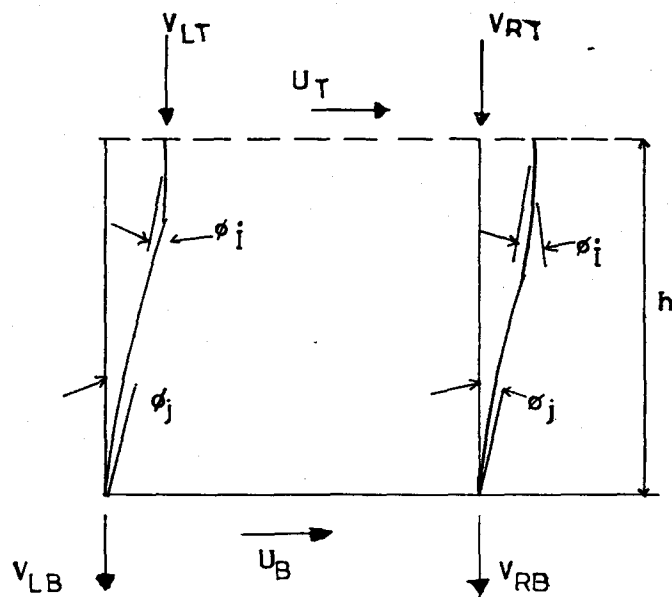
Şekil 2.1



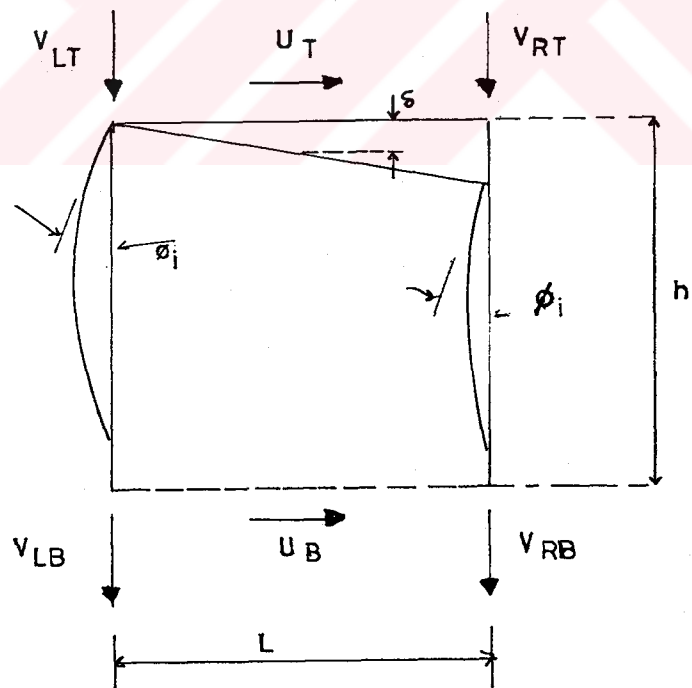
Şekil 2.2



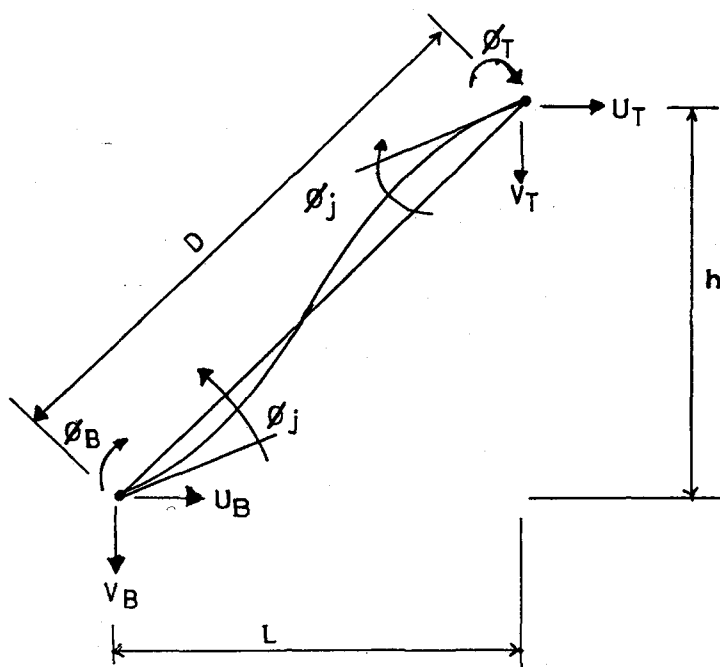
Şekil 2.3



Şekil 2.4



Şekil 2.5



Şekil 2.6

2.1.2. Yatay çerçeve rıjtılığı

Çerçeve serbestlik dereceleri uygun bir şekilde düzenlendiğinde, çerçeve denge denklemleri şekil 2.6'da gösterilen şekle sahip olurlar. Burada N , çerçevedeki kat sayısı, r_N , n . kat seviyesindeki bağlantı deplasmanları (yani düşey deplasman ve dönme) vektörü, r_L ise, yanal kat deplasmanları vektördür.

Yatay yükler bütün yapıya uygulanır ve bütün yapı için yatay rıjtılık matrisi kurulduğu zaman göz önüne alınır. Bütün sistem üzerine Gauss eliminasyon yöntemi uygulanır ve şu denklemler kullanılır.

$$R_N = C_{N-1} r_{N-1} + K_N r_N + E_N r_L \quad (28)$$

Son N denklemleri (r_L N' inci mertebeden bir vektördür), şimdi şu şekilde yazabiliriz.

$$R_L = K_L r_L \quad (29)$$

R_L vektörü çerçeveyen yanal yük alt matrisi olup, çerçeve üzerindeki düşey yükleme sebebiyle, eliminasyon yöntemi ile değiştirilir. Bu terimler, düşey yükleme altında yanal etkileri temsil ederler. K_L matrisi, açıkça, çerçeve yanal rijitlik matrisini; yani, sadece yatay kat deplasmanları cinsinden çerçevenin rijitlik matrisini temsil ederler.

Bilgisayar programında, depolama ihtiyacını azaltmak için aşağıdaki yaklaşım uygulanmıştır. Denklem sistemi ve indirgeme işlemi sistematik olarak

$$\begin{array}{c|ccccc|c}
 R_1 & K_1 & C_1 & & E_1 & r_1 & 2NC \\
 R_2 & C_1^T & K_2 & C_2 & E_2 & r_2 & 2NC \\
 R_3 & C_2^T & K_3 & C_3 & E_3 & r_3 & 2NC \\
 \vdots & \vdots & \vdots & \vdots & \vdots & \vdots & \vdots \\
 R_n & & K_n & C_n & E_n & r_n & 2NC \\
 R_{n+1} & & C_n^T & K_{n+1} & E_{n+1} & r_{n+1} & 2NC \\
 \vdots & & & & \vdots & \vdots & \vdots \\
 R_{N-1} & & & K_{N-1} & C_{N-1} & E_{N-1} & r_{N-1} & 2NC \\
 R_N & & & C_{N-1}^T & K_N & E_N & r_N & 2NC \\
 R_L & E_1^T & E_2^T & \dots & E_n^T & E_{n+1}^T & \dots & E_{N-1}^T & E_N^T & K_L & r_L & NS+1
 \end{array}$$

Çerçeve Alt Yapısının Denklem sisteminin Tanımı

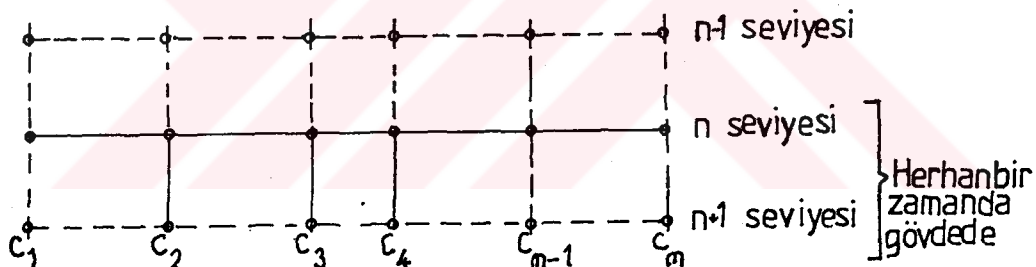
NC = Kolon Aks Sayısı, NS = Bina Kat Sayısı

yapının üstünden kat kat oluşturulmuştur. Öyle ki; herhangi bir n seviyesinde, aşağıda gösterilen sistemi yazılabilir.

$$\begin{bmatrix} R'_n \\ R'_{n+1} \\ R'_L \end{bmatrix} = \begin{bmatrix} K'_n & C'_n & E'_n \\ C'^T_n & K'_{n+1} & E'_{n+1} \\ E'^T_n & E'^T_{n+1} & K'_L \end{bmatrix} \begin{bmatrix} r_n \\ r_{n+1} \\ r_L \end{bmatrix} \quad (30)$$

Burada, alt matrislerin ön eliminasyon ile değiştirilmiş olduğu görülmektedir. Her seviyede aşağıdaki adımlar uygulanır.

1. n . seviyesi için tekil eleman rijitliğini ekleyin. Bunlar aşağıda gösterilmiştir.



2. Yukarıdaki denklemlerde, en üst kısmındaki denklemler üzerinde eliminasyon yapılır.

İndirgenmiş bu denklemler, daha sonra yapılacak geriye doğru toplama için saklanır.

3. Bir sonraki seviyeye ilerlemek için, yukarıdaki denklemde yer alan alt matrisler uygun bir tarzda yeniden düzenlenir. Bu düzenleme aşağıdaki gibidir.

4. Bir sonraki adım için yukarıdaki adımlar tekrarlanır. Böylece, bütün kat seviyelerindeki bağıl deplasmanlar için eliminasyon işlemi tamamlandıktan sonra, geriye, çerçeve için yanal rijitlik matrisi kalır.

$$\begin{bmatrix} R'_{n+1} \\ 0 \\ R'_L \end{bmatrix} = \begin{bmatrix} K'_{n+1} & 0 & E'_{n+1} \\ 0 & 0 & 0 \\ E'^T_{n+1} & 0 & K'_L \end{bmatrix} \begin{bmatrix} r_{n+1} \\ r_{n+2} \\ r_L \end{bmatrix} \quad (31)$$

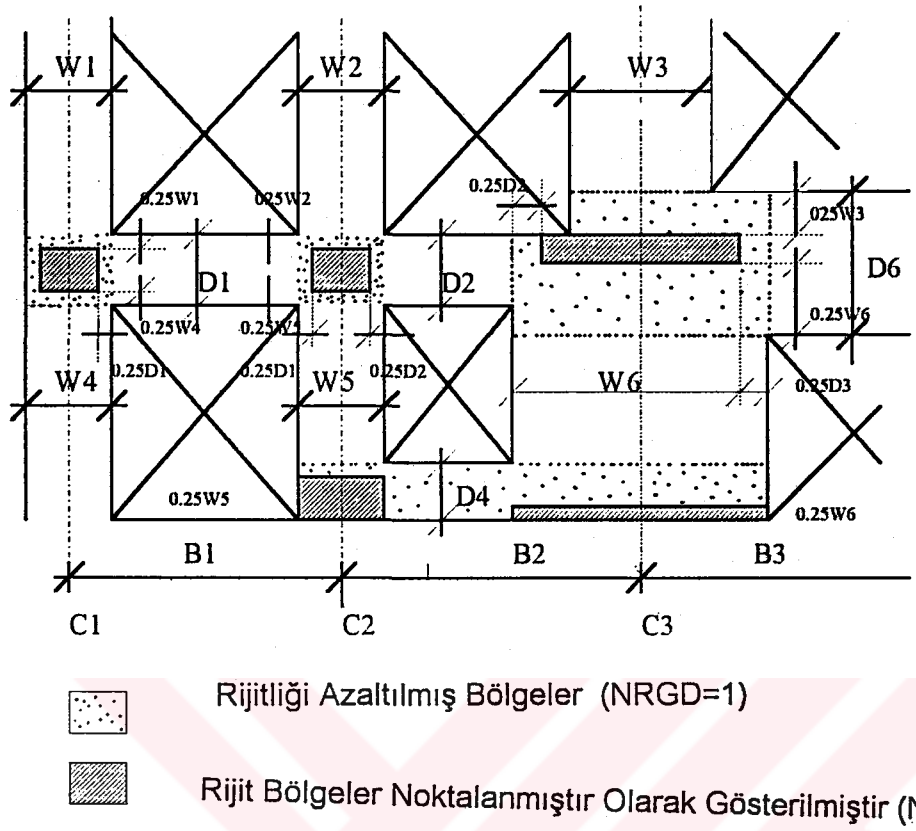
2.1.3. Kiriş ve kolonlar için rijit düğüm noktası çıktıları

Düğüm noktası içindeki deformasyonlar, (herhangi bir kolon-kiriş ara kesitin boyutları ile sınırlı alan şekil 2.7'deki gölgeli kısımlar) ihmali edilir. Bir başka deyişle, bu alan sonsuz rijit dikdörtgen bir diyafram olarak kabul edilir.

Genelde, bazı deformansyonları karşılamak için rijit çıkıştıların uzunluğunda yapılan bir azaltmanın, özellikle, elemanın boyutlarının önemli olduğu durumlarda daha iyi sonuçlar verdiği bulunmuştur.

Rijit bağlantı boyutunun azaltılması, elemanın boyutu ile birleştirilmiştir. Bir başka deyişle, rijit bağlantı yukarıda izah edildiği gibi hesaplanır ve sonra da, her bir ucta, elemanın boyutunun %25'i kadar azaltılır.

Böylece, kirişin rijit bağlantıları, kiriş derinliğinin %25'i kadar azaltılır ve kolonun rijit bağlantıları da her bir ucta kolon genişliğinin %25'i kadar azaltılmış olur. Bu azaltma işlemi istege bağlıdır. Eğer kolon genişlikleri veya kiriş uzunlukları girilmezse, rijit bağlantı hat uzunlukları sıfıra yaklaşır ve analiz, çerçeve eksen hattı göre yapılır.



Şekil 2.7

2.2. Tüm Yapı Sistemi

Çerçevenin yanal rijitlik matrislerini, komple bir yapı yanal rijitlik matrisi halinde birleştirmek için, çerçeve rijitliklerinin her birinin ortak bir deplasman koordinat sistemine (daha sonra genel sistem olarak alınacaktır) dönüştürülmesi gereklidir. Seçilen genel sistem, kat başına iki deplasman ve bir dönmenden ibarettir. Bu genel deplasman koordinatlarının orjini her kat seviyesinde, o kat parçasının kütte merkezinde alınır. Bu konum kattan kata değişebilir. Böyle bir formülasyon, kütte matrisini, diyagonal şeke indirgelyecektir ve dinamikteki eigen-value problemini basitleştirecektir.

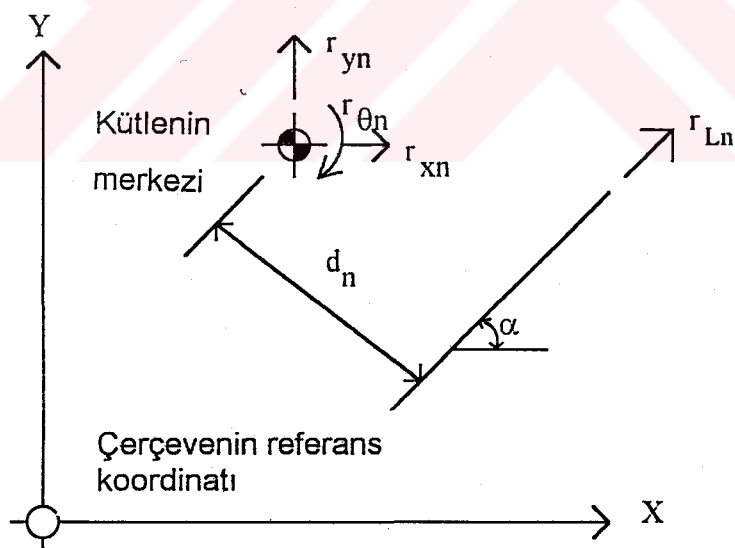
İlk adım çerçevenin yanal deplasmanları ile genel deplasmanlar arasındaki dönüşümü geliştirmektir. Şekil 2.8'a göre herhangi bir n seviyesindeki dönüşüm şöyle olur.

$$\begin{aligned} r_{Ln} &= \langle \cos\alpha \ sin\alpha \ -d_n \rangle \\ &\left[\begin{array}{c} r_{xn} \\ r_{yn} \\ r_{\theta n} \end{array} \right] \end{aligned} \quad (32)$$

veya:

$$L_n = a_n r_n \quad (33)$$

Bütün katlar için, dönüşümleri yaparak, çerçeveyin yanal deplasmanları ile genel deplasmanlar arasındaki tam dönüşüm aşağıdaki gibi elde edilir:



Şekil 2.8. Çerçevenin Genel ve Sınırlı Yanal Deplasmanları

$$(34) \quad \begin{bmatrix} r_{11} \\ r_{L2} \\ \vdots \\ r_{Ln} \\ \vdots \\ r_{LN} \end{bmatrix} = \begin{bmatrix} a_1 & & & & & \\ & a_2 & & & & \\ & & \ddots & & & \\ & & & a_n & & \\ & & & & \ddots & \\ & & & & & a_N \end{bmatrix} \begin{bmatrix} r_1 \\ r_2 \\ \vdots \\ r_n \\ \vdots \\ r_N \end{bmatrix}$$

$$r_{Li} = A_i r \quad (35)$$

r , tam genel deplasman vektöridür. Çerçevenin yanal rijitliği, genel sisteme dönüştürülünce aşağıdaki hali alır:

$$K_i = A_i^T K_{Li} A_i \quad (36)$$

Burada i indisi, i ' ninci çerçeveyi ifade etmektedir. Yapının yanal rijitliği bütün çerçevelerdeki bileşenler toplanarak oluşturulur; Yani,

$$K = \sum_i K_i \quad (37)$$

Yan etkilerinden kaynaklanan çerçeve yanal yük vektörünün de genel sisteme dönüştürülmesi gerekir. Dönüşüm şu şekilde gösterilir;

$$R_i = A_i^T R'_{Li} \quad (38)$$

Genel vektör çerçevenin tesir etkileri toplamı ve uygulanan yanal yüklerin (F) buna eklenmesi ile oluşturulur. Yani,

$$R = \sum R_i + F \quad (39)$$

F , aşağıdaki şekilde de verilebilir:

$$F = \sum A_i^T P_{ii} \quad (40)$$

Üçüncü matris çarpımına açarak

$$K_i = A_i^T K_{ij} A_j \quad (41)$$

olarak yazılır.

$$[K_i] = [A_i^t] [K_{ij}] [A_j] \quad (42)$$

K_i İçerisindeki tipik bir 3×3 alt matrisi olan K_{ij} 'nin $a_i^T k_{ij} a_j$ formuna sahip olduğunu belirtmek gerekir. Açıkça, bu çarpım içerisindeki her terim için bağımsız olarak ve K' ya doğrudan eklenecek bulunabilir. Buna göre, genel denge denklemleri oluşmuş olur.

$$R = K r \quad (43)$$

Genel rijitliğin (K) dolu bir matris olduğu fakat yapıdaki bütün çerçevelerle birlikte toplam serbestlik derece sayısı ile karşılaştırıldığında nisbeten küçük olduğu söylenebilir.

3. STATİK ANALİZ

Statik analiz denklemleri:

$$R = kr \quad (44)$$

bir genel yanal deplasman vektörü r hesaplamak için, Gauss eliminasyon yöntemi ile doğrudan çözülür. Sonra her çerçeve için;

$$r_{Li} = A_i r \quad (45)$$

denklemini kullanarak yanal deplasmanlar, r_{Li} hesaplanır. Her bir çerçeve için çözümü tamamlamak üzere, aşağıdaki sistem göz önüne alınır.

$$R'_n = [K'_n \ C'_n \ E'_n] \begin{bmatrix} r_n \\ r_{n+1} \\ \vdots \\ r_L \end{bmatrix} \quad (46)$$

Bu denklemlerin, çerçevenin her seviyesinde indirgenip, sonra saklanan denklemler olduğuna dikkat etmek gerekir. Yani, K_N üçgenleştirilmiştir. Herhangi bir aşamada n , r_{N+1} ve r_L bilinmekte olup, r_n yerine kayma usulü ile hesaplanır. Bu işlemi başlatmak için, $n=N$ için (yapıdaki kat sayısı) r_{N+1}' in temelde, değeri sıfır olan, deplasmanları gösterdiğini belirtmek gerekir. Deplasmanların, temelde sıfır kabul edilmesinin sebebi, kolonların temelde rijit bir şekilde bağlandığının farz edilmesidir. Böylece, çerçeve bağlantı deplasmanları başarılı bir şekilde, kat kat hesaplanır ve tekil eleman kuvvetleride, daha önce verilmiş olan kuvvet / deformansyon dönüşümlerinden hesaplanabilir.

3.1. Düşey Yüklerin Analizi

Kirişin açıklık yükü olarak, düşey yükler her bir tekil çerçeveye uygulanır. Burada üç bağımsız düşey yükleme hali mümkündür. Çerçevelerin kendi ağırlığı, program tarafından otomatik olarak hesaplanıp, ilk yükleme halindeki yük vektörüne eklenir. İlk yükleme şartı, yapının ölü yük analizi için kullanılır. İkinci yük şartı yapının hareketli yük analizi, üçüncü yük şartı da gayri müsait yükleme için kullanılabilir.

3.2. Yatay Yüklerin Analizi

Yatay statik yükler, her bir döşeme seviyesindeki belli bir noktaya etki eden yükler olarak uygulanırlar. İki tane bağımsız yükleme hali mümkündür. Yatay yükleri rüzgar ya da depremler meydana getirir. Rüzgar yükleri, yapının her seviyesinde binanın zorlanan alanı ve rüzgar basıncına göre, kullanıcı tarafından hesaplandıktan sonra bilgisayara girilmelidir. Sismik statik eşdeğer yükler, program tarafından, otomatik olarak hesaplanır. Program tarafından hesaplanan modal katılım faktörleri modların hakim yönlerini belirlemek için kullanılır. Hakim modların zaman peryotları, karşılık gelen yönlerdeki sismik yükleri hesaplamada kullanılır.

Programın, basitleştirilmiş kullanıcı girdisine dayanan, her döşeme seviyesinin kütle ve kütle momenti gibi, dinamik özellikleri hesaplamak için seçenekleri vardır.

4. DİNAMİK ANALİZ

Bir yapının dinamik tepkisinin tam olarak formülleştirilmesi sonsuz sayıda bir serbestlik derecesi içerir. Çoğu yapılar için tepki, sistem içindeki sınırlı sayıdaki ayrı noktalar tarafından tutulur. Burada göz önüne alınan binalarda, tepki her döşeme seviyesinin yatay hareketleri ile, yanal yapı rıjilik matrisinin oluşması için daha önce izah edildiği gibi ifade edilebilir. Kütle merkezi, yanal rıjilik matrisinin elde edilmesinde her seviyedeki ana sınırlandırma yeri olarak kullanılır. Her kat seviyesinin ortak kütlesi, toplama işleminin dönme görünüşlerini karşılamak üzere, kütle merkezinden geçen düşey bir eksene göre alınan kütle atalet momenti ile kütle merkezinde toplanır. Meydana gelen kütle matrisi bir köşegen matrisidir. Bu toplanmış parametrelerin idealleştirilmesi ile yapının dengesi ikinci mertebeden bir adi diferansiyel denklem takımıyla ifade edilmiş olmaktadır.

4.1. Kütle Yaklaşımı, Kütle ve Kütle Atalet Momenti

Şekil 4.1'de gösterilen diyagramda, bir araya toplanmış çeşitli kütleler (m_1, m_2, m_3, \dots .v.s.) ve diyafram seviyesinde bulunan diğer dağılmış kütleler vardır.

Diyafram Y yönünde bir birim iletimsel ivmeye maruz kaldığında, ivme yönünün aksi yönündeki atalet kuvvetleri, yani $f_1 = m_1 \times l, f_2 = m_2 \times l, f_3 = m_3 \times l \dots$ elde edilebilir. Bütün bu kuvvetlerin bileşimi ve bileşimin etkime doğrultusu hesaplanabilir. Bileşkenin şiddeti $= f_1 + f_2 + f_3 + \dots = m_1 + m_2 + m_3 + \dots =$ diyaframla birlikte toplam kütle olarak bulunur. Bileşke Y yönüne paralel olup, O noktasından X_m kadar uzaktaki bir noktadan geçer.

Benzer şekilde, X yönünde bir birim ilerleme aynı şiddete sahip fakat X yönüne paralel olup, O noktasından Y_m kadar uzaktaki bir noktadan geçen bir bileşke verir. X_m, Y_m koordinatları, kütle merkezi olarak bilinen noktanın yerini ifade ederler.

Kütle terimi yeniden tanımlanırsa: bir diyaframın kütlesi, diyaframın kütle merkezi bir birim doğrusal ivme ile hareket ettiğinde meydana gelen kuvvet olarak tanımlanabilir. Bu kuvvet, kütle merkezine etki eder ve moment meydana getirmez.

n

$$\text{Kütle} = \sum m_i$$

i = 1

Benzer şekilde; Kütle atalet momenti (ya da dönme kütlesi): "Bir diyaframın kütle atalet momenti, diyaframın kütle merkezi, düşey bir eksene göre bir birim açısal ivme ile hareket ettiğinde meydana gelen momenttir" şeklinde tanımlanabilir. Kuvvet çiftinden dolayı hiçbir bileşke dönme kuvveti oluşmaz.

Bir araya toplanmış kütlelerin m_1, m_2, m_3, \dots kütle merkezinden itibaren dönme mesafeleri, sırayla, d_1, d_2, d_3, \dots olup, şekil 10' da gösterilmiştir. Düşey bir eksene göre kütle merkezinin birim açısal ivmesinden dolayı, $m_1, m_2, m_3, \dots, d_1 \times I, d_2 \times I, d_3 \times I, \dots$ gibi liner ivmelere sahip olurlar ve $m_1d_1, m_2d_2, m_3d_3, \dots$ atalet kuvvetlerini meydana getirirler. Bu kuvvetlerin kütle merkezinden geçen düşey düşey bir eksene göre momentleri, $m_1d_1^2, m_2d_2^2, m_3d_3^2, \dots$ dir.

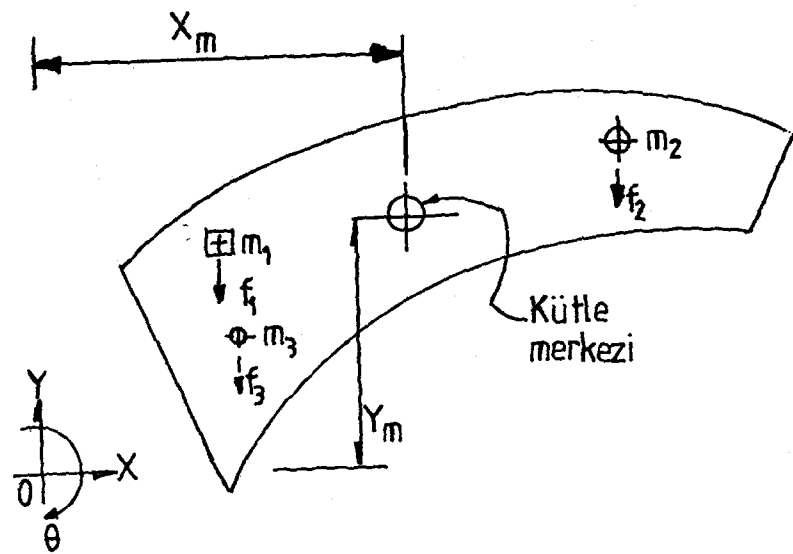
$$MMI = m_1d_1^2 + m_2d_2^2 + m_3d_3^2 + \dots$$

n

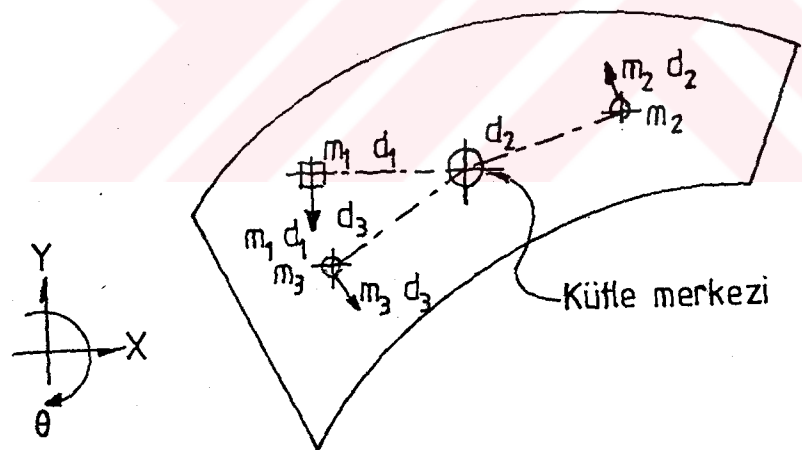
$$= \sum m_i d_i^2$$

i=1

MMI, kütle merkezinden geçen düşey bir eksene göre bütün kütlelerin polar atalet momenti.



(a) Kütle ve Kütle Merkezinin Tanımı



(b) Kütle ve Atalet Momentinin Tanımı

Şekil 4.1

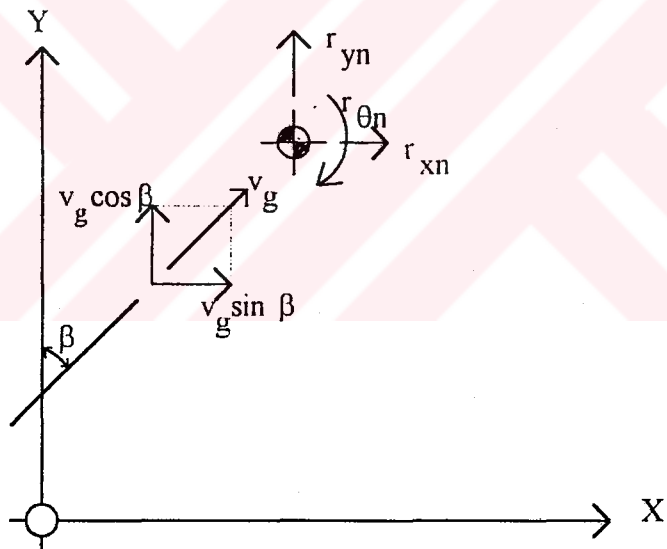
4.2. Dinamik Denge Denklemleri

Bir yapı için denge denklemleri, dinamik etkileri içerecek şekilde aşağıdaki gibi yazılabilir:

$$M \ddot{r}_a + C \dot{r} + K r = p(t) \quad (49)$$

Burada;

M =Kütle matrisi, C =Sönum matrisi, K =Rijitlik matrisi, $P(t)$ =Uygulanan yük vektörü, zamana bağlı olabilir, r =Mesnet hareketine göre deformansyon deplasman vektörü, \ddot{r}_a =Mutlak ivme vektöründür.



Şekil 4.2. Zemin ve Yapısal Deplasmanlar

r ve r_a bağıntısı aşağıdaki şekilde kurulmuştur:

$$r_a = v_g + r \quad (50)$$

Hareketi karşılaması nedeniyle \ddot{v}_g , statik deplasmanların vektörüdür. Böylece:

$$\ddot{r}_a = \ddot{v}_g + \ddot{r} \quad (51)$$

Şekil 4.2'de görülen bir binanın tipik bir döşemesi için böyle vektörler aşağıdaki forma sahiptir.

$$\begin{bmatrix} \ddot{r}_{xa} \\ \ddot{r}_{ya} \\ \ddot{r}_{0a} \end{bmatrix}_n = \begin{bmatrix} v_{gx} \\ v_{gy} \\ v_{go} \end{bmatrix} + \begin{bmatrix} r_{xn} \\ r_{yn} \\ r_{0n} \end{bmatrix} + \begin{bmatrix} \sin\beta \\ \cos\beta \\ 0 \end{bmatrix} v_g + \begin{bmatrix} r_{xn} \\ r_{yn} \\ r_{0n} \end{bmatrix} \quad (52)$$

ve:

$$\begin{bmatrix} \ddot{r}_{xa} \\ \ddot{r}_{ya} \\ \ddot{r}_{0a} \end{bmatrix}_n = \begin{bmatrix} \sin\beta \\ \cos\beta \\ 0 \end{bmatrix} \ddot{v}_g + \begin{bmatrix} \ddot{r}_{xn} \\ \ddot{r}_y \\ \ddot{r}_{0n} \end{bmatrix} \quad (53)$$

$$r_{na} = b \ddot{v}_g + r_n \quad (54)$$

veya, bütün döşemeler için:

$$r_a = B \ddot{v}_g + r \quad (55)$$

Burada:

$$B = \begin{bmatrix} b_1 \\ b_2 \\ b_3 \\ \vdots \\ b_N \end{bmatrix}; \quad b_1 = b_2 \quad (56)$$

Sismik analiz durumunda, uygulanılmış dış yükler yoktur; $P(t) = 0$ dır. sonra (49) denklemi aşağıdaki gibi yazılabilir:

$$M(\ddot{r} + B\ddot{v}_g) + C\dot{r} + Kr = 0 \quad (57)$$

veya:

$$M\ddot{r} + C\dot{r} + Kr = -M B\ddot{v}_g \quad (58)$$

Bu iki denklem uygun bir sayısal teknikle yerleştirilerek eş zamanlı çözülebilir. Başka bir yaklaşımı bulmak için burada kullanılacak olan çift olmayan denklemlerin dönüşümleri böyle bağımsız olarak çözülebilir. Şüphesiz bu dönüşümler, sistemin kendi vektörü veya mod şeklärinden geçerler.

4.2. Mode Şekilleri ve Frekansları

Sönümsüz serbest titreşim probleminin çözümünü gösteren mod şeklärleri aşağıdaki gibi verilir.

$$M\ddot{r} + Kr = 0 \quad (59)$$

Çözülmüş olan eigen-value problemi aşağıdaki gibi yazılmış olur:

$$K\phi = \omega^2 M\phi \quad (60)$$

Burada:

ϕ = mod şeklärini

ω = frekans'ı gösterir.

Böylece mod şekli normalize edilmiş olur:

$$\phi^T M \phi = I \quad (61)$$

sonra da:

$$\phi^T K \phi = \omega^2 \quad (62)$$

Böyle mod şekli tarafından çift olmayan bir formun **C** sönum matrisi olduğu farzedilir; özellikle bu varsayımlı:

$$\phi^T C \phi = [2\lambda_m \omega_m] \quad (63)$$

m 'inci modun sönumü λ_m simgelenir.

Asıl r deplasmanları, şimdi mod şeklinin lineer bir kombinasyonu olarak ifade edilir.

$$r = [\phi_1 \phi_1 \phi_1 \dots \phi_N] \begin{bmatrix} Z_1(t) \\ Z_2(t) \\ \vdots \\ Z_N(t) \end{bmatrix} \quad (64)$$

$$\text{yani: } r = \phi Z \quad (65)$$

$$\text{aynı zamanda } \dot{r} = \phi \dot{Z} \quad (66)$$

$$\text{ve } \ddot{r} = \phi \ddot{Z}$$

yazılır.

m 'inci modun tepkisi $Z_m(t)$ ile gösterilir.

4.4. Zaman Süre Analizi

(58) denklemleri kullanırsak, (64) denklemi aşağıdaki gibi tekrar yazılabilir:

$$M \phi \ddot{Z} + C \phi \dot{Z} + K \phi Z = - M B \ddot{v}_g \quad (67)$$

ϕ^T ile ön çarpım yapılırsa:

$$M^* \ddot{Z} + C^* \dot{Z} + K^* Z = P^* \ddot{v}_g \quad (68)$$

Burada:

$$M^* = \phi^T M \phi = I \quad (69)$$

$$C^* = \phi^T C \phi = [2\lambda_m \ \omega_m] \quad (70)$$

$$K^* = \phi^T K \phi = [\omega_m^2] \quad (71)$$

$$P^* \ddot{v}_g = \phi^T M B \ddot{v}_g \quad (72)$$

P^* formunu bulmak için, aşağıdaki denklem gözönüne alınır:

$$M B = \begin{bmatrix} m_1 & & & & \sin\beta \\ m_1 & & & & \cos\beta \\ j_1 & & & & 0 \\ & m_2 & & & \sin\beta \\ & & m_2 & & \cos\beta \\ & & & j_2 & 0 \\ & & & & \vdots \\ & & & & 0 \\ & & & j_N & \end{bmatrix} \quad (73)$$

Burada:

m_1 = 1 katının kütlesi.

J_1 = 1 katının kütte atalet momentinin dönmESİdir.

veya:

$$M B = \begin{bmatrix} m_1 \sin\beta \\ m_1 \cos\beta \\ 0 \\ m_2 \sin\beta \\ m_2 \cos\beta \\ 0 \\ \vdots \\ 0 \end{bmatrix} \quad (74)$$

Böylece, tipik bir P^* , aşağıdaki formuna sahip olur:

$$P_m^* = \phi_m^T M B \quad (75)$$

$$P_m^* = < \phi_{1x} \phi_{1y} \phi_{10} \phi_{2x} \phi_{2y} \phi_{20} \dots \dots > \begin{bmatrix} m_1 \sin\beta \\ m_1 \cos\beta \\ 0 \\ m_2 \sin\beta \\ m_2 \cos\beta \\ 0 \\ \vdots \\ 0 \end{bmatrix} \quad (76)$$

N

$$p_m^* = \sum_{n=1}^N m_n \{ \sin\beta \phi_{nx} + \cos\beta \phi_{ny} \} \quad (77)$$

m. moddaki tepkimeyi belirleyen tipik bir denklem, aşağıdaki forma sahiptir:

$$\ddot{Z}_m + 2\lambda_m \omega_m \dot{Z}_m + \omega_m^2 Z_m = P_m^* \ddot{v}_g \quad (78)$$

Herhangi bir deprem için, yer ivmesi, \ddot{v}_g farklı değerlerden oluşan bir değerler takımı olarak belirlenir ve ara değerler için lineer enterpolasyon yöntemi kullanılır. Herhangi bir lineer kısımda:

$$\ddot{v}_g = A + Bt \text{ olur.} \quad (79)$$

$$\ddot{Z}_m + 2\lambda_m \omega_m \dot{Z}_m + \omega_m^2 Z_m = P_m^*(A + Bt) \quad (80)$$

yazılır.

Birinci lineer kısım için durgun haldeki başlangıç şartları kullanılır. Herhangi bir lineer kısımın kenarındaki hız ve deplasman değerleri bir sonraki lineer kısım için başlangıç şartı olur ve bu böyle devam eder. Tekrarlama ile, gerekli zaman dilimindeki tam çözüme ulaşılır.

Her mod için gerek, çözümlerle, (64) denklemi, her bir çıkış zamanında bir yapı deplasmanları takımını, r , vermek üzere kullanılır.

Zaman süre analizi için kullanılan geriye çıkarma işlemi bölüm üçte statik analiz için izah edilenle aynıdır. Her zaman dilimi için geriye çıkarma bir statik yük çıkarma ile eşdeğerdir. Çerçeve deplasmanları ve eleman kuvvetleri her bir zaman diliminde hesaplanır ve bu parametrelerin, zaman dilimi üzerindeki en büyüğü üçüncü dinamik yük şartı şeklinde çıktı olarak alınır.

4.1. Tepki Spektrum Analizi

Özel bir deprem hali için gerçek deplasman adımlarının tümü gerekmedikçe, dinamik analiz için daha gerçekçi ve ekonomik yaklaşım ancak tepki spektrum metodu ile yapılır. Özel bir yer hareketi $v_g(t)$ için, spektrum eğrisi şu şekilde tanımlanır.

λ sönümlü, ω frekanslı, $v_g(t)$ gibi bir yer hareketi geçmişine sahip olan tekil kütleli bir sistemin tepkisini

$$\ddot{u}(t) + 2\lambda\omega\dot{u}(t) + \omega^2 u(t) = \ddot{v}_g(t) \quad (81)$$

denklemi belirler. u_{max} , $u(t)$ 'nin sağladığı maksimum mutlak değer olsun. Her λ için bu maksimum deplasman ile ω , frenkansı arasındaki eğri, $\ddot{v}_g(t)$ deprem için (S_d) deplasman tepki spektrumunun tanımından elde edilir. $u_{max}\omega$ eğrisi ise hız spektrum (PSv), $u_{max}\omega^2$ eğrisi ise ivme spektrumudur. Bu hız ve ivme spektrumları aynı fiziksel öneme sahiptirler fakat tepki spektrumu analizinin ana parçalardan biri değildirler.

(78) denklemine yeniden bakılır ve yapıdaki dinamik yükleme, ivme spektrumu cinsinden tanımlanırsa, m^{inci} mod için maksimum tepki şu şekilde verilir:

$$Z_{mmax} = P^*_m(PSa(\omega_m, \lambda_m)) / \omega_m^2 \quad (82)$$

Bu nedenle, m modunun, yapının üç boyutlu tepkisine toplam maksimum katkısı:

$$r_m = Z_{mmax} \phi_m \quad (83)$$

olur.

Tanımdan dolayı, bütün modlar için S_d pozitiftir. Maksimum modal deplasman, r_m , mod şekliyle ϕ , orantılı olup, orantı sabitinin işaretini modal katılım faktörü, P_m^* 'in işaretini ile verilmektedir. Bu yüzden, her maksimum modal deplasmanın işaretti aynıdır. Yine, maksimum modal deplasmanlardan çıkarılan, maksimum dahili modal kuvvetler de aynı işarette sahiptirler.

Bölüm 2' de izah edilen yerine koyma işlemini kullanarak, her tekil mod için yapının maksimum modal deplasmanı ile aşağı, eleman kuvveti seviyesine doğru, komple bir analiz yapılır.

Her moddaki en yüksek değer, genellikle farklı zamanlarda oluşur. Dizayn amaçları doğrultusunda bileşke ya da nihai değerler verecek eleman kuvvetlere ve deplasmanlarına ait modal bileşenlerin bileşkesi, aşağıdaki metodlarla, dizayn parametresi seviyesinde uygulanır.

1. Karelerin Toplamlarının Kare Kökü Metodu (**SRSS**).
2. Mutlak Toplam (**ABS**) Metodu.
3. Komple İkinci Mertebeden Kombinasyon (**CQC**) Metodu.

SRSS ve ABS metodu modal katılımlara ait işaretleri bütünüyle ihmal eder.

Genelde SRSS iyi ayrılmış frekanslara sahip yapılarda dinamik tepkiye iyi bir yaklaşım sunar. ABS metodu, esas itibariyle maksimum değerler üzerinde bir üst sınır yaklaşımı verdiği için önemlidir.

Birbirine oldukça yakın modlara ya da çok sayıda frekansa sahip yapılarda, SRSS metodunun modal elemanların işaretini ihmal etmesi, elemanların bir kısmında dizayn parametrelerinin olduğundan büyük, bir kısmında ise olduğundan büyük olarak tahmin edilmesine yol açabilir. CQC metodu bu problemin üstesinden gelir ve en gerçekçi sonuçları elde etmek için, bu üç metodun en iyisi olarak, tavsiye edilir.

4.6. TABS 80'nin Dinamik Seçenekleri

TABS 80' de mevcut olan dinamik seçenekler şunlardır:

1. Mod şekilleri ve peryotlarının hesabı.
2. Herhangi bir ivme spektrumu için Tepki Spekturumu Analizi için kullanıcı aşağıdaki seçeneklerden birini kullanabilir.
3. Dinamik yük durumu 1 olarak SRSS modal kombinasyonu.
4. Dinamik yük durumu 2 olarak mutlak değer toplamı modal kombinasyonlar.
5. Dinamik yük durumu 3 olarak komple ikinci mertebeden kombinasyolar.
6. Dinamik yük durumu üç olarak kullanıcı tarafından girilen herhangi bir yer hareketi için zamana bağlı maksimum değerler analizi.
7. Her bir dinamik analiz durumu, herhangi bir statik yük durumuyla birleştirilebilir.

1. SRSS kombinasyonu

$$F = \sqrt{f^T I f}$$

$$(1x1) \quad (1xn) \quad (nxn) \quad (nx1)$$

Burada I bir tanım matrisidir.

2. ABS kombinasyonu

$$F = f^T \text{sign } f$$

$$(1x1) \quad (1xn) \quad (nx1)$$

Burada işaret f birim matris olup, f matrisindeki elemanların işaretlerini ihtiva eder.

3. CQC kombinasyonu

$$F = \sqrt{f^T C f}$$

f
 (1×1) C
 $(1 \times n)$ $(n \times n)$ $(n \times 1)$

Burada, C , $C_{ij} = (8 \lambda^2(1+r)r^{3/2}) / ((1-r^2)^2 + 4\lambda^2r(1+r)^2)$ eşitliği ile verilen modal çarpım düzeltme katsayı matrisidir. Burada $r = \omega_i / \omega_j$ açısal frekanslar ve λ kullanılmakta olan tepki spekturm eğrisini içeren sönmüdür, f =Modal bileşkelerin vektörü, F =Bileşke, n =Mod sayısıdır.

5. GENEL GÖZLEMLER

5.1. Programın Uygulanması

Pratik olarak yapı analizi için, bir bilgisayar programının etkili bir şekilde uygulanması oldukça büyük bir tecrübe gerektirir. Analizin en güç kısmı, binanın yapısal davranışının ana karakteristiklerini taşıyan uygun modeli oluşturmaktadır. Tecrübeli bir mühendisin vereceği kararın yerini hiçbir bilgisayar programı tutamaz. Deneyimli bir mühendisin bir işlemde yaptığı, deneyimsiz bir mühendis tonlarca bilgisayar çıktıları ile bile yapamaz. Bilgisayar çıktısının değerlendirilmesi ve yorumu en az modelin hazırlanması kadar önemlidir. Beklenmeyen sonuçların değerlendirilebilmesi için programın temel yapısı ve kabullerini iyi anlamak gereklidir. Statik denge kontrolleri yalnız bilgisayar çıktılarını kontrol etmek değil, aynı zamanda binanın temel yapısal davranışını anlamak için de gereklidir.

5.2. Binanın Statik Sismik Analizi

Günümüzde, Amerika' da, California' daki bir çok binanın sismik tasarımları Uniform Yapı Standart' ına göre yapılmaktadır. UBC (Uniform Yapı Standartı) yöntemi, sismik yüklerle eşdeğer bir yanal statik yük takımı ile yaklaşılmasına izin vermektedir. Yüklerin şiddeti, deprem bölgesi, yapı sistemi ve yapının zemin periyoduna dayandırılmaktadır. Bölgesel zemin Şartlarını karşılayacak düzeltmeler ve yapının fiziksel önemi de bu standartta tanımlanmaktadır.

UBC'de belirtilen yaklaşık bir formül, zemin periyodu tahmin etmek için kullanılabilir. TABS programında elde edilen ve hakim yapısal modu da içeren periyot daha doğru ve uygun olmaktadır. Binanın yüksekliği boyunca tesir eden yanal yüklerin UBC göre dağılımı, daha yüksek mod etkilerine izin verecek şekilde (bazı düzeltmelerle) üçgensel olmaktadır. Rijitlik veya kütlesel süreksızlıklar sebebi ile dinamik olarak ayrılmış ve bu nedenle üçgensel

olmayan atalet yükleme şekillerine sebep vermiş bulunan binaların davranışını UBC standarı ile uygun bir şekilde modellermek mümkün değildir. Bir TABS analizi ile elde edilen yapısal modları deneyerek, böyle yapısal karmaşıklıkları gidermek mümkündür. Kararlı minumum yatay burulma tasarım momentlerinin rıjt diyaframlara sahip yapıların tasarımında, UBC ile belirlendiği gibi, hesaplanması, her seviyede bir yapı rıjilik merkezinin bulunmasını gerektirir. Çok katlı yapılar için böyle bir esas üzerinde burulma momentlerinin tanımı, teknik olarak çok önemlidir. Bunun sadece (göz önünde bulundurulan seviyenin dönmesini etkileyebilecek şekilde alt ve üstte başka katlar bulunmayan) tek katlı yapılarda bir anlamı vardır.

UBC yanal yükleri, önemli bir depremde gelişen yüklerin sadece küçük bir kısmını oluşturur ve bu nedenle minumum bir şart olarak düşünülmelidir. Yukarıda belirtilen yetersizlikler ya da olumsuzlukların bir sonucu olarak, bir çok mühendis daha detaylı bir standarda göre deprem hesabı yapmayı gereklili görmektedir.

5.3. Elle Hesaplama Yöntemlerine Karşı Bilgisayar Yöntemleri

Yüksek hızlı dijital bilgisayarlar ve TABS gibi bilgisayar programlarının gelişmesi elle yapılan hesaplarda ihmali edilen bazı değerlerin de göz önüne alınmasını mümkün kılmıştır.

Çok katlı binaların yanal analizinde piyasa mühendisleri tarafından kullanılan elle hesaplama tekniklerinin, sisteminстатиги ие bütünlüğünü bozduğu gösterilmiştir.

5.4. Yapıların Dinamik Deprem Analizi

Mevcut standart, sadece birinci mod üzerine inşa edilmiş çok yaklaşık bir yöntemdir. Daha sonra tartışılan zemin faktörleri dikkate alınmamıştır. Elastik analizde önemli olan bir diğer faktör ise sönümlümedir.

Dizayn spektrumunun, bir yapının tepki spekturm analizi için seçilmesi, coğrafik bölge, bölgesel zemin yapısı, inşa malzemesi tipi ve binanın kullanım sebebi gibi faktörlere bağlıdır. Artık birçok jeoloji mühendisliği firması, özel siteleri istenen şekilleri ve dinamik tepki spektra yoğunluğunu değerlendirmek amacıyla dinamik zemin sistemlerinde uzmanlaşmaktadır.

Birçok başlıca deprem tipinde, düşey ivmelerin, şiddetce yatay ivmelerle karşılaşırılabileceği görülmüştür. Bununla beraber bütün binalar düşey yönde minimum $1g$ 'lık bir değer için elastik olarak tasarlanmıştır. Bu yüzden, bu ilave düşey kuvvetler yapının doğrudan hasar görmesine sebep olmazlar. Şüphesiz bunların elemanlarının tasarmında, yatay deprem yüklerine ilaveten göz önünde bulundurulmaları gereklidir. Birçok yapı için, düşey yönündeki rıjilik çok büyük olduğundan, düşey periyotlar çok küçük olur. Bu yüzden düşey yönde dinamik analiz gerekmeyez. Ölüm yük gerilmelerde direkt bir artış, düşey deprem yüklerinin etkilerine yaklaşım için iyi bir metod olabilir.

5.5. Temel Yapı Etkileşimi

Temel modellemesi daima özel bir ilgi alanı olmuştur. Her kolonun altındaki düşey ve dönme rıjılığı, ekstra bir yapma kart ilave ederek kolayca girilebilir. Bununla birlikte, bu zemin için doğru rıjilik değerleri vermek zor olabilir.

Son zamanlarda, temel yapı etkileşimi alanında önemli araştırmalar yapılmıştır. Nevar ki; bu çalışmanın çok azı yapıların deprem analizinde çalışanlar için doğrudan bir öneme sahiptir.

Teklif edilen yaklaşımın birkaçını kompleks binalara uygulamak zordur ya da bunların ciddi teorik sınırlamaları vardır.

Analizde temel etkileşim tesirlerine yer vermeden önce, deprem girdisinin tam yerini belirtmek gereklidir. Eğer tasarım kriteri girdinin binanın

temelinde olduğunu ifade ederse, binanın girdisini değiştireceğini ve etkileşim tesirlerinin tasarımda yer alacağını söylemek imkansızdır. Bu alandaki araştırmaların büyük bir miktarı radyasyon sönübü teriminin kullanıldığı sonsuz bir temel üzerinde titreşim makineleri ile yapılmıştır. Bu işin deprem mühendisliğinde çok az bir değeri vardır. Çünkü, binada depolanan enerji, deprem girdisi halinde ani temel alanında depolanan enerji ile karşılaşıldığında çok küçük kalmaktadır. Yine, makina ile titreşim üretilmesi bir kararlı hal olayıdır. Halbuki depremler geçici bir yükleme üretirler. Sürekli temel sonsuz sayıda bir serbestlik derecesi ihtiva eder. Bu nedenle, basit bir yay, amortisor ve kütle sisteme sahip olan temelin yanal davranışını temsil eden bir yaklaşım çok yakın bir yaklaşım olur. Aslında, bu teknik deprem girdisi üzerinde filtre edici bir etki meydana getirebilir ve ciddi hatalara sebep olabilir. Yanal deprem girdisi için, bu tip bir yaklaşım kolonların ve perde duvarlarının temelindeki dönme rijitliğinin temsil edilmesinde kabul edilebilir.

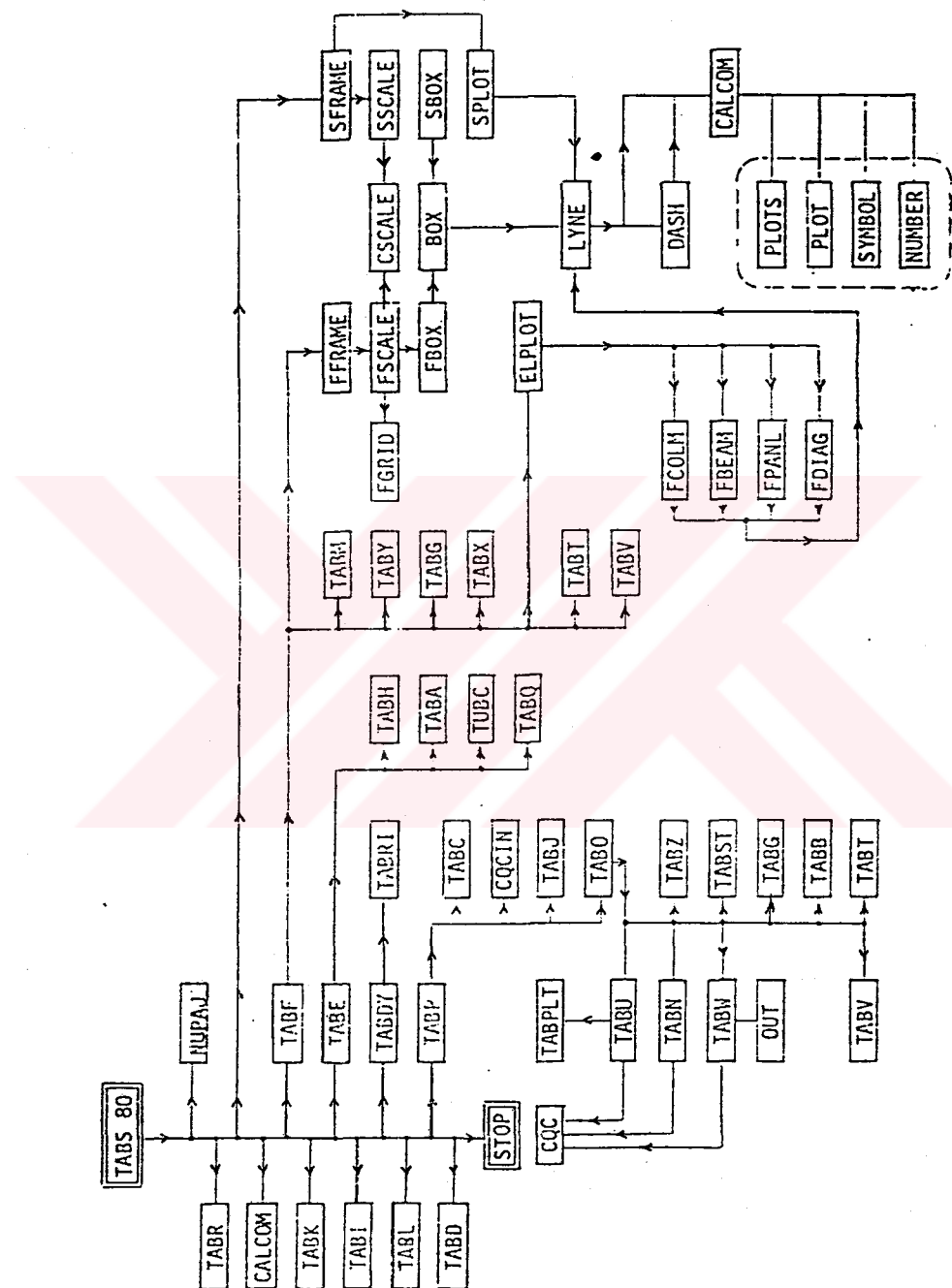
Göz önüne alınacak en önemli faktör binanın altındaki dolgu malzemesi tabakasının basit deprem kaya hareketini değiştirmesidir. Belli başlı depremler ve yerler için bu, iki veya üçlü bir yükselme demektir. Bu nedenle, sistemin dinamik davranışları binadan bağımsız olarak çalışır. Böyle bir çalışmanın sonuçları, binanın analizinde kullanılacak "teklif edilmiş bir ivme spekturumu" sonucu verir.

6. TABS 80' in DAHİLİ ORGANİZASYONU

TABS 80' nin alt döngü hatlarına ait yapı şekil 6.1'de verilmiştir. TABS 80 programın yedi ana blok ile yedi ana menü ya da altdöngüsü vardır.

1. İlk işlem temel kontrol bilgisini okumaktır. Bundan sonra bütün yapıya ait veriler (kat verileri ve yanal yükler) alt döngü TABI' dan girilir.
2. Sonraki işlem, yapıdaki her farklı çerçeveye ait çerçeve verilerinin okutulmasıdır. Çerçeve yükseklikleri, istenmişse çizilir. Veri dışı kontrol modlarında, çerçeve rıjilikleri formüle edilip, indirgenir ve yanal rıjilik matrisleri ile (geriye doğru) ekleme denklemleri, sıralı olarak diske yazılır. Bu işlem TABF alt döngüsü çağrılarak değerlendirilir.
3. TABL alt döngüsü çerçevenin koordinat verilerini okur ve bütün yapının yanal yapısal rıjilik matrisini formüle eder.
4. SFRAME alt döngüsü çizilecek binanın üstten görünüşünü, çerçevelerin yerleri ve bölgesel eksenlerinin yönlerini göstererek oluşturur.
5. TABE alt döngüsü kullanıldığında, bu döngü, yapının mod biçimlerini ve frekanslarını (TABM) veren ve otomatik UBC yanal sismik yük hesabını (TUBC) harekete geçirir. Yine bu döngünün çağrıılması ile dinamik analiz kontrol bilgisi okutulur. Statik yüklerin yol açtığı yapısal yanal deplasmanlar (TABQ) ve tepki spektrumu dinamik yükleri, bu aşamada elde edilir.
6. TABDY alt döngüsü depremin zamana göre yer hareketi verilerini okur ve her zaman dilimi için hesaplanacak yapısal yanal deplasmanları verir.
7. Son olarak, TABP alt döngüsü çağrılr. Bu alt döngü her çerçeve için yükleme halini tanımlayan verileri okumak için TABC alt döngüsünü çağrıır. Sonra, çerçevenin yanal deplasmanlarını yazmak üzere TABU her bir statik yük şartı için, çerçeve bağlantı deplasmanları ve daha önce kaydedilen geriye doğru ekleme denklemlerinden elde edilen, her bir spektral mod ve tepki süresi aralığını hesaplamak için de TABO alt döngüsü çağrırlar.

8. Deplasmanlar hesaplandığı zaman, eleman kuvvetleri de yükleme halini tanımlayan verilere göre (TABW) değerlendirilip yazdırılır.



Şekil 6.1 TABS 80 Alt Döngü Hatları.

7. TABS 80 İÇİN GİRDİLERİN DÜZENLENMESİ

Bu bölüm, gerçek bilgisayar girdisine başlamadan evvel atılması gereken adımların ve toplanması gereken verilerin neler olduğunu izah etmektedir. Programın girdisi ve çıktısı ile ilgili özel terminoloji de aşağıdaki bölümlerde izah edilmiştir.

7.1. Referans Noktası ve Referans Eksenleri

Referans noktası, yapının plan görünüşünde kullanıcı tarafından seçilen keyfi bir noktadır. Bu nokta x, y koordinat sisteminin orijini olduğu gibi yapının bütün seviyeleri için de orjin noktasıdır. Kat kütle merkez yükleri yapısal yanal yükler ve çeşitli çerçeveler bu referans noktasına göre yerleştirilir. Dolayısıyla, yükleme ve şekil birbirlerine göre bütünsel bir tarzda yerleştirilmiş olur. Referans noktası, yapı planında herhangi bir uygun noktada seçilebilir. (şekil 7.1)

7.2. Yük Durumları ve Şartları

Bir yükleme hali ile yükleme şartları arasındaki farkın TABS 80 için ne demek olduğunun bilinmesi gereklidir.

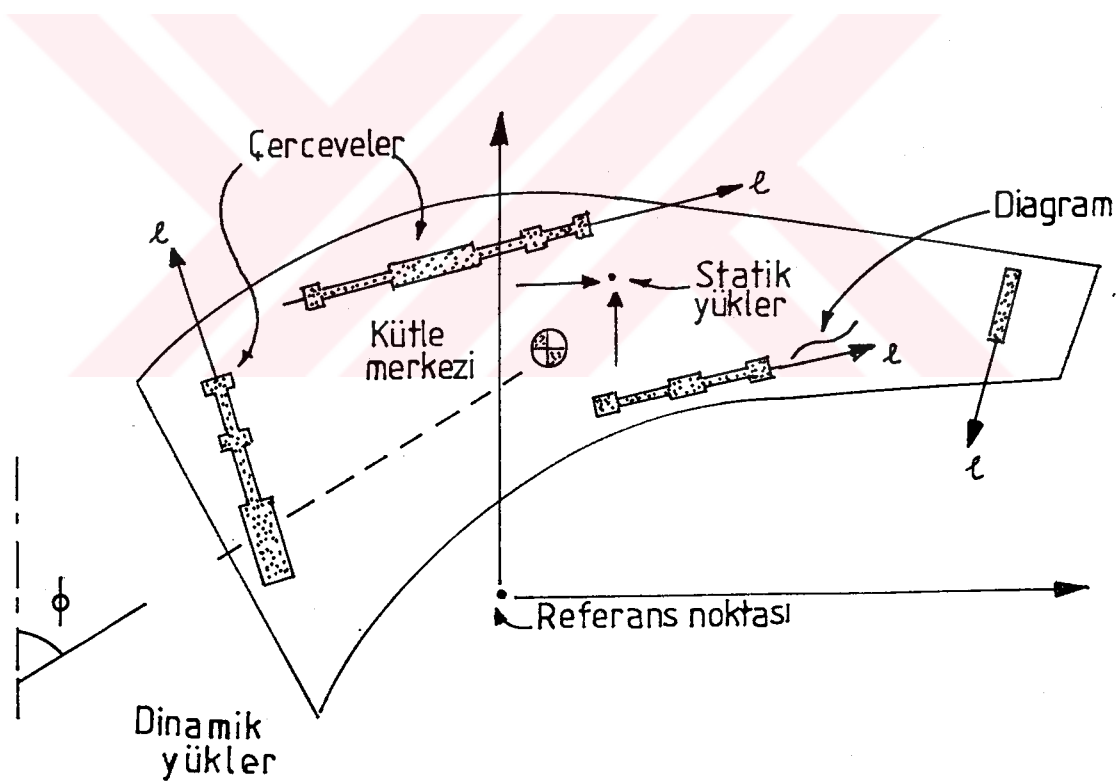
Yükleme şartları, yapının dahili olarak analiz edildiği bağımsız yükleme şartlarıdır. Bu yüklemeler, üç adet düşey statik yük şartı (I, II, III) iki yatay statik yük şartı (A ve B) ile üç adet dinamik yük şartı (I, II, III) den oluşur.

Kullanıcı yük şartları için bu yüklemeleri tanımlar. Program yapıyı, her çalışmada beş statik yük şartı için analize tabi tutar; ne fazla ne eksik. Eğer kullanıcı özel bir yük şartında herhangi bir yükleme tanımı yapmamışsa, bir sıfır yük vektörü kullanılır. Dinamik analiz seçeneği tepki septurumu ya da zamanla değişim üç adet dinamik yük şartından hangilerinin aktif olduğunu belirler. (bkz. bölüm 4)

Bununla birlikte, yükleme şartları programın dahili şartlarıdır. Program bu bağımsız yükleri asla sonuç olarak vermez.

Yük halleri; yükleme şartlarının lineer kombinasyonu şeklinde birleştirilmesi ile oluşan yüklemelerdir. Bu yüklemeler programın sonunda çıktı olarak verilir. Bağımsız yükleme şartlarının sayısı (statik analiz için beş) sekiz olarak sabitleştirilmiştir. Yükleme şartları birleştirilerek oluşturulan yükleme hallerinin sayısı konusunda sınırlama yoktur.

A ve B yanal yükleme şartları herbir kat için tanımlanır. Düşey yük şartları (I, II ve III) herbir çerçeve ile birlikte tanımlanır. Dinamik yük şartları deprem verisi ile tanımlanır.



Şekil 7.1.Tipik Yapı Kat Seviyesi

7.3. Kat Verileri

Veri hazırlamadaki ilk adım, yatay rıjıt döşeme diyaframlarının yerleştirileceyi kat seviyelerini belirlemektir. Bütün çerçeveler için, kırışlar, karşılık gelen her katta, bu seviyelerde bulunmalıdır. Kat kütleleri, kütle, atalet momenti ve kütle merkezinin koordinatları, eğer dinamik seçeneklerden herhangi birisi çalıştırılacaksa, verilmiş olmalıdır. Bu veri, kullanıcının vereceği basit bilgilere bağlı olarak, program tarafından da hesap edilebilir.

Her kat seviyesinde uygulama noktaları ile şiddetleri de içeren yanal yük verilerine, yanal yük şartları olan A ve B' yi tanımlamak için gerek duyulmaktadır. Yanal yükler döşeme seviyelerinde uygulanırlar. Bunlar, bütün yapı üzerine etki eden ve herbir çerçeveye, çerçevenin rıjittiği ve pozisyonuna uygun olarak dağıtırlırlar.

Yanal yükler (statik), rüzgardan ya da depremden kaynaklanabilir. Kat, rüzgar yükleri kullanıcı tarafından hesaplandıktan sonra girilmelidir. Üniform Yapı Standart (UBC) ne göre belirlenen eşdeğer sismik statik yükler ya kullanıcı tarafından girilebilmekte ya da program tarafından hesap edilebilmektedir.

7.4. Çerçeve Verileri

Program, bina sistemini birbirine yatayda döşeme diyaframları ile bağlanmış, plan görünüşte ise keyfi olarak yerleştirilmiş bir düşey düzlemsel çerçeveler gurubu olarak algılar. Bu nedenle, sonraki adım, yapıyı bir dizi çerçeve gurubu halinde çözmek ve hangi çerçevelerin biribirine benzendiğini belirlemektir (aynı şekle ve düşey yüklemeye sahip çerçeveleri).

Bütün çerçevelerin döşeme seviyeleri aynı yükseklikte olmalıdır. Bununla birlikte, bütün çerçevelerin aynı kat sayısına sahip olmaları gerekmekz.

Çerçeve yüksekliklerinin Şekil 7.1'de gösterildiği gibi yapıda aynı tür ve özellikte çeçevelerden çizilmesi tavsiye edilmektedir.

Bir çerçeveye gelen düşey yükleme, çerçevenin Üst noktasında gösterilmelidir. I, II ve III nolu yükleme şartları için düşey yük girdisi, çerçeve parçası olarak hazırlanmıştır. Çerçevenin kendi ölü yükü, çerçeve malzemesinin birim ağırlığından otomatik olarak belirlenir.

Çerçevenin kendi ağırlığı, bir I nolu şarttaki yük vektörüne ilave edilir. Çerçeve ağırlığı (birim ağırlığı) II ve III nolu yükleme şartlarında herhangi bir değişikliğe yol açmaz ve yapısal kütleleri önceki kısımda tarif edilen kat verisinin parçası olarak etkilemez.

Herbir çerçevenin, Şekil 7.1' de I yönü ile izah edilen, sadece bir yönde bir rıjittiğe sahip olduğu kabul edilir. Bir başka değişle, çerçeve elemanlarının düzlem dışı rıjittiği ihmal edilir. Başka bir yönde rıjittiğe sahip olan elemanların, diğer yöndeki bir çerçevenin bir parçası durumundaki ilave elemanlarla ifade edilmeleri gereklidir. Mesela iki dik çerçeveeye esas taşkil eden kolonlar, karşılık gelen yönlerdeki kesit özellikleri ile iki kere girilir. Bu iki kolondaki eksenel deformasyonlar aynı olmazlar ve bu kolon uyumsuzluğu programın temel varsayımlarından birisidir. Yüksek yapılar için (15 kattan yüksek), bu varsayımlar, yapının daha esnek olmasını sağlar. Bununla birlikte, alçak binalarda, iki çerçeveden oluşan aynı kolondaki eksenel kuvvetler, dizayn amaçlarına uygun olarak, makul sonuçlar vermek üzere ilave edilabilir.

Çeçeveler esas itibariyle dikdörtgen geometrilidirler. Yatay kat sevileri ve düşey kolon merkez hatları, çerçevenin tamamında temel referans sistemini oluşturur. Bu dikdörtgen eksen önceden çizilmiş olan çerçeve yükseltileri üzerine işaretlenmelidir. Özel bir kata ait kirişler, bu kata tekabül eden akslarda bulunurlar. Halbuki, aynı kattaki kolon, panel ve köşegenler, kata karşılık gelen aksın altında yer alırlar.

Kolon akşları, pozitif "I" yönünde artar şekilde numaralandırılır. Açıklıklar iki kolon aksi arasındaki mesafeler olup, benzer şekilde numaralandırılmalıdır. Açıklıkların sayısı, kolon sayısından daima bir eksiktir.

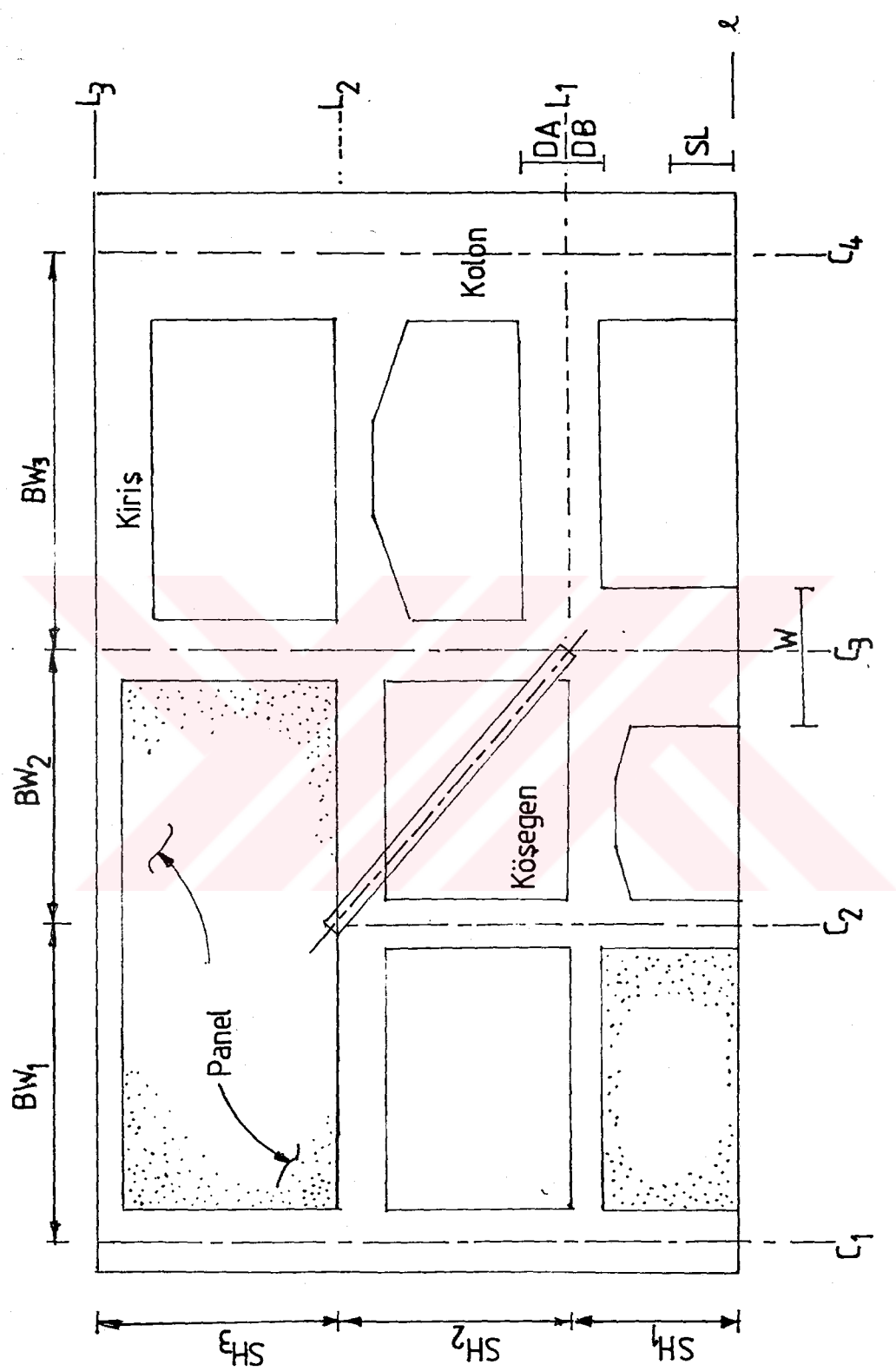
Karşılıklı iki kat akşlarının ve iki kat çizgisinin oluşturduğu dikdörtgenin bir kenar açıklık olduğu farz edilir. Ne varki, açıklık bir perde duvarı ile kapanabilir. Böylece çerçeve sistemlerinin perde duvari dayalı olarak modellenmesi mümkün olur. Süreksiz perde duvarları ve keyfi yerleştirilmiş açıklıklara sahip olan perde duvarlarından oluşan kompleks sistemler, sonraki bölümde verilen özel modelleme tekniklerini kullanıp, bu perde duvar vasıtası ile etkili bir şekilde modellenmiştir. Kolon veya kirişlerden herhangi birisi, özellikler sıfır olarak girilerek atanabilir ve duvar bölmeleri diyagonal desteklerle desteklenebilir. Böylece **X** destekli, **K** destekli yada eksantrik destekli sistemleri modellemek mümkün olur. Ayrıca **A** çerçevelerin modellenmesi de mümkündür. Kolonlar, kirişler, paneller ve köşegenlere özellik numaraları verilmeli ve bu numaralar çizilen çerçeve yükseltileri üzerinde gösterilmelidir. I, II ve III nolu yük şartlarına ait kiriş destek yüklemelerine model numaraları verilmeli ve bu numaralar da yine çerçeve yükseltileri üzerinde gösterilmelidir.

7.5. Çerçeve Yerel koordinatları

Yapıdaki her farklı çerçeve için bir çerçeve veri takımı kurulur. Farklı çerçevelerin her biri, çerçeve yer kartları vasıtası ile yapıdaki bir ya da daha fazla yere yerleştirilebilir. Bu kartlar çerçevelerin lokal **L** eksenlerini, global referans eksenlerine göre yerleştirirler. (bkz. bölüm 11)

7.6. Dinamik Yükleme Alt Veriler

Dinamik, sismik yükleme verisi olarak, ya ivme spekturumu ya da ivme zamana göre değişimi verilebilir. Genelde, bu veri, bina yerinin jeoteknik değerlendirmesinden sorumlu mühendis tarafından sağlanır.



7.2. Tipik Çerçeve Yüksekliği

8. TABS 80 GİRDİ VERİLERİİN ÖZEL DURUMLARI

Aşağıdaki kısımlarda, programın kullanımına ilişkin bazı önemli durumlara değinilmiştir. Karmaşık duvar sistemlerinin (perde elemanlı) modellenmesinde, herbir elemanın kullanımına ait genel detaylar ile programın sınırlamaları tartışılmıştır.

8.1. Özel Modelleme Problemleri

8.1.1. Basit Pier- Spandrel sistemi (kolon-kiriş sistemi)

Bir kolon kiriş sistemi basitçe, elemanların boyutlarının, çerçeveyenin diğer boyutları ile karşılaşıldığında büyük olduğu bir kiriş / kolon sistemidir. Böyle sistemleri TABS 80 ile uygun şekilde modellemek mümkündür. Çünkü elemanların sonlu boyutlarının çerçeveyenin rıjittiği üzerindeki etkileri otomatik olarak hesaba katılmaktadır. Şekil 8.1'de basit bir Pier-Spandrel sistemi modelini görülmektedir.

8.1.2. Süreksiz perde duvar sistemi

Süreksiz bir perde duvar sistemi Şek 8.1'de gösterilmiştir. Bu sistemin modellenmesi dört kolon ve perde ile yapılır. perde kullanımına ait detaylar kısım 8.2'de incelenmiştir.

8.1.3. Keyfi yerleştirilmiş aralıklara sahip perde duvarlar.

Çerçeve ve perde duvar sistemlerinin modellenmesinde düşey kolon akslarının sütunların merkez aksları (ya da Pierleri) gösterilmesi zorunlu değildir. Şekil 8.1'de görüldüğü gibi rastgele açıklıklı perde duvarlarının modellenmesinde, kolon aksları açıklık genişliğini ifade etmek için bazı temel referans aksları olarak da kullanılırlar.

Açık olmayan açıklıklar kesme panelleri ile doldurulamazlar. Örnekte duvar geometrisini ifade etmek için altı kolon aksi yeterlidir. 2, 3, 4, nolu kolon aksları açıklıkları esasına göre yerleştirilmiştir. 1, 5, 6 no'lu kolon aksları da

kolon merkezlerine yerleştirilmiştir. Perde kullanımına ait daha fazla detay bölüm 8.2' deverilmiştir.

8.1.4. Eksantrik olarak atılan destek sisitemleri (K ve X bağ) ve A çerçeveleri.

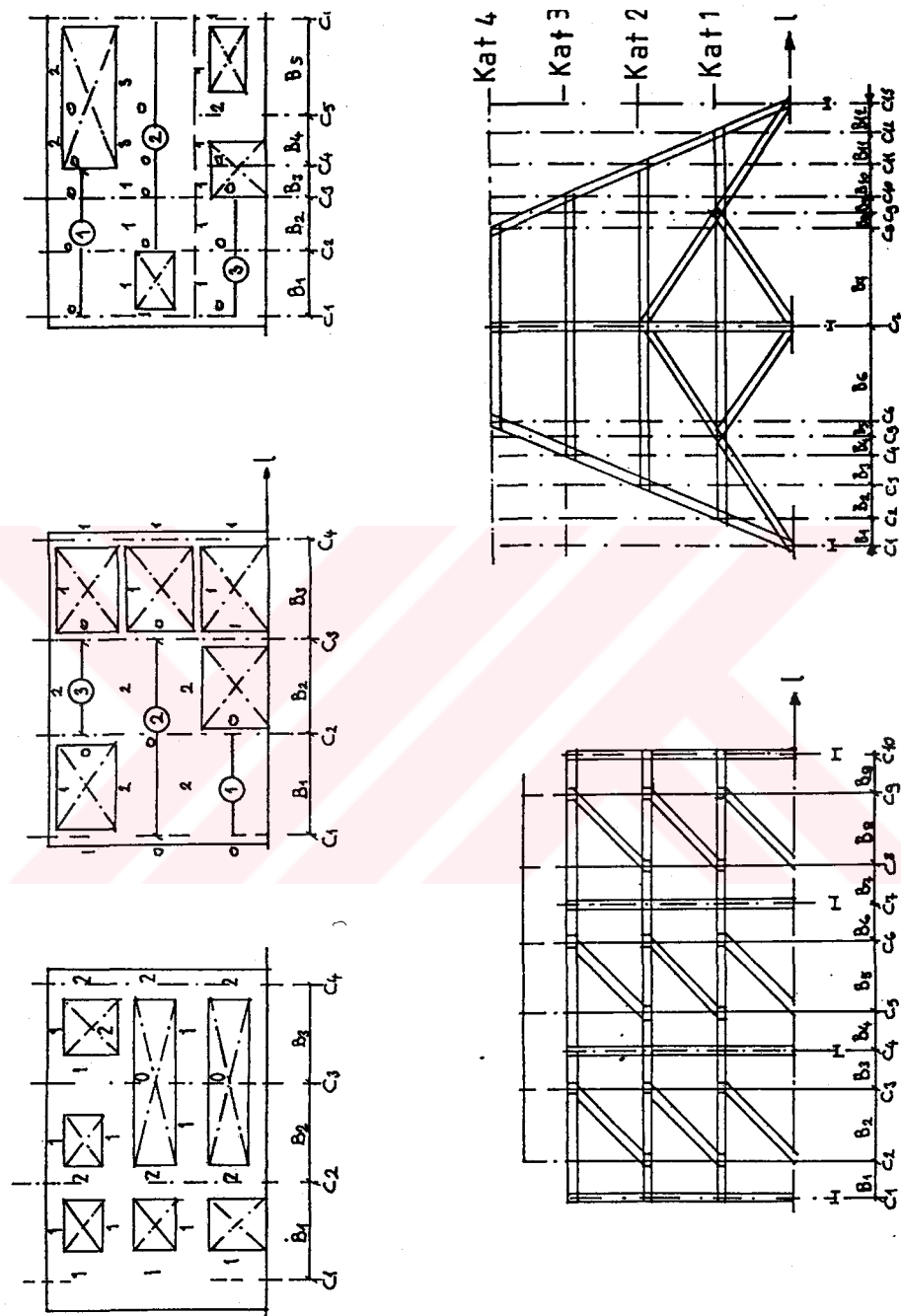
Şekil 8.1 ve şekil 8.2'de görüldüğü gibi çerçevelerin tanımı için gerekli olan kolon akslarını verimli bir şekilde kullanarak, karmaşık destekleme sistemleri, uygun bir şekilde modellenebilir. Hayali kolon aksları sadece geometrik tanım için kullanılır ve sıfır kolon kodlanarak kolon olmadığı veri gurubunda bildirilir.

8.1.5. Temel rıjittiği

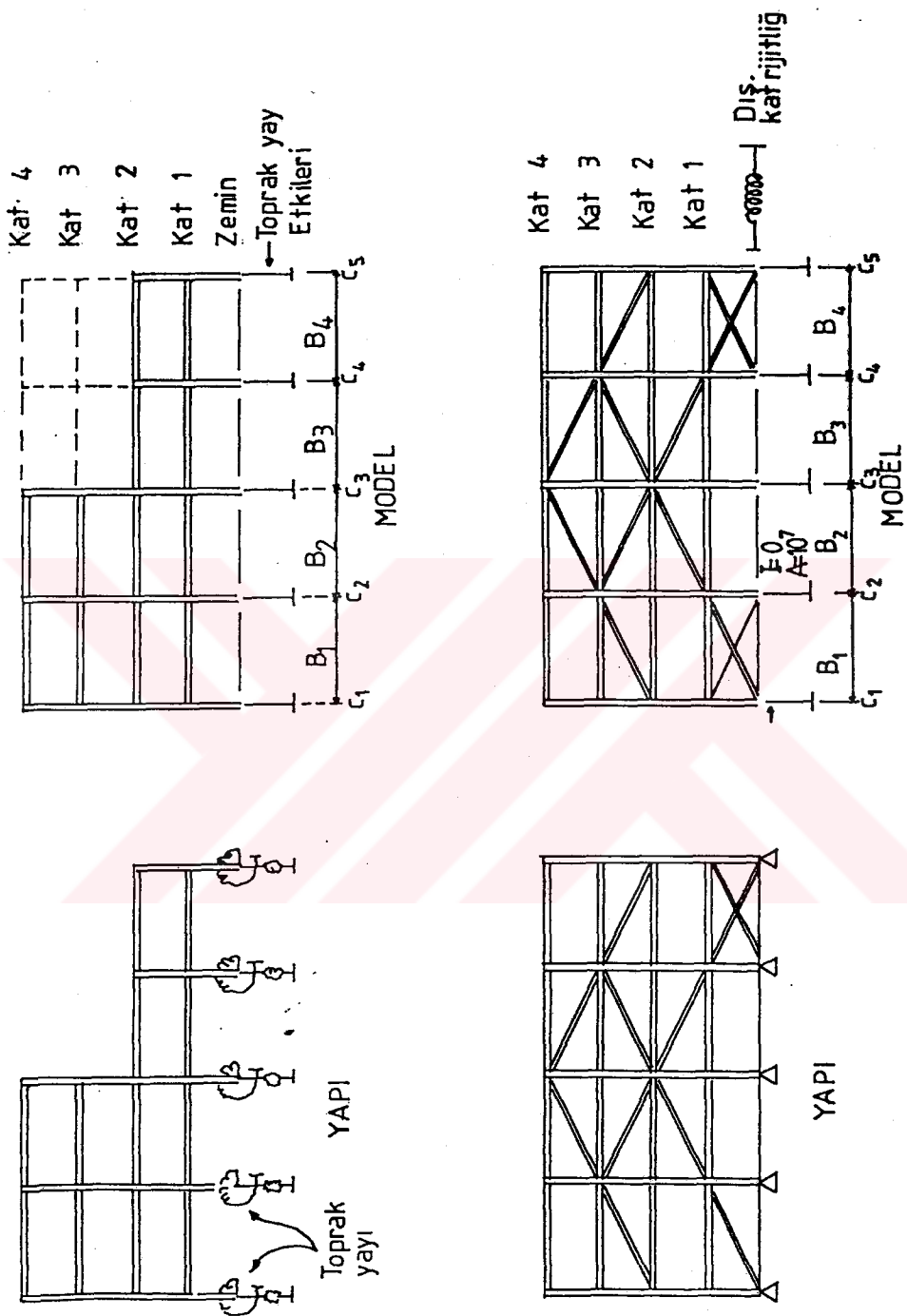
Yapıya temel seviyesinde temsili bir kat ilave ederek çerçevenin herbir kolon aksi altında ya düşey veya diyagonal toprak rıjittiğinde yaylar ile modellenebilir. Bu seviyedeki kolon ve kirişlerin özellikleri ele alınır ve istenen sınır şartları simüle etmek için girilir. Böyle durumlarda analatik sonuçlar sınır şartlara bağlı olarak hassaslaşır ve böyle problemlere dair pratik bir çözüm, sınırlayıcı parametrelerin hasasiyetidikkate alınarak kodlanmalıdır.

8.1.6. Mafsallı-Temeller

Program, her kolonun temelindeki sınır şartının ankastre olduğunu kabul eder. Bununla beraber, mafsallı-temeller, temel seviyesindeki yapıya "hayali" bir kat ilave ederek modellenebilir. Bu seviyedeki kirişlere sıfır rıjilik verilir. Eğer kolonlar özel olarak sabitlenecekse, geniş bir atalet momenti, geniş bir kesit alanı ve sıfır bir kesme alanı (ankastre kolonları olarak) kodlanır. Elastisite modülü üst katlardaki malzeme özellikleri ile orantılı olmalıdır. Hayali katın tanımlanmasında dönme ve yatay deplasmanı önlemek için bir rıjilik (10^{10}) verilmelidir. (Şekil 8.2)



Şekil 8.1. Özel Modelleme Durumları



Şekil 8.2. Mafsallı Temel Modelleri

8.2. Elemanların Genel Karekteristikleri

Aşağıda, kullanıcının TABS 80 programını doğru olarak kullanması için bilmesi gereken bazı önemli özellikler verilmiştir.

8.2.1. Kolon elemanı

1. Kolon genişliğinin kolon merkez aksında merkezlendiği varsayılmıştır.
2. Alt için kolon temellerinin sabit olduğu varsayılmıştır.
3. Kolonlar, kat döşeme seviyesinden, kat seviyesine kadar prizmatik olmalıdır.

8.2.2. Kiriş elemanı

1. Kirişlerin prizmatik olmalarına gerek yoktur, yalnız duvar merkez aksına göre simetrik olmalıdır.
2. Kirişlerdeki eksenel deformasyonların sıfır olmalarına gayret edilir (kiriş aksi boyunca rıjt bir diyaframın bulunduğu kabul edilecek). Belirli bir seviyedeki iki ardışık kiriş için bir sıfır şartının, ana bağlantıyı serbest bırakmadığını not etmek gerekir. Kirişlerin mevcudiyetine bakılmaksızın, rıjt diyafram daima bulunur ve ana bağlantının yanal deplasmanları aynı seviyedeki diğer bütün deplasmanlarla aynı olarak sınırlanmıştır.
3. Kirişlerin eğilmesi durumunda döşeme yapılarının katılımı, eğer analizde yer alacaksa, kullanıcı tarafından verilen kiriş özellikleri (T kirişi veya L kirişi) yansıtılmalıdır.

8.2.3. Duvar elemanı

1. Duvar elemanı herhangi iki kolon aksi arasında herhangi iki ardışık seviyede bulunabilir.
2. Bir duvar elemanı doldurulması gerekmeyen ardışık duvar serilerini bağlamalıdır. Bir başka tabirle, herhangi bir seviyede var olan duvarlar arasında en azından açılık bulunmalıdır.

3. Genelde, rıjıt kirişler özellikle (büyük atalet momenti, sıfır kesme alanı) kat seviyeleri sınır panelinde bulunmalıdır(yani duvarın altında ve üstünde).
4. Duvar alanı içindeki ve sınırlındaki kolon akslarına sıfır özelliklerini verilmelidir.
5. Duvar, düşey eğilme elemanıdır. Duvardaki eğilme yatay kesme ile birlikte olur. Bu yüzden, düşey kesme ile birlikte bulunan eğilme defermansyonlarını içermesi gereken durumları modellemek için, duvar kullanımı şüpheli sonuçlara götürür.
6. Duvarın rıjitliği, duvarın her iki yanındaki kirişlerin derinliğinden dolayı, rıjıt bölge çıkıntısı olmayan kat yüksekliğine eşit bir uzunluğa dayandırılmalıdır.
7. En alttaki katta bulunan duvarların altta ankastre olduğu kabul edilir.

8.2.4. Diyagonal eleman

1. Diyagonal elemanın, panel ve kolon elemanlar gibi , eksenel eğilme ve kesme rıjitliği vardır. Bir sıfır atalet momenti, diyagonal eksenel bir bağlantıya herhangi iki kolon aksi (ardışık ya da değil) arasında bulunabilir. Köşegen herhangi iki ardışık seviyedeki herhangi iki kolon aksi / döşeme aksi ara kesitini birleştirebilir.
2. Diyagonal eleman rıjitliğini düzeltten rıjıt bölge çıktıısı yoktur.

9. PROGRAMIN ÇIKTISI

Program, girilen değerleri, bigisayar çıktısının birinci kısmında tablo halinde verilir.

Girdilerin tablo halinde verilmesine ilaveten, programdan aşağıdaki çıktıları da elde etmek mümkündür.

9.1. Komple Yapıya Ait Çıktılar

1. Hesaplanmış yapısal dinamik analizler; kütleler, kütle atalet momentleri, kütle merkezleri v.s.
2. Yapısal mod şekilleri ve peryotları ve modal katılım faktörleri.
3. (UBC-1979) Üniform yapı standartı başına, yanal sismik statik eşdeğer yükler.
4. Beş statik yük şartı (I, II, III, A ve B) için her katın kütle merkezindeki yanal kat deplasmanları işaret anlaşımı Şekil 9.1'de gösterilmiştir.
5. Bir tepki spektrumu dinamik işletimde her moddaki her bir seviyede bulunan kütle merkezinde üretilen maksimum atalet kuvvetleri ve burulmalar.
6. Çeşitli çerçevelere yapısal kat kesmesinin dağılım özeti, kat kat, çerçeve çerçeve.
7. Çerçevelerin yerini gösteren yapısal planın çizimi

9.2. Herbir Çerçeve İle Verilen Çıktılar

1. Her bir çerçeveeye uygulanan düşey yükleme özeti ; seviye seviye
2. Çerçeve düzlemindeki yanal çerçeve deplasmanları. Her bir kolon aksındaki düşey deplasmanlar ve dönmeler; seviye seviye işaret anlaşımı Şekil 9.2'de gösterilmiştir. Dinamik deplasmanlara ait printer eğrileri, yanal çerçeve deplasmanları için zaman süre işletmesindeki çıktılardır.

3. Her eleman tipi için eleman gerilmeleri (TAPE 9 üzerindeki çıktılar) ve eleman kuvvetleri (TAPE 6 üzerindeki çıktılar) eleman kuvvet bileşenleri (işaret uyumuna göre) Şekil 9.3'de gösterilmiştir. Eğilme gerilmeleri büyük kesit atalet momenti üzerine kurulmuştur. Eksenel gerilmeler, eksenel alan, kesme gerilmeleri kesme alanına (dikdörtgen kesitler için eksenel alanın 5/6'sı) dayandırılmıştır. Eleman gerilme birimleri eğer istenirse eleman kuvvet birimlerinden farklı olabilmektedir. Kolon momentleri her "tekabül eden" seviyedeki kolonu çerçeveyeleyen kirişlerin dış yüzeylerine yazılır. Kiriş momentleri karşılıklı gelen uçtaki kolonun içine yazılır. Bağ kiriş momenti eğer bağ kirişinin belirtilen düşey yüklemesi yoksa, düşey yük şartları için ve yatay ve düşey yük şartları için kiriş uç momentlerinin ortalamasıdır. Bununla beraber, eğer düşey yükleme verilmişse kirişteki bir sıfır kesme noktası için bir araştırma yapılır. Kirişin sol ucundan itibaren karşılaşılan birinci sıfır kesme noktasında moment hesaplanır. Ne var ki eğer sıfır kesme noktası bulunmamışsa, moment, kiriş uç momentlerinin ortalaması olarak alınır. Temel için eğilme momentleri, kirişlerin dış yüzeylerinde değerlendirilir. Köşegenler için eğilme momentleri kolon merkez aksındadır.

4. I, II, III, A ve B Statik yük şartları için her seviyedeki kat kesme özeti.
5. Çerçeve Yükseltilerinin rapidoya çizimi.

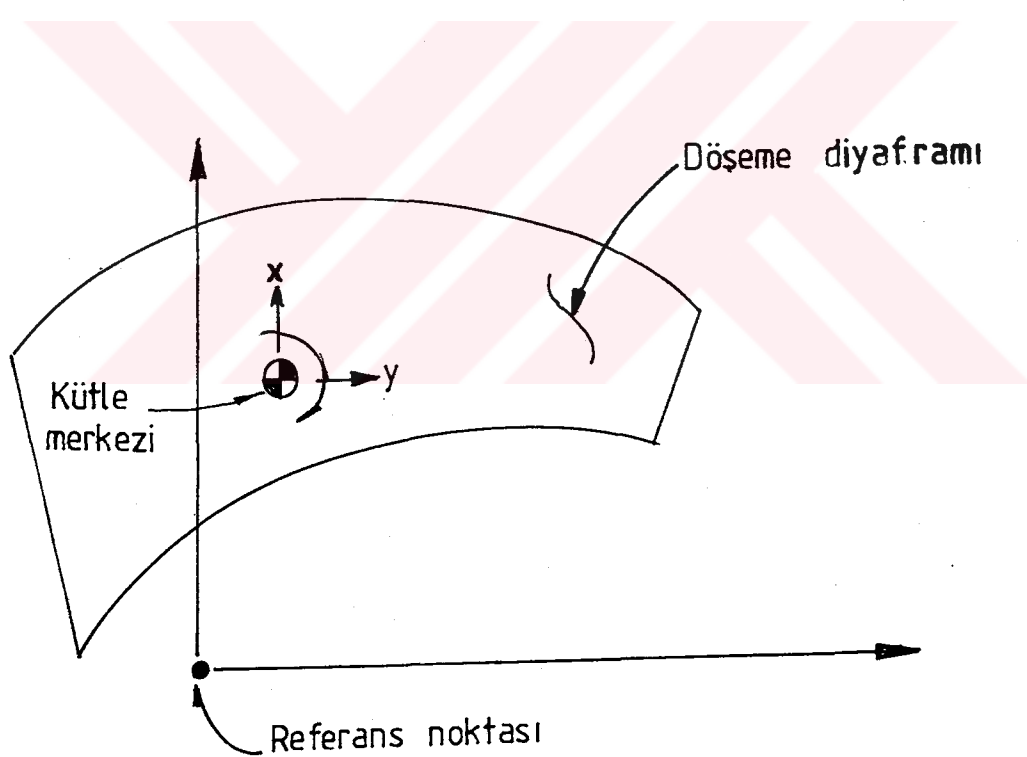
Çerçeve çıktısı Bölüm 9'da çerçeve yerleştirme verilerindeki, çerçeve girdi sırasının tersi sırasıyla verilir. Son çerçeveyle birlikte verilen çıktı en alt kattan başlayıp yukarı doğru sırasıyla yazılır.

9.3. Statik Kontrol

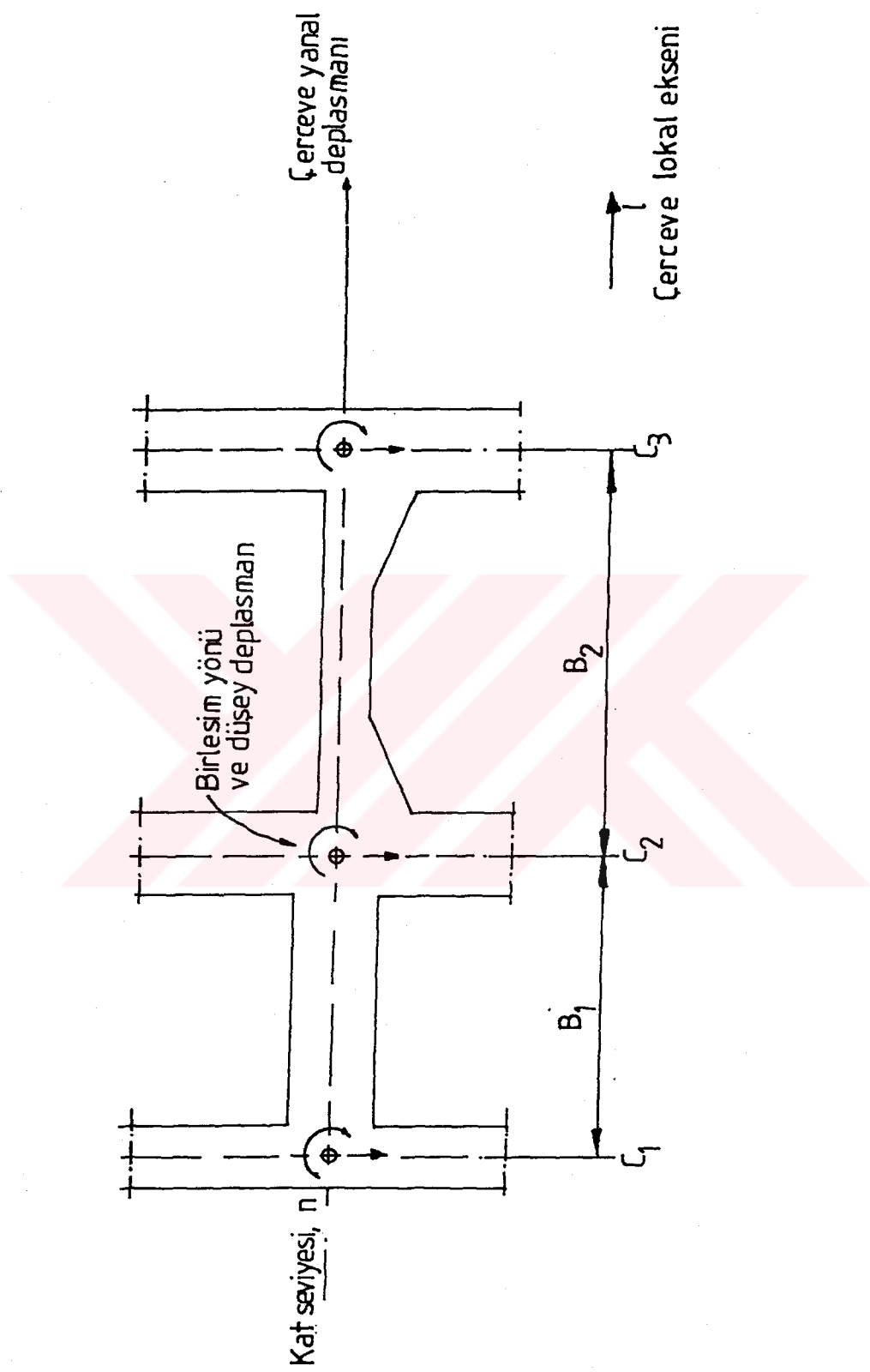
Bütün statik yük şartlarından elde edilen sonuçlar statikliği sağlamalıdır. Bununla birlikte, kolon ve kiriş momentleri, tekabül eden elemanların herbirinin mesnetlerinin dış yüzeylerine göre alındığı için, bağlantı moment dengesi açık değildir. Bağlantı statığını kontrol, kolon ve kiriş momentlerinin karşılık gelen kolon aksi ve kat seviyesi kesim noktasına dönüştürülmesi içerir. Bütün mometlerin bu ana noktaya indirgendikten sonra, statiklik temin edilmiş olur.

Kolon ve kiriş kesmeleri ile bağlantılarının sonlu boyutlarının momet denge denklemlerinin bir parçası olmaları gerekecektir.

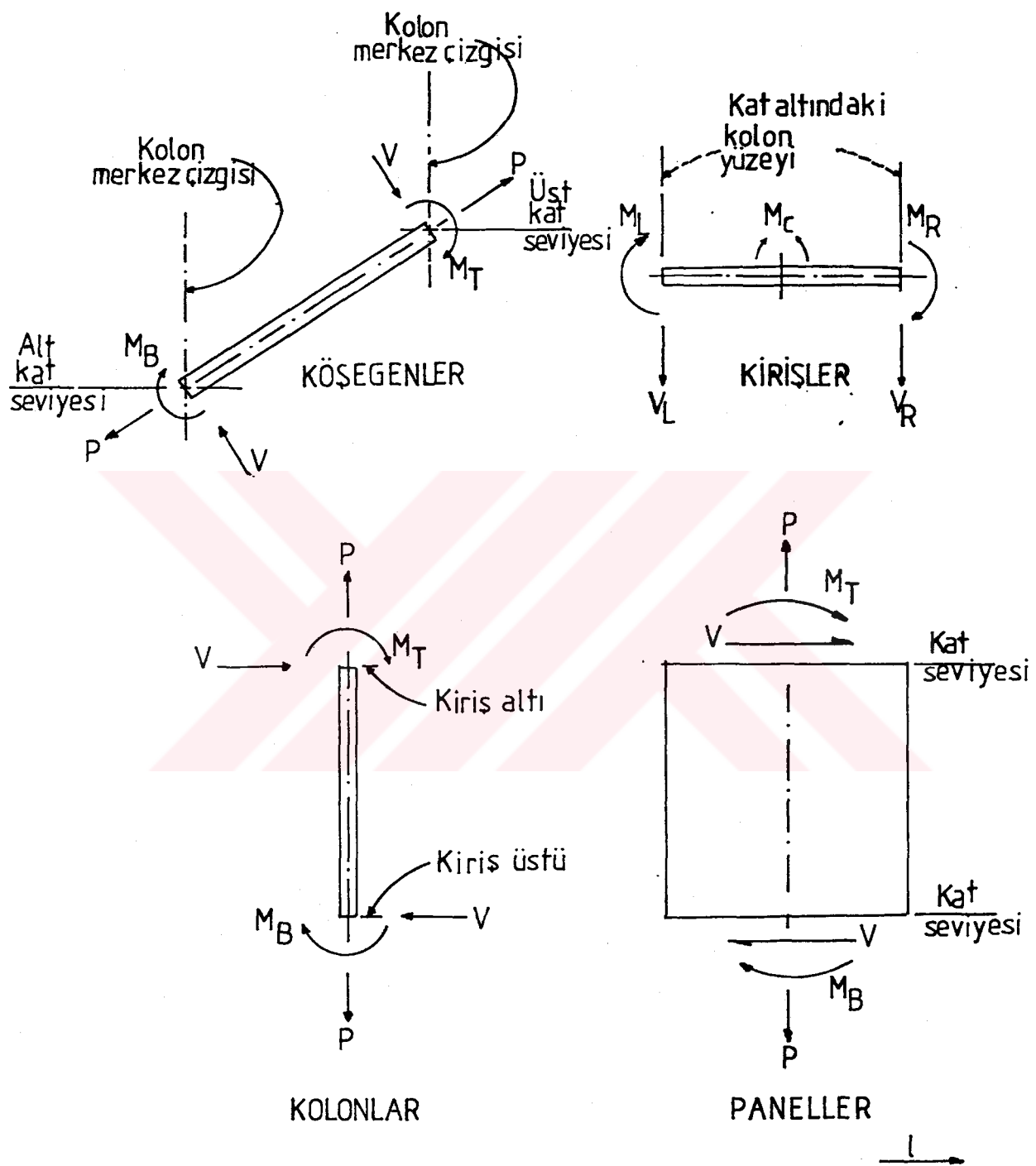
Bütün dinamik şartlardan elde edilen sonuçlar genelde statigi temin etmezler. Tepki spektrum analizinde, analiz tekniği bileske parametrelerinin işaretlerinin yok olmasına yol açan metodlarla model elemanlarının toplamını içerir. Zaman - süre analizi mutlak maksimum noktaları deplasmanlar ve eleman kuvvetlerine ait, işaretin kaybolması sağlanarak yazdırılmaktadır. Bunların yanında aynı analiz süresinde, aynı anda maksimum değerler bulunmayabilir.



Şekil 9.1. Yapısal Yanal Deplasmanlar İçin Pozitif Yönler



9.2. Çerçeve Deplasmanları İçin Pozitif Yön



Şekil 9.3. Kuvvet Elemanları İçin Pozitif Yönler

10.PROGRAMIN KAPASİTESİ

TABS 80 genel açıklıkta başlıca bütün düzenlemeler yapılmak için tahsis edilmiş dinamik depolama ile FORTRAN IV 'de yazılmaktadır. Bundan dolayı programın kapasitesi çeşitli alternatiflerde olmalıdır, sadece aşağıdaki iki kart ana programın başlangıcında mevcut bulunmalıdır.

```
COMMON A (n)
DATA MTOT / n /
```

Özel bir program için " n " in değeri **nf**, **ns**, **nd** 'ye göre önemli olmalıdır, değerler aşağıda formül ile tesbit edilip sunulmuştur. Programın başındaki engel parametrelerinin depolama tayinidir. Genel de az kullanılan programlarda başka depolama engelleri de mevcut olmaktadır.

1. nf 'nin hesaplanması

Bazı çerçevelerin depolama işlem yöntemleri aşağıda verilmiştir.

$$\begin{aligned}
 sf = & NS * (4 * NB + NC) \\
 & + 8 * (NBP + NCP + 2) \\
 & + NFEF * (2 * MCONL + 8) \\
 & + 4 * (NPAN + NDIG) \\
 & + 2 * NB \\
 & + (Mi \& MO) \text{ nun maksimumu}
 \end{aligned}$$

$$\text{Burada: } Mi = 20 * NST + NN * (NN + 3) + NC$$

$$\text{ve } MO = (MLD + 2) * NST + 11 * NLD + NN * (2 * NC + MLD)$$

spektrum analizi cevabı için **M0** 'ın değerine **NFQ * (NFQ + 11)** ile varılır, **nf** her çerçeve için **sf** nin hesaplanabilir değerlerinin maximumudur.

2 - nb' nin (tanımlanması) tayin edilmesin içi nb aşağıda verilmektedir.

$$nb = 19 * NST + NSS * (2 * NSS + 3)$$

3 - nd nin hesaplanması.

Bir zaman süresi dinamik analizindeki engelin giderilmesi için nd'ye ihtiyaç vardır ve aşağıda verilmiştir.

$$nd = 19 * NST + (5 + NTIME) * (NSS + NST) + NTF * (9 + NST)$$

NST = Bina kat sayısı.

NS = Kat çerçeveye sayısı.

NC = Çerçeve kolon aksının sayısı.

NB = Çerçeve bölmelerinin sayısı. (NC-1 e eşdeğer)

NBP = Çerçeveye yerleştirilmiş kırışların sayısı.

NPAN = Çerçeve panel elemanlarının sayısı.

NDIG = Çerçeve diagonal elementlerin sayısı.

NFEF = Çerçeve bağlantı kırışlarının yükleme modelinin sayısı.

MCONL = Çerçevede bazı bağlantı kırış yüklemesindeki yük noktalarının max. sayısı.

NSS = Eğer $3 * NST$ ise üç serbestlik derecesi her kat başına analizde müsade edilir.

NST = Eğer NST yalnız bir serbestlik derecesine her kat başına analizde müsade edilir.

NTF = Binadaki çerçevelerin toplam sayısı.

NTIME = Zaman süre sayısı.

NLD = Analizdeki yükleme durumunun sayısı.

NFQ = İstenilen mod sayısı.

MLD = Yalnız 5 statik analiz için.

5+NFQ Tepki spektrom analiz.

5+NTIME Zaman süre analizi için.

Yapı için genellikle idare edilecek (yönetilecek) nf bina kat numaralarında küçük olur, eğer analizde her kata düşen bir serbestlik derecesi varsa müsade edilen her kat başına düşen üç serbestlik derecesi varsa nb

kritik değer olabilir. İhtiyaç örnek zamanın geniş bir numarası varsa **nb** kritik olabilir.

1. Açıklama kartları herbir kartta bulunabilir.
2. Bilgi kontrolü, 4 kart.
3. Kütle şekli datası, yalnızca NPAT degildir sıfırı.
4. Bina kat datası.
5. Her farklı çerçeve için, yerleştirilen çerçeve datası.
6. Çerçeve durum datası
7. UBC sisimik datası, eğer yalnızca NUBC=1 ise.
8. Spektrum veya süre hızlandırma datası (Eğer yalnızca NAT=3 veya 4 ise)
9. Yükleme durum datası NLD kartları
10. Bitiş kartı.

11.TABS 80 GİRDİ DATASININ DETAYLANMIŞ TANIMLANMASI

11.1. Açıklama Kartları (A1,17A4,A1)

Kolon	Degisken	Giris
1	IDLR	\$ işaretidir
2-70	ICARD	Uygun bilgi kullanılır.

11.2 Kontrol Bilgi Kartları

11.2.1. İki iki kart (14A5/14A5)

Kolon	Degisken	Giris
1-70	IHED	Yapı kimliği hakkında bilgi.

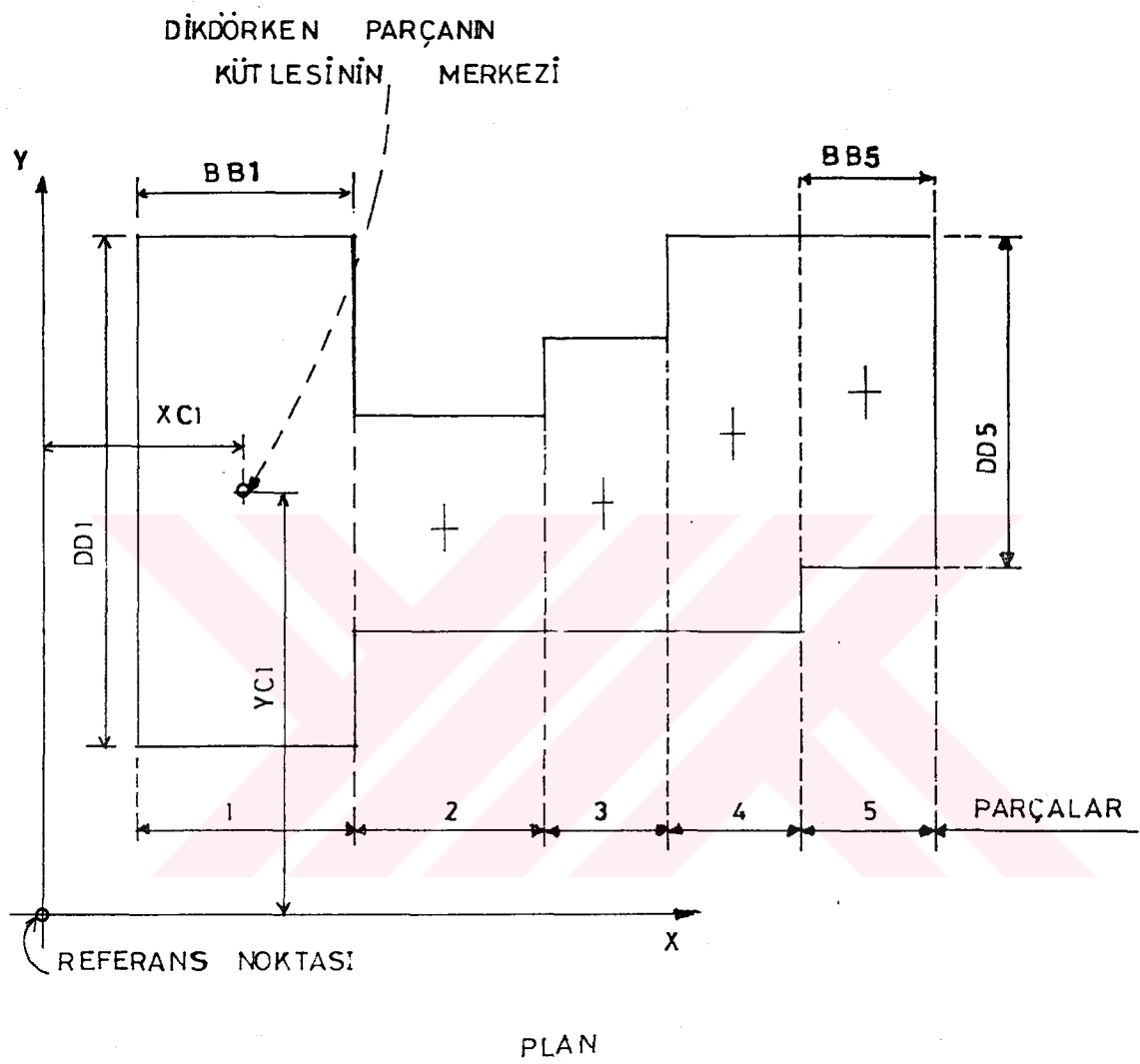
11.2.2. Üç kart (12I5) Başlık kartları

1- 5	NST	Binanın toplam kat sayısı.
6-10	NDF	Farklı özelliklerde ve farklı yüklemelerdeki çerçeveyi sayısı.
11-15	NTF	Yapıdaki çerçeve veya perde sistemlerin toplam sayısı.
16-20	NLD	Toplam yükleme durum sayısı.
25	NAT	Analiz tip kodu. EQ 0: Yalnız statik analiz. EQ 1: Yalnız Mod şekil ve peryotları. EQ 2: Statik yük analizi, mod şekilleri ve peryodu. EQ 3: Tip iki analizine ilaveten yatay deprem spekturm analizi. EQ 4: Tip iki analizine ilaveten yanal deprem süresi analizi.
26-30	NFQ	Hesaplanacak peryotların sayısı
35	NSD	Kat serbestlik derecesi. EQ 0: X ve Y yönündeki deplasman ve dönme. EQ 1: Yalnız X dönüşümler. EQ 2: Yalnız Y dönüşümler.

40	NOPT	<p>Yapma şekli.</p> <p>EQ 0: Normal yapma.</p> <p>EQ 1: Data kontrol şekli. Bu data hesap yapmıyor sadece kontrol ediyor.</p> <p>EQ 2: Yapının deplasmanlarını ve özetlerini yaz.</p> <p>EQ 3: Tamamen hesapla ve girdilerin dışındaki bilgileri yaz.</p>
45	NRGD	<p>Çerçeve düğüm noktasının kontrolü.</p> <p>EQ 0: Rijit bölgeyi değiştir.</p> <p>EQ 1: Rijit bölgenin boyutlarında azaltma yapma.</p>
50	NDSP	<p>Çerçeve düğüm noktasının deplasman kotları.</p> <p>EQ 0: Çerçeve düğüm noktasının deplasmanını önle.</p> <p>EQ 1: Çerçeve düğümlerin düşey ve dönme deplasmanını yaz.</p>
55	NUBC	<p>Otomotik yatay sismik kuvvetlerin hesabı.</p> <p>EQ 0: UBC yük hesapları otomotik yapmaz.</p> <p>EQ 1: UBC 1976 sismik yükleri yansitan A ve B.</p>
60	NPAT	<p>Katların kütle tip sayısı.</p> <p>EQ 0: Kütle atalet momenti ve kütle merkezi hesaplanması otomotik olmaz.</p>
65	NPLT	<p>Kesit ve plan çizimi.</p> <p>EQ 0: Çizim yapmaz.</p> <p>EQ 1: Çerçeve kesiti ve plan çizimi.</p> <p>EQ 2: Yalnız çerçeve kesitinin çizimi.</p> <p>EQ 3: Yalnız plan çizimi.</p>

11.2.3. Dördüncü kart (2F10.0) Gerilme Dönüşüm Datası

1-10	ANI	Uzunluk girdilerindeki gerilme birimlerinin numarası.
		EQ 0: Koyulan değer 1.0 dir.
11-20	ANP	Birim kuvvet girdilerindeki gerilme birimlerinin numarası.
		EQ 0: Koyulan değer 1.0 dir.



Şekil 11.1 Beş Kısmalı Ayrılmış Kütle Tipi Örneği

11.3. Bina Kat Hesaplaması İçin Kütle Datası, Kütle Atalet Momenti ve Kütle Merkezi

11.3.1. Birinci kart (2I5,F10.0)

Kolon	Değişken Giriş	
1-5	M	Kütle tipi tanıtım numarası.
6-10	NSEG	Kütle dağıtımında tanımlanan dik parça sayısı
11-20	SF	Ölçü faktörü. LE 0:1 değeri koyulur.

11.3.2. Parça data kartları (5F10.0)

1-10	AM	Dikdörtgen parçanın kütlesi.
11-20	XC	Referans noktasından bu parçanın kütlesinin merkezine olan X mesafesi.
21-30	YC	Referans noktasından bu parçanın kütlesinin merkezine olan Y mesafesi.
31-40	BB	Dikdörtgen parçanın B boyutu.
41-50	DD	Dikdörtgen parçanın D boyutu.

11.4. Bina Kat Datası

11.4.1. Birinci kart (A5,I5,3F10.0) Yapının Bina Kat Datası

Kolon	Değişken Giriş	
1-5	SDI	Düzlem kartı için beş karakter kullanılmalı.
6-10	IMST	Kütle çeşidi, şayet NPAT sıfırda eşit olmazsa. EQ 0: Bu binanın ikinci kart kütle özelliği gibidir. GT 0: Önceden tanımlandığı kütle çeşidi IMST 'nin kütle özelliğiğidir.
11-20	SH	Döşeme seviyesinden döşeme seviyesine olan mesafe kat yüksekliğidir.
21-30	SKX	X yönündeki bina katı dış rıjitiği.
31-40	SKY	Y yönündeki bina katı dış rıjitiği.

41-50 SKR Bina kat dönme yönündeki kat dış rıjitiği.

11.4.2. İkinci kart (4F10.0) Binanın Kütle Datası.

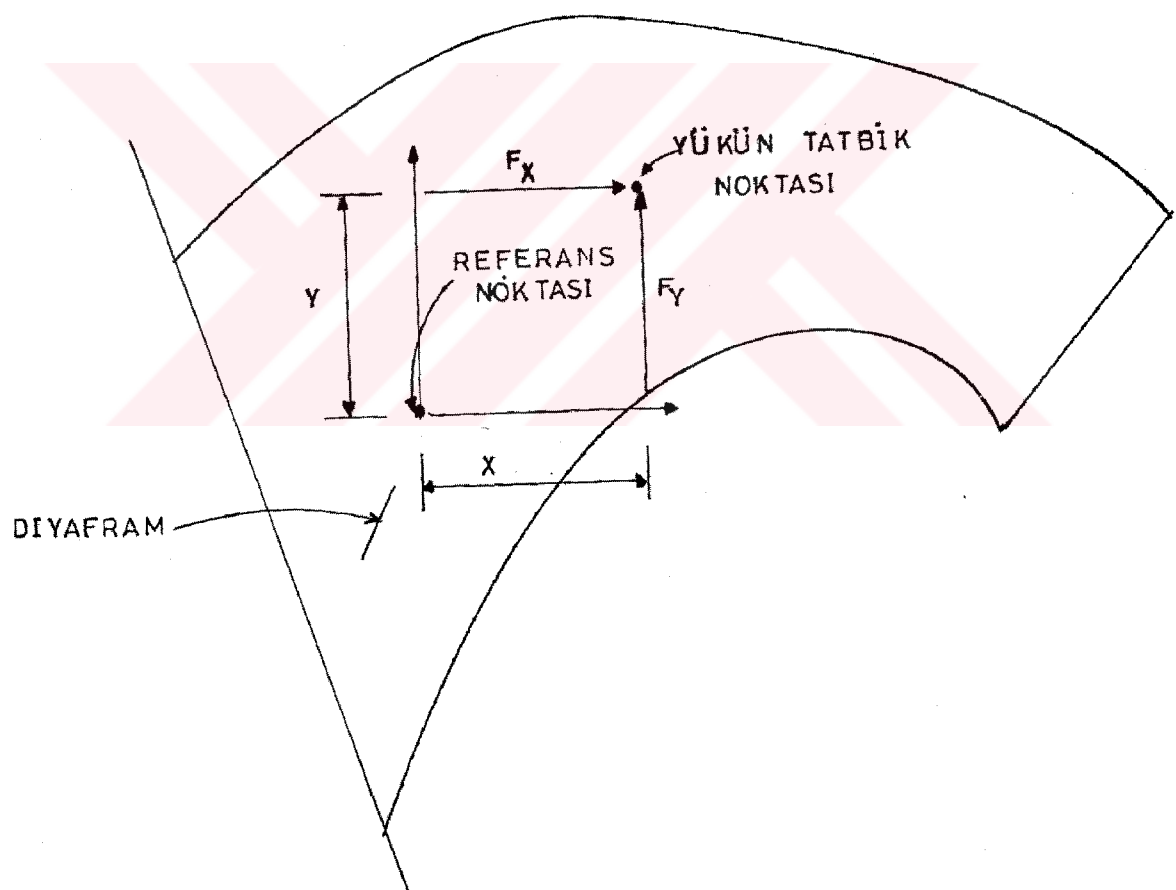
1-10	XMASS	Kütlelerin dönüşümü.
11-20	XMMI	Bina katının kütle merkezi vasıtasyyla bir düşey eksene dair kat dönme kütle momenti.
21-30	XM	Referans noktasından ölçülmüş kütle merkezine olan X-mesafesi.
31-40	YM	Referans noktasından ölçülmüş kütle merkezine olan Y-mesafesi.

11.4.3. Üçüncü kart (4F10.0) Yapısal Yatay A Yüklerin Durumu.

1-10	FXA	A yanal yükleme durumu için X-yükü.
11-20	FYA	A yanal yükleme durumu için Y-yükü.
21-30	XA	A yükleme durumu için tatbik yük noktasının X ordinat.
31-40	YA	A yükleme durumu için tatbik yük noktasının Y ordinat.

11.4.4. Dördüncü kart (4F10.0) Yapısal Yatay B Yüklerin Durumu.

1-10	FXB	B yanal yükleme durumu için X-yükü.
11-20	FYB	B yanal yükleme durumu için Y-yükü.
21-30	XB	B yükleme durumu için tatbik yük noktasının X ordinatı.
31-40	YB	B yükleme durumu için tatbik yük noktasının Y ordinatı.



Şekil 11.2 A ve B Statik Yatay Yük Durumu

11.5. Çerçeve Datası

11.5.1. Çerçeve başlık kartı (14A5)

Kolon Değişken Giriş
1-70 FHED Çerçeve tipi hakkında bilgi.

11.5.2. Çerçeve kontrol kartı (10I5.0)

1-5	M	Çerçeve kart numarası.
6-10	NC	Bu çerçevenin düşey kolon sayısı.
11-15	NS	Temel seviyesi üstündeki bina kat sayısı.
16-20	NCP	Farklı kolonların / panel / köşegen yerleştirme sayısı.
21-25	NBP	Farklı özellikteki kırışların kırışların yerleştirme sayısı.
26-30	NFEF	Düşey yükleme örneklerindeki farklı kiriş yerleştirmelerinin sayısı.
31-35	MCONL	Bu çerçevenin herhangi bir kiriş açıklık yüklemesinde yükleri bir arada toplayacak max. sayısı.
36-40	NPAN	Bu çerçevenin kesme panel (perde) numarası.
41-45	NDIG	Bu çerçevenin köşegenlerinin sayısı.
50	IPLT	Çerçeve plan çizimi. EQ 0: Çerçeve görünüşünün çizimini yapmaz. EQ 1: Çerçeve görünüşünün çizimini yapar. EQ 2: Düşey yük ve elemanların görünümünün çizimini yapar.

11.5.3. Duvar genişlik datası (7F10.0)

1-10	BW	1. ve 2. kolon aksları arasındaki açıklık genişliği.
61-70		7 ve 8. kolon aksları arasındaki açıklık genişliği.

11.5.4. Eşik yükseklik datası (7F10.0)

1-10	SL	1. ve 2. kolonları arasındaki eşik yükseklik
61-70		7. ve 8. kolonları arasındaki eşik yükseklik.

11.5.5. Kolon / Panel / Köşegen özellik kartları (I5, F5.0, 6F10.0)

1-5	M	Bu özellikleri koymak için kart numarası.
6-10	U	Birim ağırlığı. (bina katınının kütle hesabı için değil.)
11-20	E	Elastik modül.
21-30	A	Parçanın eksenel croos alanı.
31-40	XI	Ataletinin momenti.
41-50	AV	Efektif kesme alanı.
51-60	W	Kolon genişliği.
61-70	T	Kolon kalınlığı.

11.5.6. Kiriş özellik kartları (I5, F5.0, 2F10.0, 2F5.0, 3F10.0)

1-5	M	Bu kiriş için uygun olan kart sayısı.
6-10	U	Birim ağırlığı (Bina katınının hesabı için değil.)
11-20	E	Elastik modül.
21-30	XI	Atalet momentinin referansı.
31-35	AK	Rijitlik faktörü. 4.0
36-40	AC	Faktör üzerindeki taşımalar.
41-50	DB	Diyafram seviyesi üzerindeki kiriş derinliği.
51-60	DA	Diyafram seviyesi altındaki kiriş derinliği.
61-70	AV ve T	Kiriş kesme alanı veya kalınlığı.

11.5.7. Kiriş açıklığındaki yüklemenin datası.

(i). Birinci kart (2I5, 4F10.0)

1-5	M	Bu düşey yükleri yerleştirmek için kart numarası.
6-10	NCON	Bu yerleştirme için bir tarafa toplanan yükler numarası
11-20	XML	Sol taraftaki sabit uç moment.
21-30	VL	Sol taraftaki sabit kesme kuvveti.
31-40	XMR	Sağ taraftaki sabit uç moment.
41-50	VR	Sağ taraftaki sabit kesme kuvveti.

(ii). İkinci kart (3F10.0)

1-10	WW	Üniform yük.
------	----	--------------

11-20	FL	Yük noktası, sol kolon merkezindeki kuvvet.
21-30	FR	Yük noktası, sağ kolon merkezindeki kuvvet.

(iii). Yükleri bir tarafa toplama kartı (6F10.0)

1-10	D1	Sol taraftaki kolon merkezi aksından bir yükünün mesafesi.
11-20	P1	Bir yükünün değeri.
21-30	D2	Sol taraftaki kolon merkezi aksından iki yükünün mesafesi.
31-40	P2	İki yükünün değeri..
.....

11.5.8. Data organlarını yerleştirmek.

(i). Kolon kartları (2I5)

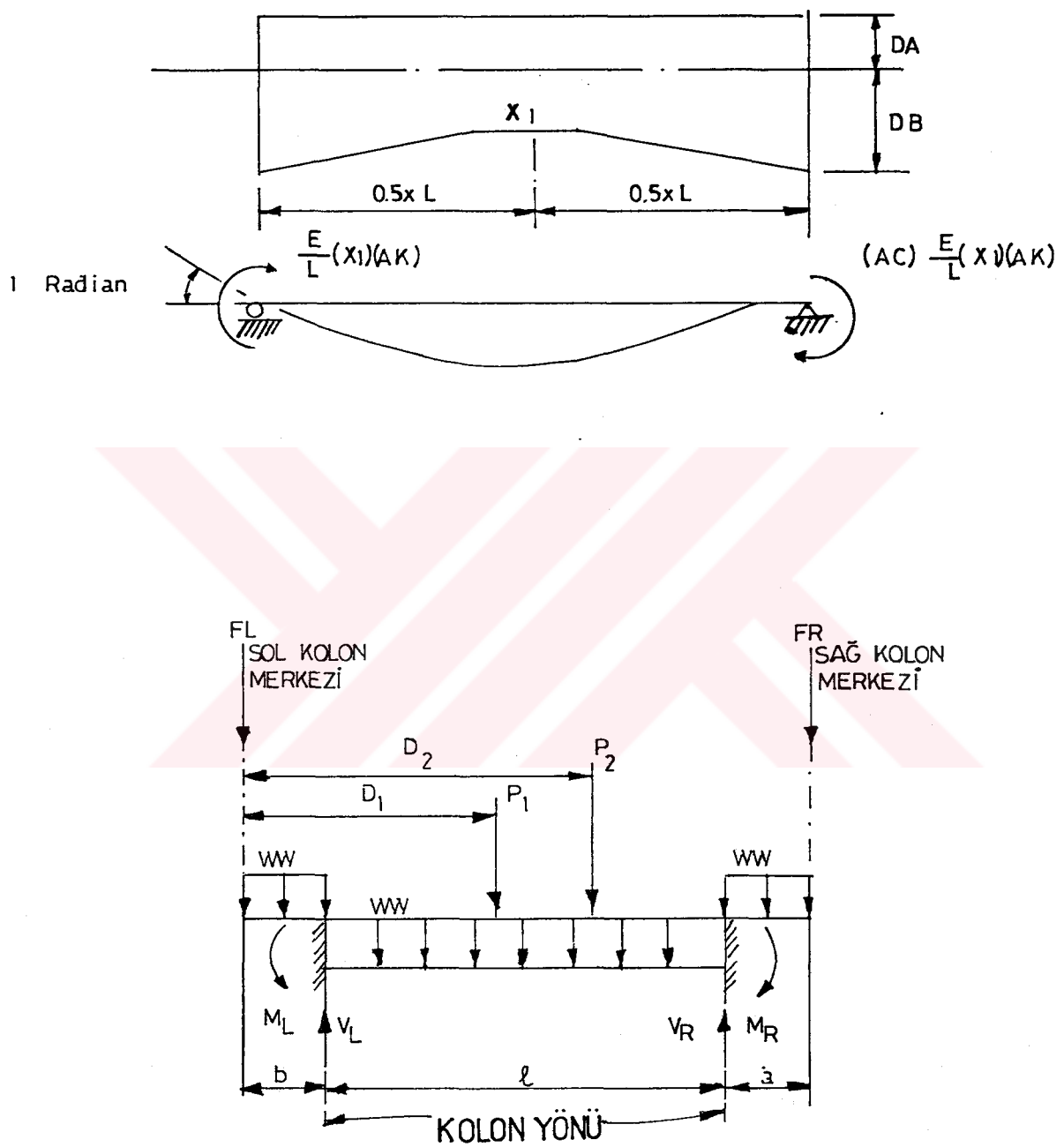
1-5	LC	Kolon / Panel (perde) / Köşegen özelliklerine numara kartı yerleştirilir.
6-10	K	Bazı özelliklere sahip kolon sayıları.

(ii). Kiriş kartları (2I5)

1-5	LB	Bu kiriş özellikleri için numara kartı koymak.
6-10	K	Bazı özelliklere sahip kiriş sayıları.

(iii). Panel (perde) kartları (5I5)

1-5	LP	Bu panelin üstünün numara kart seviyesi.
6-10		Panel başlangıç açıklık sayısı.
11-15		Panel bitim açıklık sayısı.
16-20	PP	Kolon / Panel / Köşeğene numara kartı koymak, panelin özelliğini tanımlamak.
21-25	K	Bazı özelliklere sahip panellerin sayısı.



Şekil 11.3. Kiriş Özelliği ve Kiriş Yükleme Durumu

(iv). Köşeli kartlar (5I5)

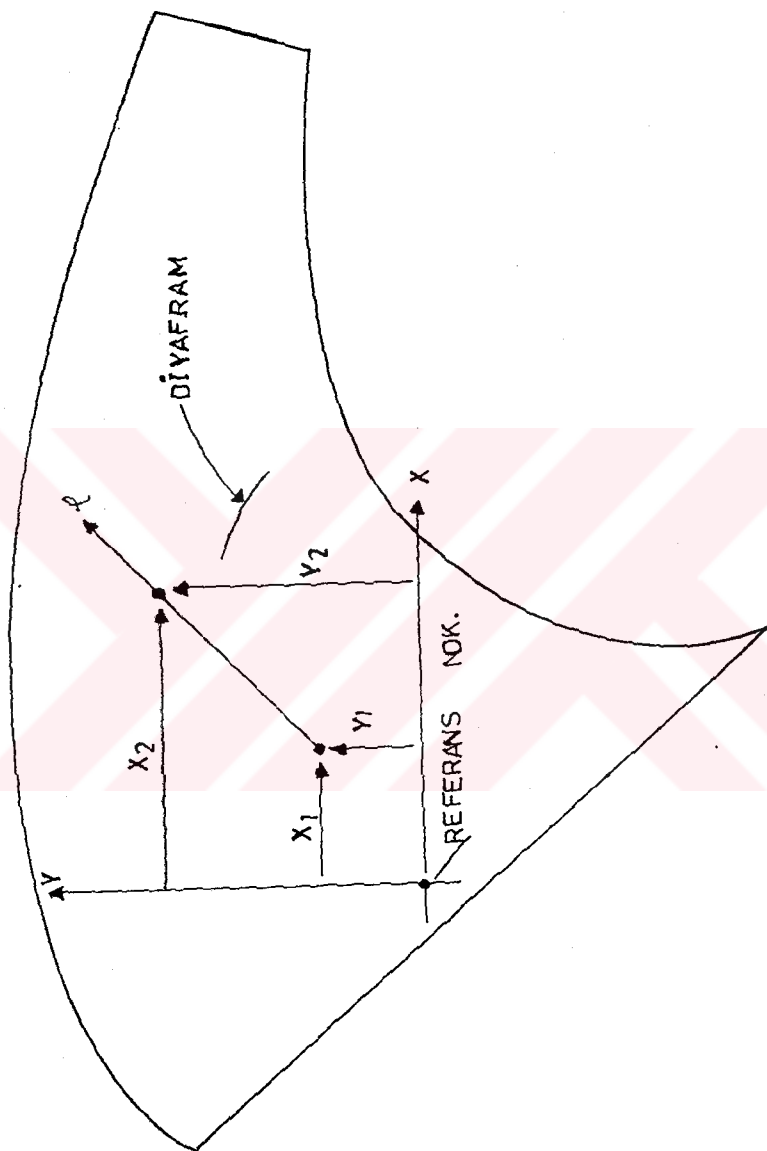
1-5	LDIG	Bu panelin üstündeki numara kart seviyesi.
6-10		Bu köşegenin altındaki kolon sayısı.
11-15		Bu köşegenin üstündeki kolon sayısı.
16-20	PDIG	Kolon / Panel / Köşegenin özelliğine numara kartı koymak, köşegenin özelliğini tanımlamak.
21-25	K	Bazı özelliklere sahip köşegenlerin sayısı.

11.5.9. Düşey yük datası (4I5)

1-5	LBD	Kiriş açıklık yüklemesi 1 düşey yükleme durumu için kart numarası konur.
6-10		Kiriş açıklık yüklemesi 2 düşey yükleme durumu için kart numarası konur.
11-15		Kiriş açıklık yüklemesi 3 düşey yükleme durumu için kart numarası konur.
16-20	K	Düşey yük altındaki kirişin sayısı.

11.6. Çerçeve Yerleştirme Kartı (2I5, 4F10.0, 4A5)

Kolon	Değişken	Giriş
1-5	M	Çerçeve kart numarası.
6-10	IFC	Kuvvet hesap metodu. EQ 0: Çerçeve kuvvetleri hesaplanmış olacak. EQ 1: Çerçeve kuvvetleri hesaplanmamış olacak.
11-20	X1	X1, mesafesi.
21-30	Y1	Y1, mesafesi.
31-40	X2	X2, mesafesi.
41-50	Y2	Y2, mesafesi.
51-70		Bu çerçevenin kimliğini gösteren bir bilgidir.



Şekil 11.4. Çerçeve Noktalarını Yerleştirmek

11.7. Yatay Sismik Yüklerin Hesabı

11.7.1. Birinci kart (4F10.0)

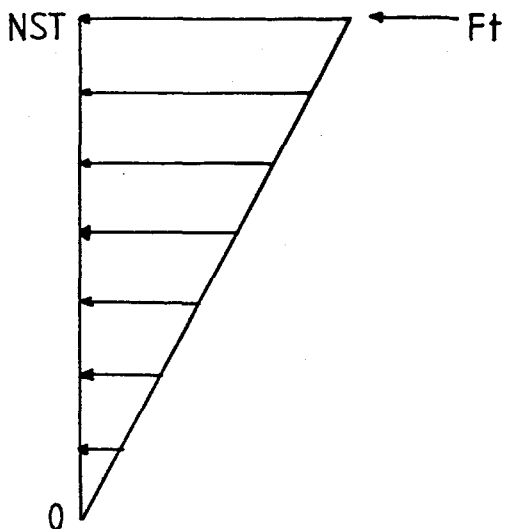
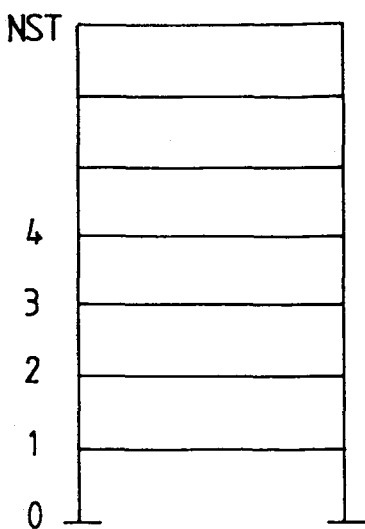
Kolon	Değişken Giriş
1-10	Z UBC faktör bölgesi, Z (Deprem bölgesi (ihmal = 1.0))
11-20	TS Zeminin hakim peryodu.
21-30	UBCI UBC faktörünün önemi, I (ihmal=1.0)
31-40	GRAV Yer çekimi için yeterli ivme. EQ 0:32.2ft / sec ² için koyulur.

11.7.2. İkinci kart. (2I5, 2F10.0)

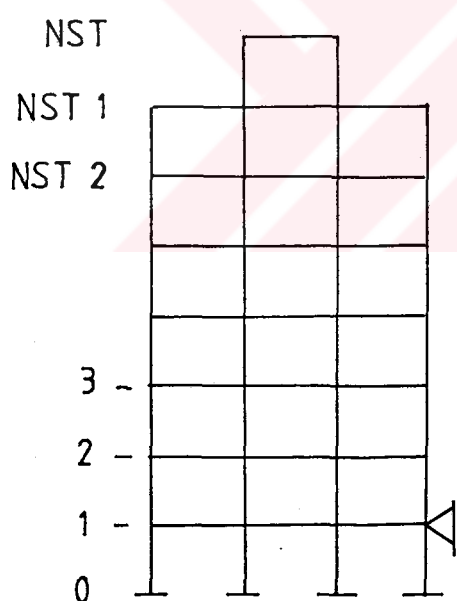
1-5	NTOPX X yönünde dağıtılan üçgen şeklindeki UBC 'nin en yüksek noktanın düzlem numarası. LE 0:NST bırakılır.
6-10	NBOTX X yönünde dağıtılan üçgen şeklindeki UBC 'nin en alt noktanın düzlem numarası LE :0 bırakılır.
11-20	TX X-şekli hakim olan peryodun zamanı. LE 0: Eeğer NAT 0 değil ise, programa tarafından bırakılır.
21-30	KX UBC yapısal çeşit faktörü, X yönü için K

11.7.3. Üçüncü kart (2I5, 2F10)

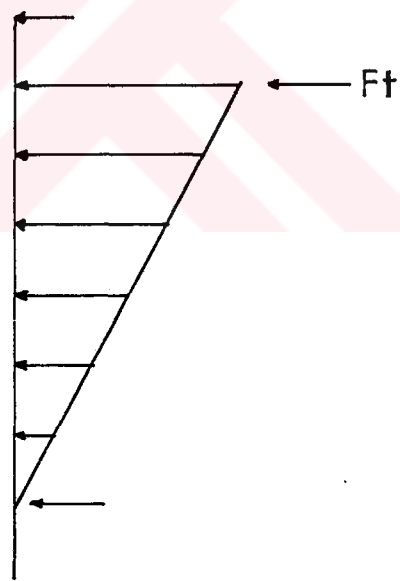
1-5	NTOPY Y yönünde dağıtılan üçgen şeklindeki UBC 'nin en yüksek noktanın düzlem umarası. LE 0: NST bırakılır.
6-10	NBOTY Y yönünde dağıtılan üçgen şeklindeki UBC 'nin en alt noktanın düzlem numarası LE 0: 0 bırakılır.
11-20	TY Y-şekli hakim olan peryodun zamanı. LE 0: Eeğer NAT 0 değil ise, programa bırakılır.
21-30	KY UBC yapısal çeşit faktörü Y yönü için K.



ÇERÇEVE

ÇERÇEVE
KÜÇÜK ÇATIKATI

NOT:
UBC yatay dağılımı tüm katlar üzerindedir.
 $N_{TOP} = NST$
 $N_{BOT} = 0$



NOT:
UBC yatay dağılımı tüm katlar üzerindedir.
 $N_{TOP} = NST$
 $N_{BOT} = 0$

Şekil 11.5. UBC Yanal Kuvvet Dağılım Düzeni

11.8. Deprem Hız Spektrum kartları

11.8.1. Kontrol kart (I5, 5X, 2F10.0, 6A5)

Kolon	Değişken	Giriş
1-5	NPER	Peryot sayısı
6-10	NMD	Aynı yazılan modların sayısı.
11-20	SF	Hızlar için ölçü faktörü.
21-30	FI	Deprem derecesi ve yönü
31-40	SDAMP	Deprem tepkisinin miktarını azaltmak.
41-70	SHED	Cıktı ile yazılmış olan bilgilerden yararlanmak

11.8.2. Peryot kartları (2F10.0)

1-10	PA	Artırılan sayısal sıralamada girilen peryot.
11-20		Spectrum hız artımı.

11.9. Zaman Süre Kartları

11.9.1. Başlık format kartı (10A3, 10A4)

Kolon	Değişken	Giriş
1-30	SHED	Cıktı ile yazılmış olan bilgilerden yararlanmak.
31-40	SFMT	Zaman süresinin formatı.

11.9.2. Kontrol kartı (2I5, 3F10.0, 9X, A1, F10.0)

1-5	NPC	Hız artırılan kartların numarası.
6-10	NTIME	Örneğin değer numarası.
11-20	SF	Hızlandırmak için ölçü faktörü.
21-30	FI	Deprem girdisinin yönü ve derecesi.
31-40	DT	Örnek için süre artımı.
50	IHTYP	Zaman süre çeşidi.
	EQ U:	Zaman süre değişkeni.
	EQ E:	Zaman süre sabiti.
51-60	HDT	IHTYP eşit E için.

11.9.3. Azaltma kartı (I5, F10.0)

1-5 N Mod sayısı.
 6-15 DAMP Azaltma oranı

11.9.4. Sürat artımının data kartı

(i) Eğer IHTYP eşit U ise.

1-10 PA(1,1) Bir noktasındaki süre.
 11-20 Bir noktasındaki hız değeri.

(ii) Eğer IHTYP eşit E ise.

1-9 PA(2,1) 0*HDT süresindeki zaman değeri.
 10-18 PA(2,2) 1*HDT süresindeki zaman değeri.
 19-27 PA(2,3) 2*HDT süresindeki zaman değeri.

 64-72 PA(2,8) 7*HDT süresindeki zaman değeri.

11.10. Tanımlanan Kartları Yükleme Durumu (2I5, 8F5, 2A6)

Kolon	Değişken Giriş
1-5	M Yükleme durum sayısı.
6-10	IXM Mutlak yük durumunun kodu. EQ 1: İşaretlere önem vermek. Q 0: İşaretlere önem vermemek.
11-15	XM I düşey yük durumu için artırmak.
16-20	II düşey yük durumu için artırmak.
21-25	III düşey yük durumu için artırmak.
26-30	A düşey yük durumu için artırmak.
31-35	B düşey yük durumu için artırmak.
36-40	1 dinamik yük durumu için artırmak.
41-45	2 dinamik yük durumu için artırmak.
46-50	3 dinamik yük durumu için artırmak.
51-62	Yük durumu kimliğinin bilgisi.

11.11. Son Kart

Kolon Değişken Giriş
1-3 ISTOP Bitiş kelimesi.

12. SONUÇ ve ÖNERİLER

Bu çalışmada çerçeve ve perde duvarlı yapıların elastik, üç boyutlu, statik ve dinamik analizini yapan genel bir bilgisayar programı açıklanmıştır. Bağımsız çerçeve ve perde duvarları ile hayali edilebilen binalar için programın genel amaçlı üç boyutlu diğer yapısal analiz programları ile karşılaştırıldığında, çok ekonomik ve kullanımı da oldukça kolaydır.

Program lineer teori üzerine oturtulmuştur. $P-\Delta$ tesirleri ile malzemenin plastikliği gibi lineer olmayan davranışlar programda yer almamaktadır.

Eğer lineer olmayan etkiler göz önüne alınacaksa, adım adım analizi gereklidir. Bununla beraber bu durum hesaplarda daha fazla zaman harcanmasını gerektirir ve sadece sınırlı sayıda binalara uygulanabilir. Ayrıca, hem yapısal hemde yapısal olmayan elemanlar için doğrusal olmayan malzeme özelliklerini deneyel çalışmalarдан tam olarak elde etmek mümkün değildir.

TABS 80 bina analizi için özel amaçlı bir programdır. Bu program, TABS tipi binalara ait inşa sistemlerini analiz etmek için en verimli ve en etkili vasıtadır. Bununla birlikte, TABS 80 bütün bina analiz problemlerine çözüm getirmez. Aşağıdakiler programın bazı kısaltmalarıdır.

1. Eğer döşeme diyaframı deformasyonları önemli ise, bir TABS 80 analizinden elde edilen sonuçlar üzerinde düşünülmeliidir. Diyaframın düzlem dışında sonsuz derecede rıjît olduğu kabül edilmelidir.
2. TABS 80, biribirine yakın yerleştirilmiş kolonlara sahip yüksek yapılarda bulunan tüp şeklindeki davranışını incelemez. Bir başka deyişle, ana kolon eksenel uygunluk şartlarını sağlanamaz ve döşeme diyaframları düşey kesmeyi抑制mezler.

3. TABS 80 ile modellenen bütün çerçevelerin düşey düzlemde bulunmaları gerekir. Çerçeveler düzlem dışı rıjitle sahiptirler ve plandaki burulma rıjitleğini dikkate almaz.
4. Döşeme diyaframları bütün seviyelerde sürekli ve yatay olduğu ve herhangi bir seviyedeki diyaframın, o seviyedeki bütün kolonları birleştirildiği de kabul edilmiştir. Bu yüzden, asma kat seviyesi gibi bir seviyede bulunan birkaç kolon aksını bağlayan bir kısmi diyafram TABS 80 ile modellenemez.
5. Desteklinmiş çerçevelerde, diyagonal kuvvetler, kirişte büyük eksenel kuvvetleri doğurur. Bu eksenel kuvvetleri statikte elde etmek mümkündür fakat bunlar program tarafından çıktı olarak verilmez. Çünkü, rıjit diyafram kabulu, kirişlerdeki eksenel deformasyonların, sıfır olarak kabul edilmesine sebep olur. Gerçekte, bu kirişlerin eksenel deformasyonları yoktur ve bunların ihmali sonuçları etkileyebilir.

KAYNAKLAR

- Wilson, E.L . , Dovey, H.H. , Habibullah, A "Tree Dimensional Analysis of Building systems - TABS 80 "Üniversite of California, Berkeley, California, 1980.
- Clough, R. W. and penzien, J "Dynamics of Structures", McGraw Hill, New York, 1975.
- Celep, Z. ve Kumbasar, N., "Örneklerle Yapı Dinamiği ve Deprem Mendisliğine Giriş", İTÜ, İstanbul 1992.
- Bathe, K.J., Wilson, E.L., ve Peterson, F.E., "SAP IV-A Structural Analysis Program for Statik and Dynamic Response of Linear Systems", ODTÜ, yayını., 1973.
- Zienkiewicz, O.C., "The Finite Element Method ", McGraw Hill, London, 1977.
- Celep, Z. ve Kumbasar, N., "Deprem Mühendisliğine Giriş ve Depreme Dayanıklı Yapı Tasarımı", İTÜ, İstanbul 1993.
- Erdik, M. ve Yüzügüllü, Ö., "DepremMühendisliği Açısından Yapı Dinamiğine Giriş", Deprem Araştırma Enstitüsü, 1980.

EK - I

ÖRNEK PROGRAM ÇIKTILARI

ÖRNEK

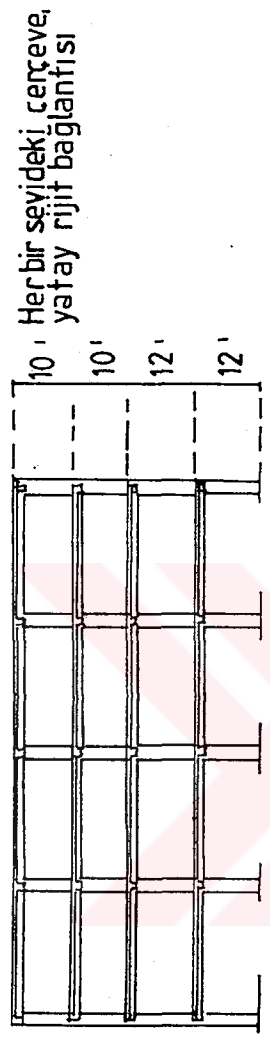
I. Bu dört katlı yapı, çerçeve ve perde duvarlardan meydana gelmiştir.

Yapı yanal statik sismik yük etkisi, ölü yük ve hareketli yükler için analiz edilecektir.

II. TABS 80'nin önemli seçimleri çalıştırıldı.

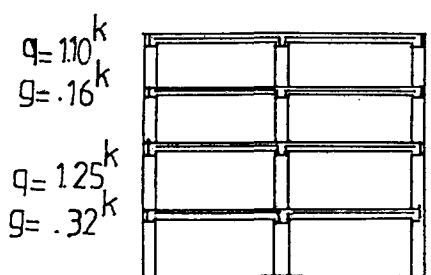
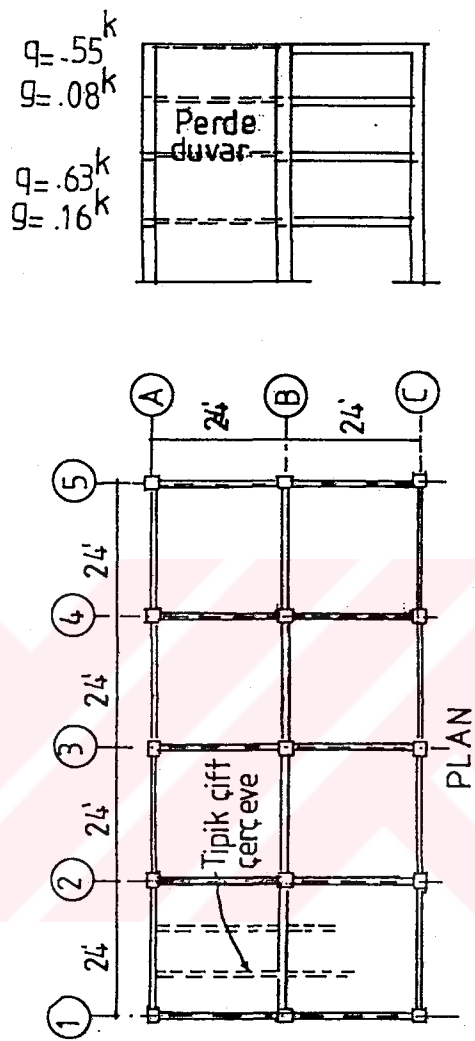
1. Kütle özellikleri,
 2. Kesit özellikleri,
 3. Kuvvet hesapları,
 4. UBC yanal yükler,
 5. Düşey ve yanal statik analiz,
 7. Gerilme çıktıları,
- otomotik olarak hesaplanacaktır.

III. Kiriş kolon okumalarıyla çerçeve perde duvarlarının modellendirildiği örnek uyumlar perde duvar olarak geniş kolonlar gibi modellendirildi.



$$q = \frac{24}{4} k$$

$$g = \frac{30}{8} k$$



$$q = \frac{110}{16} k$$

$$g = \frac{32}{32} k$$

$$q = \frac{13}{2} k$$

$$g = \frac{15}{4} k$$

NOT: Yapı 4 tipik ve 8 oplamı
cercevedir.

/TABS 80

/STATIK

4 4 8 4 2 8 0 0 0 0 1 2 0

12. 1 1000.

1 1.3.105E-2

746. 0. 48. 96.

2 1.3.105E-2

839. 0. 48. 96.

ROOF 110.0

0. 0. 4.8 4.8

0. 0. 4.8 4.8

ST-3 210.0

0. 0. 4.8 4.8

0. 0. 4.8 4.8

ST-2 210.0

0. 0. 4.8 4.8

0. 0. 4.8 4.8

ST-1 212.0

0. 0. 4.8 4.8

0. 0. 4.8 4.8

/FRAME A AND C

1 4 4 2 1 8 2

36.0 36.0 24.0 0.

0. -1.15 432000.

-2.15 432000.

-1.18 432000.

1 2

0. 13. 16. 13.

8. 2 2 2.

8. 3 2. 16. 2.

8. 4 15. 16. 15.

8. 4 16. 4.

8. 5 2. 26.

20. 6 2. 13. 28.

20. 4. 2. 28.

20. 7 2. 2.

20. 8 2. 15. 28.

20. 8 8. 28.

20. 4. 4.

1.3.105E-2

1.3.105E-2

1.3.105E-2

1.3.105E-2

1.3.105E-2

1.3.105E-2

1.3.105E-2

1.3.105E-2

1.3.105E-2

1.3.105E-2

1.3.105E-2

1.3.105E-2

1.3.105E-2

1.3.105E-2

1.3.105E-2

1.3.105E-2

/FRAM

E B

2 5 4

24.0 24.0

0. 0.

-1.15 432000.

-1.18 432000.

1

26.

2

16.

26.

2

8.

4.

16.

4.

30.

16.

30.

8.

16.

8.

3.

1.

3.

1.

3.

1.

3.

2.

0.

0.

2.

0.

0.

0.

0.

0.

0.

0.

0.

0.

0.

0.

0.

0.

0.

0.

0.

0.

0.

0.

0.

/FRA

M E

3 4

24.0

0.

-1.15 432000.

-1.18 432000.

1

2

1.

2.

1.

3.

1.

3.

1.

3.

1.

3.

1.

3.

1.

3.

1.

3.

1.

3.

1.

3.

1.

3.

1.

3.

1.

3.

1.

3.

1.

3.

1.

3.

1.

3.

1.

3.

1.

3.

1.

3.

1.

3.

1.

3.

1.

/FRA

M E

3 4

24.0

0.

-1.15 432000.

-1.18 432000.

1

2

1.

2.

1.

3.

1.

3.

1.

3.

1.

3.

1.

3.

1.

3.

1.

3.

1.

3.

1.

3.

1.

3.

1.

3.

1.

3.

1.

3.

1.

3.

1.

3.

1.

3.

1.

3.

1.

3.

1.

3.

1.

3.

1.

3.

1.

/FRA

M E

3 4

24.0

0.

-1.15 432000.

-1.18 432000.

1

2

1.

2.

1.

3.

1.

3.

1.

3.

1.

3.

1.

3.

1.

3.

1.

3.

1.

3.

1.

3.

1.

3.

1.

3.

1.

3.

1.

3.

1.

3.

1.

3.

1.

3.

1.

3.

1.

3.

1.

3.

1.

3.

1.

3.

1.

1	-55																		
2	2																		
3	.08																		
4	63																		
5	16																		
6	1	3																	
7	2	3																	
8	1	3																	
9	1	3																	
10	1	2	0																
11	3	4	0																
12	4	3	4																
13	4	3	4	1	4	0													
14	4	3	4	1	1	4													
15	4	3	4	1	1	4													
16	4	3	4	1	1	4													
17	4	3	4	1	1	4													
18	4	3	4	1	1	4													
19	4	3	4	1	1	4													
20	4	3	4	1	1	4													
21	4	3	4	1	1	4													
22	4	3	4	1	1	4													
23	4	3	4	1	1	4													
24	4	3	4	1	1	4													
25	4	3	4	1	1	4													
26	4	3	4	1	1	4													
27	4	3	4	1	1	4													
28	4	3	4	1	1	4													
29	4	3	4	1	1	4													
30	4	3	4	1	1	4													
31	4	3	4	1	1	4													
32	4	3	4	1	1	4													
33	4	3	4	1	1	4													
34	4	3	4	1	1	4													
35	4	3	4	1	1	4													
36	4	3	4	1	1	4													
37	4	3	4	1	1	4													
38	4	3	4	1	1	4													
39	4	3	4	1	1	4													
40	4	3	4	1	1	4													
41	4	3	4	1	1	4													
42	4	3	4	1	1	4													
43	4	3	4	1	1	4													
44	4	3	4	1	1	4													
45	4	3	4	1	1	4													
46	4	3	4	1	1	4													
47	4	3	4	1	1	4													
48	4	3	4	1	1	4													
49	4	3	4	1	1	4													
50	4	3	4	1	1	4													
51	4	3	4	1	1	4													
52	4	3	4	1	1	4													
53	4	3	4	1	1	4													
54	4	3	4	1	1	4													
55	4	3	4	1	1	4													
56	4	3	4	1	1	4													
57	4	3	4	1	1	4													
58	4	3	4	1	1	4													
59	4	3	4	1	1	4													
60	4	3	4	1	1	4													
61	4	3	4	1	1	4													
62	4	3	4	1	1	4													
63	4	3	4	1	1	4													
64	4	3	4	1	1	4													
65	4	3	4	1	1	4													
66	4	3	4	1	1	4													
67	4	3	4	1	1	4													
68	4	3	4	1	1	4													
69	4	3	4	1	1	4													
70	4	3	4	1	1	4													
71	4	3	4	1	1	4													
72	4	3	4	1	1	4													
73	4	3	4	1	1	4													
74	4	3	4	1	1	4													
75	4	3	4	1	1	4													
76	4	3	4	1	1	4													
77	4	3	4	1	1	4													
78	4	3	4	1	1	4													
79	4	3	4	1	1	4													
80	4	3	4	1	1	4													
81	4	3	4	1	1	4													
82	4	3	4	1	1	4													
83	4	3	4	1	1	4													
84	4	3	4	1	1	4													
85	4	3	4	1	1	4													
86	4	3	4	1	1	4													
87	4	3	4	1	1	4													
88	4	3	4	1	1	4													
89	4	3	4	1	1	4													
90	4	3	4	1	1	4													
91	4	3	4	1	1	4													
92	4	3	4	1	1	4													
93	4	3	4	1	1	4													
94	4	3	4	1	1	4													
95	4	3	4	1	1	4													
96	4	3	4	1	1	4													
97	4	3	4	1	1	4													
98	4	3	4	1	1	4													
99	4	3	4	1	1	4													
100	4	3	4	1	1	4													
101	4	3	4	1	1	4													
102	4	3	4	1	1	4													
103	4	3	4	1	1	4													
104	4	3	4	1	1	4													
105	4	3	4	1	1	4													
106	4	3	4	1	1	4													
107	4	3	4	1	1	4													
108	4	3	4	1	1	4													
109	4	3	4	1	1	4													
110	4	3	4	1	1	4													
111	4	3	4	1	1	4													
112	4	3	4	1	1	4													
113	4	3	4	1	1	4													
114	4	3	4	1	1	4													
115	4	3	4	1	1	4													
116	4	3	4	1	1	4													
117	4	3	4	1	1	4													
118	4	3	4	1	1	4													
119	4	3	4	1	1	4													
120	4	3	4	1	1	4													
121	4	3	4	1	1	4													
122	4	3	4	1	1	4													
123	4	3	4	1	1	4													
124	4	3	4	1	1	4													
125	4	3	4	1	1	4													
126	4	3	4	1	1	4													
127	4	3	4	1	1														

TOTAL NUMBER OF STORIES IN STRUCTURE----- 4
 NUMBER OF DIFFERENT FRAMES IN STRUCTURE---- 4
 TOTAL NUMBER OF FRAMES IN STRUCTURE----- 8
 TOTAL NUMBER OF STRUCTURAL LOAD CASES--- 4
 TYPE OF ANALYSIS----- 4
 NUMBER OF MODES CONSIDERED----- 2
 LATERAL STORY TRANSLATION CODE----- 8
 EXECUTION MODE----- 0
 FRAME JOINT RIGID ZONE MODIFICATION CODE--- 0
 FRAME JOINT DISPLACEMENT PRINT FLAG----- 0
 UBC LATERAL SEISMIC FORCE CODE----- 1
 NUMBER OF STORY MASS PATTERNS----- 2
 PLOT if =0 noplot if>=1 PLOTS----- 0

DIMENSIONS OF SEGMENT
 SEGMENT NUMBER 1
 SEGMENT MASS 839.00
 COORDINATES OF CENTER X .00 Y .00
 .00 .00
 .00 .00

CALCULATED STORY MASS PROPERTIES

STORY MASS	MASS	MASS MOMENT OF INERTIA	X-ORDINATE OF CENTER OF MASS	Y-ORDINATE OF CENTER OF MASS
0	0			
0	0			
0	0			
1	1			
2	2			

PAGE
 /TABS 80
 /STATIK

CONVERSION DATA FOR STRESSES

LENGTH CONVERSION FACTOR	12.000
FORCE CONVERSION FACTOR	1000.000

/TABS 80
 /STATIK

STRUCTURAL STORY DATA . . .

LEVEL	MASS	TYPE	HEIGHT	K-X	K-Y	K-ROTN
ROOF	23.168	1	10.00	.0000E+00	.0000E+00	.0000E+00
ST-3	26.056	2	10.00	.0000E+00	.0000E+00	.0000E+00
ST-2	26.056	2	10.00	.0000E+00	.0000E+00	.0000E+00
ST-1	26.056	2	12.00	.0000E+00	.0000E+00	.0000E+00

PAGE

STRUCTURAL MASS DATA . . .

LEVEL	MASS	MMI	XM	YM
ROOF	23.168	22241.1	.00	.00
ST-3	26.056	25013.7	.00	.00
ST-2	26.056	25013.7	.00	.00
ST-1	26.056	25013.7	.00	.00

PAGE

STRUCTURAL STORY DATA . . .

LEVEL	MASS	TYPE	HEIGHT	K-X	K-Y	K-ROTN
ROOF	23.168	1	10.00	.0000E+00	.0000E+00	.0000E+00
ST-3	26.056	2	10.00	.0000E+00	.0000E+00	.0000E+00
ST-2	26.056	2	10.00	.0000E+00	.0000E+00	.0000E+00
ST-1	26.056	2	12.00	.0000E+00	.0000E+00	.0000E+00

STRUCTURAL LATERAL LOAD CONDITION A . . .

LEVEL	F _X	F _Y	X	Y
ROOF	.00	.00	4.80	4.80
ST-3	.00	.00	4.80	4.80
ST-2	.00	.00	4.80	4.80
ST-1	.00	.00	4.80	4.80

CALCULATED STORY MASS PROPERTIES

STORY MASS	MASS	MASS MOMENT OF INERTIA	X-ORDINATE OF CENTER OF MASS	Y-ORDINATE OF CENTER OF MASS
0	0			
1	23.17			
2	22241.1			
3	.00			
4	.00			

/TABS 80
 /STATIK

STRUCTURAL LATERAL LOAD CONDITION B . . .

LEVEL	F _X	F _Y	X	Y
ROOF	.00	.00	4.80	4.80
ST-3	.00	.00	4.80	4.80
ST-2	.00	.00	4.80	4.80
ST-1	.00	.00	4.80	4.80

STORY MASS TYPE NUMBER	NUMBER OF MASS SEGMENTS	MASS SCALE FACTOR
1	2	.311E-01

/TABS 80

/STATIK

/FRAME A AND C

FRAME IDENTIFICATION NUMBER-----
NUMBER OF COLUMN LINES IN FRAME-----
NUMBER OF STORY LEVELS IN FRAME-----
NUMBER OF COLUMN/PANEL/DOOR PROPERTIES-----
NUMBER OF BEAM PROPERTIES-----
NUMBER OF BEAM SPAN LOADING PATTERNS-----
MAXIMUM POINT LOADS IN ANY SPAN LOADING-----
NUMBER OF PANEL ELEMENTS IN FRAME-----
NUMBER OF DIAGONAL ELEMENTS IN FRAME-----
FRAME PEN PLOT FLAG-----

BAY WIDTHS

36.00

36.00

24.00

SILL DEPTHS

.00

.00

.00

COLUMN SECTION PROPERTY DATA

ID	U	V	E	A	I	AV	W	T
- 1	.150	432000.0	.177E+01	.261E+00	1.47	1.33	1.33	
- 2	.150	432000.0	.253E+02	.135E+04	21.11	25.33	1.00	

BEAM SECTION PROPERTY DATA

ID	U	V	E	I	K	C	DB	DA	AV	T	1.00	1.25	1.00
- 1	.180	432000.0	.281E+00	4.00	.50	.50	.00	.00	1.25	1.00			

BEAM LOADING DATA . . . FIXED END FORCES

ID	NCON	ML	VL	MR	VR
1	2	.00	.00	.00	
2	2	.00	.00	.00	
3	2	.00	.00	.00	
4	2	.00	.00	.00	
5	2	.00	.00	.00	
6	2	.00	.00	.00	
7	2	.00	.00	.00	
8	2	.00	.00	.00	

BEAM LOADING DATA . . . UNIFORM AND COLUMN POINT LDS

ID	WW	FL	FR
1	.000	.00	.00
2	.000	.00	.00
3	.000	.00	.00

INPUT/GENERATED COLUMN LOCATIONS

LEVEL	1	2	3	4
ROOF	1	2	1	1
ST-3	1	2	1	1
ST-2	1	2	1	1
ST-1	1	2	1	1

INPUT/GENERATED BEAM LOCATIONS

LEVEL	1	2	3
ROOF	1	1	1
ST-3	1	1	1
ST-2	1	1	1
ST-1	1	1	1

PAGE

	ST-3	181.26	32.00	.00
ST-2	181.26	32.00	.00	
ST-1	190.45	32.00	.00	

INPUT/GENERATED BEAM LOADS FOR LOAD CONDITION I

LEVEL	1	2	3
ROOF	1	5	1
ST-3	3	7	3
ST-2	3	7	3
ST-1	3	7	3

/TABS 80
/STATIK

INPUT/GENERATED BEAM LOADS FOR LOAD CONDITION II

LEVEL	1	2	3
ROOF	2	6	2
ST-3	4	8	4
ST-2	4	8	4
ST-1	4	8	4

/TABS 80
/STATIK

INPUT/GENERATED BEAM LOADS FOR LOAD CONDITION III

LEVEL	1	2	3
ROOF	0	0	0
ST-3	0	0	0
ST-2	0	0	0
ST-1	0	0	0

/TABS 80
/STATIK

FRAME IDENTIFICATION NUMBER-----
NUMBER OF COLUMN LINES IN FRAME-----
NUMBER OF STORY LEVELS IN FRAME-----
NUMBER OF COLUMN/PANEL/DIAGONAL PROPERTIES--
NUMBER OF BEAM PROPERTIES-----
NUMBER OF BEAM SPAN LOADING PATTERNS-----
MAXIMUM POINT LOADS IN ANY SPAN LOADING-----
NUMBER OF PANEL ELEMENTS IN FRAME-----
NUMBER OF DIAGONAL ELEMENTS IN FRAME-----
FRAME PEN PLOT FLAG-----

PAGE	BAY WIDTHS	SILL DEPTHS
6	24.00	.00
	24.00	.00
	24.00	.00
	24.00	.00

COLUMN SECTION PROPERTY DATA

COLUMN ID	U	E	A	I	AV	W	T
- 1	.150	432000.0	.177E+01	.261E+00	1.47	1.33	1.33

BEAM SECTION PROPERTY DATA

BEAM ID	U	E	I	K	DA	DB	AV
- 1	.180	432000.0	.281E+00	4.00	.50	1.50	.00

BEAM LOADING DATA . . . FIXED END FORCES

BEAM ID	NCON	ML	VL	MR	VR
1	2	.00	.00	.00	.00
2	2	.00	.00	.00	.00
3	2	.00	.00	.00	.00
4	2	.00	.00	.00	.00

TOTAL VERTICAL LOAD APPLIED ON FRAME LEVEL-BY-LEVEL

LEVEL /-----VERTICAL LOAD CASE-----/
ID I II III
ROOF 165.26 16.00 .00
PAGE

BEAM LOADING DATA . . . UNIFORM AND COLUMN POINT LDS
ID MW FL FR
1 .000 .00 .00
2 .000 .00 .00

3 .000 .00
4 .000 .00

BEAM LOADING DATA . . . CONCENTRATED LOADS

ID	N	DIST	P
1	1	8.00	26.00
	2	16.00	26.00
2	1	8.00	4.00
	2	16.00	4.00
3	1	8.00	30.00
	2	16.00	30.00
4	1	8.00	8.00

/TABS 80
/STATIK

BEAM LOADING DATA . . . CONCENTRATED LOADS

ID	N	DIST	P
	2	16.00	8.00

INPUT/GENERATED COLUMN LOCATIONS

LEVEL	1	2	3	4	5
ROOF	1	1	1	1	1
ST-3	1	1	1	1	1
ST-2	1	1	1	1	1
ST-1	1	1	1	1	1

INPUT/GENERATED BEAM LOCATIONS

LEVEL	1	2	3	4
ROOF	1	1	1	1
ST-3	1	1	1	1
ST-2	1	1	1	1
ST-1	1	1	1	1

PAGE 8 INPUT/GENERATED BEAM LOADS FOR LOAD CONDITION III

PAGE 8 INPUT/GENERATED BEAM LOADS FOR LOAD CONDITION II

INPUT/GENERATED BEAM LOADS FOR LOAD CONDITION II

LEVEL	1	2	3	4
ROOF	1	1	1	1
ST-3	3	3	3	3
ST-2	3	3	3	3
ST-1	3	3	3	3

LEVEL	1	2	3	4
ROOF	2	2	2	2
ST-3	4	4	4	4
ST-2	4	4	4	4
ST-1	4	4	4	4

LEVEL	1	2	3	4
ROOF	0	0	0	0
ST-3	0	0	0	0
ST-2	0	0	0	0
ST-1	0	0	0	0

/FRAMES 1 AND 5

INPUT/GENERATED BEAM LOADS FOR LOAD CONDITION I

FRAME IDENTIFICATION NUMBER-----
NUMBER OF COLUMN LINES IN FRAME-----
NUMBER OF STORY LEVELS IN FRAME-----
NUMBER OF COLUMN/PANEL/DIAGONAL PROPERTIES-----

3 2 4 2

PAGE 1

PAGE 1

PAGE 1

NUMBER OF BEAM PROPERTIES-----
1
NUMBER OF BEAM SPAN LOADING PATTERNS-----
4
MAXIMUM POINT LOADS IN ANY SPAN LOADING-----
0
NUMBER OF PANEL ELEMENTS IN FRAME-----
0
NUMBER OF DIAGONAL ELEMENTS IN FRAME-----
0
FRAME PEN PLOT FLAG-----
0

/TABS 80
/STATIK

INPUT/GENERATED BEAM LOCATIONS

LEVEL	1
ROOF	1
ST-3	1
ST-2	1
ST-1	1

BAY WIDTHS

36.00

SILL DEPTHS

.00

COLUMN SECTION PROPERTY DATA

ID	U	E	A	I	AV	W	T	INPUT/GENERATED BEAM LOADS FOR LOAD CONDITION I
- 1	.150	432000.0	.177E+01	.261E+00	1.47	1.33	1.33	
- 2	.150	432000.0	.253E+02	.135E+04	21.11	25.33	1.00	

BEAM SECTION PROPERTY DATA

ID	U	E	I	K	C	DB	DA	AV	W	T	INPUT/GENERATED BEAM LOADS FOR LOAD CONDITION II
- 1	.180	432000.0	.281E+00	4 .00	.50	1.50	.00	1.25	1.00	1.00	

BEAM LOADING DATA . . . FIXED END FORCES

ID	NCON	ML	VL	MR	VR	INPUT/GENERATED BEAM LOADS FOR LOAD CONDITION III
1	0	.00	.00	.00	.00	
2	0	.00	.00	.00	.00	
3	0	.00	.00	.00	.00	
4	0	.00	.00	.00	.00	

BEAM LOADING DATA . . . UNIFORM AND COLUMN POINT LDS

ID	WU	FL	FR	INPUT/GENERATED BEAM LOADS FOR LOAD CONDITION III
1	.550	.00	.00	
2	.980	.00	.00	
3	.630	.00	.00	
4	.160	.00	.00	

INPUT/GENERATED COLUMN LOCATIONS

LEVEL	1	2
ROOF	1	2
ST-3	1	2
ST-2	1	2
ST-1	1	2

TOTAL VERTICAL LOAD APPLIED ON FRAME LEVEL-BY-LEVEL

LEVEL / ID	-----/ I	-----/ II	-----/ III
ROOF	72.66	3.95	.00

ST-3 76.83 7.89 .00
 ST-2 76.83 7.89 .00
 ST-1 84.96 7.89 .00

/TABS 80
 /STATIK

/FRAME 2,3 AND 4

FRAME IDENTIFICATION NUMBER-----
 NUMBER OF COLUMN LINES IN FRAME-----
 NUMBER OF STORY LEVELS IN FRAME-----
 NUMBER OF COLUMN/PANEL/DIAGONAL PROPERTIES-----
 NUMBER OF BEAM PROPERTIES-----
 NUMBER OF BEAM SPAN LOADING PATTERNS-----
 MAXIMUM POINT LOADS IN ANY SPAN LOADING-----
 NUMBER OF PANEL ELEMENTS IN FRAME-----
 NUMBER OF DIAGONAL ELEMENTS IN FRAME-----
 FRAME PEN PLOT FLAG-----

BAY WIDTHS
 24.00 24.00

SILL DEPTHS
 .00 .00

COLUMN SECTION PROPERTY DATA

ID	U	E	A	I	\bar{A}	\bar{W}	T	\bar{V}
- 1	.150	432000.0	.177E+01	.261E+00	1.47	1.33	1.33	

BEAM SECTION PROPERTY DATA

ID	U	E	I	K	C	DB	DA	\bar{V}
- 1	.180	432000.0	.281E+00	4.00	.50	1.50	.00	1.25

BEAM LOADING DATA . . . FIXED END FORCES

ID	NCON	ML	VL	MR	VR
1	0	.00	.00	.00	.00
2	0	.00	.00	.00	.00
3	0	.00	.00	.00	.00
4	0	.00	.00	.00	.00

BEAM LOADING DATA . . . UNIFORM AND COLUMN POINT LDS

ID	WW	FL	FR
1	1.100	.00	.00
2	.160	.00	.00

PAGE 12 INPUT/GENERATED COLUMN LOCATIONS

LEVEL	1	2	3
ROOF	1	1	1
ST-3	1	1	1
ST-2	1	1	1
ST-1	1	1	1

PAGE

/TABS 80
 /STATIK

PAGE 12 INPUT/GENERATED BEAM LOCATIONS

LEVEL	1	2
ROOF	1	1
ST-3	1	1
ST-2	1	1
ST-1	1	1

PAGE 12 INPUT/GENERATED BEAM LOADS FOR LOAD CONDITION I

LEVEL	1	2
ROOF	1	1
ST-3	1	1
ST-2	1	1
ST-1	1	1

PAGE 12 INPUT/GENERATED BEAM LOADS FOR LOAD CONDITION II

LEVEL	1	2
ROOF	1	1
ST-3	3	3
ST-2	3	3
ST-1	3	3

PAGE 12 INPUT/GENERATED BEAM LOADS FOR LOAD CONDITION III

LEVEL	1	2	3	4
LEVEL	DIRN			
ROOF	0	0		
ST-3	0	0		
ST-2	0	0		
ST-1	0	0		
ROOF	X	.133350	.069313	.032135
ROOF	Y	.071684	.136125	.003371
ROOF	Z	.000865	.000596	.000361
ST-3	X	-.095745	.049801	.023224
ST-3	Y	.051430	.097592	.003810
ST-3	Z	.000620	.000427	.000178
ST-2	X	-.057538	.029921	.014051
ST-2	Y	.030344	.058486	.001657
ST-2	Z	.000371	.000256	.0002081
ST-1	X	-.024176	.012579	.005962
ST-1	Y	.012933	.024496	.000678
ST-1	Z	.000156	.000107	.0000869

MODAL PARTICIPATION FACTORS			
MODE NUMBER	TIME PERIOD	P-FACTOR NUMBER	P-FACTOR DIRECTION
1	.2375	1	X
2	.1849		-7.7462
3	.1225	2	Y
4	.0609		4.14154
5	.0473	3	ROTN
6	.0315		47.92244
7	.0312		
8	.0245		

/TABS 80
/STATIK

MODAL PARTICIPATION FACTORS

MODE NUMBER	P-FACTOR DIRECTION	P-FACTOR VALUE
2	X Y	4.01082 7.85876
	ROTN	-33.02811
3	X Y	1.87107 .22605
	ROTN	268.90520
4	X Y	3.83213 -2.03278
	ROTN	-23.91859
5	X Y	-1.96422 -3.91945
	ROTN	16.08284
6	X Y	1.39257 -.72483
	ROTN	-6.422703
7	X Y	.89048 .12077
	ROTN	134.30500
8	X Y	-.70372 -1.40600
	ROTN	5.71819

/TABS 80
/STATIK
PAGE

LOAD CONDITION B (Y-DIRECTION)

BOTTOM LEVEL OF TRIANGULAR DISTRIBUTION	TOP LEVEL OF TRIANGULAR DISTRIBUTION	PERIOD OF PREDOMINANT Y STRUCTURAL MODE	UBC STRUCTURAL SYSTEM FACTOR
4	0	1.185	1.330

/TABS 80
/STATIK

UNIFORM BUILDING CODE SEISMIC LOADS FOR DIRECTION X

V = Z SICK W	SC=0.14 MAX
Z = 1.0000	
S = 1.5000	
I = 1.0000	
C = .1368	
K = 1.3300	
W = 994.1036	
V = .1862W	
F = 185.1021	
FT= .0000	

UNIFORM BUILDING CODE SEISMIC LOADS FOR DIRECTION Y

V = Z SICK W	SC=0.14 MAX
Z = 1.0000	
S = 1.5000	
I = 1.0000	
C = .1550	
K = 1.3300	
W = 994.1036	
V = .1862W	
F = 185.1021	
FT= .0000	

LOAD CONDITION A (X-DIRECTION)

STATIC SEISMIC LOAD CALCULATION DATA	/
UBC1976 (SEAOC CODE)	/
UBC ZONE ACTOR (Z)	1.00
PREDOMINANT SOIL PERIOD (TS)	.00
UBC IMPORTANCE FACTOR (I)	1.00
GRAVITATIONAL ACCELERATION	9.81

LOAD CONDITION A (X-DIRECTION)

BOTTOM LEVEL of TRIANGULAR DISTRIBUTION	TOP Level of TRIANGULAR DISTRIBUTION	Period of PREDOMINANT X STRUCTURAL MODE	UBC STRUCTURAL SYSTEM FACTOR
4	0	.238	1.330

/TABS 80
/STATIK
PAGE

STRUCTURAL LATERAL LOAD CONDITIONS
AS ADJUSTED BY UBC SEISMIC REQUIREMENTS

STRUCTURAL LATERAL LOAD CONDITION A (X-DIRECTION).	
LEVEL	FX
ROOF	.00
ST-3	.00
ST-2	.00
ST-1	.00

STRUCTURAL LATERAL LOAD CONDITION B (Y-DIRECTION).	
LEVEL	FY
ROOF	66.89
ST-3	57.32
ST-2	39.40
ST-1	21.49

/TABS 80
/STATIK

STATIC LOAD CONDITION DISPLACEMENTS

LEVEL	DIRN	LOAD			CONDITIONS		COLUMN	FORCES AT LEVEL ST-1 IN FRAME 4		
		I	II	III	A	B		/DEAD LOAD	/LIVE LOAD	/X-SEISMIC
ROOF	X	.00008	.00001	.00000	.00376	-	ROOF	-.000514	-.000083	-.000309
ROOF	Y	-.00053	-.00008	.00000	-.00068	-	ST-3	-.000326	-.000053	.002205
ROOF	ROTN	.00000	.00000	.00000	-.00001	.00299	ST-2	-.000163	-.000027	.001335
ST-3	X	.00005	.00001	.00000	.00272	-	ST-1	-.000051	-.000008	.0000075
ST-3	Y	-.00034	-.00005	.00000	-.00049	.00215				.000568
ST-3	ROTN	.00000	.00000	.00000	-.00001	.00000				
ST-2	X	.00003	.00000	.00000	.00165	-				
ST-2	Y	-.00017	-.00003	.00000	-.00030	.00130				
ST-2	ROTN	.00000	.00000	.00000	-.00001	.00000				
ST-1	X	.00001	.00000	.00000	.00070	-				
ST-1	Y	-.00005	-.00001	.00000	-.00013	.00055				
ST-1	ROTN	.00000	.00000	.00000	.00000	.00000				

/TABS 80
/STATIK

LOAD CASE DEFINITION DATA

NO	IC	I	II	III	A	B	DYN-1	DYN-2	DYN-3	LOAD CASE
1	0	1.00	.00	.00	.00	.00	.00	.00	.00	/DEAD LOAD
2	0	.00	1.00	.00	.00	.00	.00	.00	.00	/LIVE LOAD
3	0	.00	.00	1.00	.00	.00	.00	.00	.00	/X-SEISMIC
4	0	.00	.00	.00	1.00	.00	.00	.00	.00	/Y-SEISMIC

FOR DYNAMICS BY THE RESPONSE SPECTRUM METHOD

DYNAMIC 1	SRSS MODAL COMBINATION
DYNAMIC 2	ABS MODAL COMBINATION
DYNAMIC 3	CQC MODAL COMBINATION

FOR DYNAMICS BY THE TIME HISTORY METHOD

DYNAMIC 1	NOT USED
DYNAMIC 2	NOT USED
DYNAMIC 3	TIME HISTORY MODAL ANALYSIS

PAGE 20 /TABS 80 /STATIK

PAGE 21 /TABS 80 /STATIK

PAGE

LATERAL FRAME DISPLACEMENTS IN FRAME 4	/DEAD LOAD	/LIVE LOAD	/X-SEISMIC	/Y-SEISMIC
LEVEL	ROOF	-.000514	-.000083	-.000309
	ST-3	-.000326	-.000053	.002205
	ST-2	-.000163	-.000027	.001335
	ST-1	-.000051	-.000008	.000568

LATERAL FRAME DISPLACEMENTS IN FRAME 4	/DEAD LOAD	/LIVE LOAD	/X-SEISMIC	/Y-SEISMIC
LEVEL	ROOF	-.000514	-.000083	-.000309
	ST-3	-.000326	-.000053	.002205
	ST-2	-.000163	-.000027	.001335
	ST-1	-.000051	-.000008	.000568

LATERAL FRAME DISPLACEMENTS IN FRAME 4	/DEAD LOAD	/LIVE LOAD	/X-SEISMIC	/Y-SEISMIC
LEVEL	ROOF	-.000514	-.000083	-.000309
	ST-3	-.000326	-.000053	.002205
	ST-2	-.000163	-.000027	.001335
	ST-1	-.000051	-.000008	.000568

2 /LIVE LOAD -13.26 10.25 8.83 -3.76 -.4.49
 2 /X-SEISMIC .34 .37 .01 -.03 .03
 2 /Y-SEISMIC 1.49 1.61 -.06 .14 -.14

PAGE

/TABS 80
 /STATIK

STORY SHEAR /-----/ LOAD CONDITIONS /-----/

I II III A B

.03 -.01 .00 -.14 .63

STORY SHEAR /-----/ LOAD CONDITIONS /-----/

I II III A B

.13 -.02 .00 -.19 .82

STORY SHEAR /-----/ LOAD CONDITIONS /-----/

I II III A B

.13 -.02 .00 -.19 .82

STORY SHEAR /-----/ LOAD CONDITIONS /-----/

I II III A B

.13 -.02 .00 -.19 .82

STORY SHEAR /-----/ LOAD CONDITIONS /-----/

I II III A B

.13 -.02 .00 -.19 .82

STORY SHEAR /-----/ LOAD CONDITIONS /-----/

I II III A B

.13 -.02 .00 -.19 .82

STORY SHEAR /-----/ LOAD CONDITIONS /-----/

I II III A B

.13 -.02 .00 -.19 .82

/TABS 80
/STATIK

NO	IDENTIFICATION	MOMENT	MOMENT	FORCE
1	/DEAD LOAD	36.86	42.29	-18.54
1	/LIVE LOAD	6.35	5.27	-1.37
1	/X-SEISMIC	.25	.31	-.03
1	/Y-SEISMIC	-1.10	-1.35	.14
2	/DEAD LOAD	.54	.57	-35.41
2	/LIVE LOAD	.09	.09	-.3.12
2	/X-SEISMIC	.48	.56	-.02
2	/Y-SEISMIC	-2.12	-2.44	.00
3	/DEAD LOAD	-36.26	-41.66	-18.47
3	/LIVE LOAD	-6.25	-5.17	-1.98
3	/X-SEISMIC	.25	.31	-.03
3	/Y-SEISMIC	-1.10	-1.35	-.14

FORCES AT LEVEL ROOF IN FRAME 3

BEAM	LOAD	LEFT	RIGHT	SPAN	RIGHT	RIGHT	RIGHT	RIGHT
NO	IDENTIFICATION	MOMENT	MOMENT	MOMENT	SHEAR	BEAM	LOAD	BEAM
1	/DEAD LOAD	-41.04	54.50	37.48	-14.42			
1	/LIVE LOAD	-5.46	6.25	4.13	-15.61			
1	/X-SEISMIC	-.39	-.35	-.02	-1.78			
1	/Y-SEISMIC	1.69	1.53	.08	-1.85			
2	/DEAD LOAD	-55.23	40.23	37.56	-15.68	-14.36		
2	/LIVE LOAD	-6.36	5.33	4.44	-1.86	-1.77		
2	/X-SEISMIC	-.35	-.39	.02	-.03	-.03		
2	/Y-SEISMIC	1.53	1.69	-.08	-.14	-.14		

STORY SHEAR /-----/ LOAD CONDITIONS--/-----/

LEVEL	LOAD	II	III	A	B
ROOF	- .28	- .04	.00	-.25	1.11

FRAME NO. = 2

/TABS 80
/STATIK

LATERAL FRAME DISPLACEMENTS IN FRAME 2

LEVEL	/DEAD LOAD	/LIVE LOAD	/X-SEISMIC	/Y-SEISMIC	COLUMN	FORCES AT LEVEL ST-2 IN FRAME 2	COLUMN	FORCES AT LEVEL ST-2 IN FRAME 2	PAGE
ROOF	-.000542	-.000087	-.000966	.002911	NO	TOP	NO	TOP	3
ST-3	-.000344	-.000056	-.000697	.002999	LOAD	MOMENT	LOAD	MOMENT	
ST-2	-.000172	-.000028	-.000422	.001271					
ST-1	-.000053	-.000009	-.000180	.000541					

STORY SHEAR /-----/ LOAD CONDITIONS--/-----/

PAGE	32	STORY SHEAR	/-----/ LOAD CONDITIONS--/-----/	STORY SHEAR	/-----/ LOAD CONDITIONS--/-----/
		I	II	I	II
			- .03	-.01	.00

/TABS 80
/STATIK

NO	IDENTIFICATION	LOAD	TOP	AXIAL FORCE
1	/DEAD LOAD	36.77	29.86	-60.19

STORY SHEAR /-----/ LOAD CONDITIONS--/-----/

PAGE	3	STORY SHEAR	/-----/ LOAD CONDITIONS--/-----/	STORY SHEAR	/-----/ LOAD CONDITIONS--/-----/
		I	II	I	II
			- .20	.00	

STORY SHEAR /-----/ LOAD CONDITIONS--/-----/

PAGE	3	STORY SHEAR	/-----/ LOAD CONDITIONS--/-----/	STORY SHEAR	/-----/ LOAD CONDITIONS--/-----/
		A	B	A	B

/LIVE LOAD	7.85	.622	-9.97	-1.66
/X-SEISMIC	.35	.23	-.16	-.07
/Y-SEISMIC	-1.05	-.68	.49	.20
/DEAD LOAD				
/LIVE LOAD	.34	.20	-111.91	-.06
/X-SEISMIC	.06	.03	-19.56	-.01
/Y-SEISMIC	.63	.48	.00	-.13
/DEAD LOAD				
/LIVE LOAD	-1.89	-1.43	.00	.39
/X-SEISMIC				
/Y-SEISMIC				
/DEAD LOAD				
/LIVE LOAD	-36.32	-29.72	-59.97	7.77
/X-SEISMIC	-7.78	-.620	-9.94	1.64
/Y-SEISMIC				
/DEAD LOAD				
/LIVE LOAD	-3	-3	-3	-3
/X-SEISMIC				
/Y-SEISMIC				

BEAM NO	LOAD IDENTIFICATION	LEFT MOMENT	RIGHT MOMENT	SPAN MOMENT	LEFT SHEAR	RIGHT SHEAR
1	/DEAD LOAD	-53.45	57.10	39.49	-16.56	-16.8
1	/LIVE LOAD	-11.11	12.68	8.67	-3.56	-3.7
1	/X-SEISMIC	-.70	-.67	-.02	-.06	.0
1	/Y-SEISMIC	2.12	2.01	.05	.18	-.1
2	/DEAD LOAD	-58.01	52.49	39.53	-16.96	-16.4
2	/LIVE LOAD	-12.82	10.95	8.68	-3.71	-3.5
2	/X-SEISMIC	-.67	-.67	.02	-.06	.0
2	/Y-SEISMIC	2.01	2.12	-.05	.18	-.1

STORY	SHEAR	LOAD	CONDITIONS	A	B
I		II	III		
- .17	- .03	.00		-.28	.85

LULU/TIN FORCES AT LEVEL ROOF IN FRAME 2

/TABS 80		/STATIK		FORCES AT LEVEL ST-3 IN FRAME 2			
COLUMN		LOAD	IDENTIFICATION	BOTTOM	TOP	AXIAL	SHEAR
NO		/DEAD LOAD	/LIVE LOAD	MOMENT	MOMENT	FORCE	FORCE
1	1	6.36	27.69	6.26	24.63	-39.42	-6.15
1	1	.35	-1.06	.28	-.83	-5.98	-1.48
1	1					-.11	-.07
						.32	.22
2	2	.42		.29		-73.57	-.08
						-11.75	-.01
2	2	.07		.05		.53	-.13
						.00	
2	2	.62		.62		-1.59	-.41

	DEAD LOAD	LIVE LOAD	X-SEISMIC	Y-SEISMIC	W-W
3	-27.19	-24.37	-39.46	-39.46	.00
3	-6.28	-6.22	-5.95	-5.95	1.47
3	.35	.28	.11	.11	-.07
3	-1.06	-1.83	-.32	-.32	-.22

BEAM FORCES AT LEVEL SI-3 IN FRAME 2

BEAM NO	LOAD IDENTIFICATION	LEFT MOMENT	RIGHT MOMENT	SPAN MOMENT	LEFT SHEAR	RIGHT SHEAR
1	/DEAD LOAD	-53.45	57.10	39.49	-16.56	-16.8
1	/LIVE LOAD	-11.11	12.68	8.67	-3.56	-3.7
1	/X-SEISMIC	-.70	-.67	-.02	-.06	.0
1	/Y-SEISMIC	2.12	2.01	.05	.18	-.1
2	/DEAD LOAD	-58.01	52.49	39.53	-16.96	-16.4
2	/LIVE LOAD	-12.82	10.95	8.68	-3.71	-3.5
2	/X-SEISMIC	-.67	-.67	.02	-.06	.0
2	/Y-SEISMIC	2.01	2.12	-.05	.18	-.1

STORY	SHEAR	LOAD	CONDITIONS	A	B
I		II	III		
- .17	- .03	.00		-.28	.85

COLUMNS FORCES AT LEVEL ROOF IN FRAME 2

NU	IDENTIFICATION	MOMENT	FORCE		MOMENT	FORCE	
			/DEAD LOAD	/LIVE LOAD		/X-SEISMIC	/Y-SEISMIC
1	/DEAD LOAD	36.87	42.30	-18.54	-9.31	-1.37	-0.9
1	/LIVE LOAD	6.35	5.27	-1.99	-0.5	-0.05	-0.28
1	/X-SEISMIC	.35	.44	-	-	-	-
1	/Y-SEISMIC	-1.07	-1.32	.14	.14	.14	.14
2	/DEAD LOAD	.55	.59	-35.41	-1.13	-	-
2	/LIVE LOAD	.09	.09	-3.92	-.02	-	-
2	/X-SEISMIC	.68	.79	.00	-.17	-	-
2	/Y-SEISMIC	-2.07	-2.38	.00	.52	.52	.52
3	/DEAD LOAD	-36.25	-41.65	-18.47	9.17	-	-
3	/LIVE LOAD	-6.25	-5.17	-1.98	1.34	-	-
3	/X-SEISMIC	.35	.44	.05	-.09	-	-
3	/Y-SEISMIC	-1.07	-1.32	-.14	.28	.28	.28

NU	IDENTIFICATION	MOMENT	FORCE		FORCE	
			DEAD LOAD	LIVE LOAD	DEAD LOAD	LIVE LOAD
1	/DEAD LOAD	36.87	42.30	-18.54	-9.31	-1.37
1	/LIVE LOAD	6.35	5.27	-1.99	-.09	-.09
1	/X-SEISMIC	.35	.44	-.05	.14	.28
1	/Y-SEISMIC	-1.07	-1.32	.14		
2	/DEAD LOAD	.55	.59	-35.41	-.13	
2	/LIVE LOAD	.09	.09	-3.92	-.02	
2	/X-SEISMIC	.68	.79	.00	-.17	
2	/Y-SEISMIC	-2.07	-2.38	.00	.52	
3	/DEAD LOAD	-36.25	-41.65	-18.47	9.17	
3	/LIVE LOAD	-6.25	-5.17	-1.98	1.34	
3	/X-SEISMIC	.35	.44	.05	-.09	
3	/Y-SEISMIC	-1.07	-1.32	-.14	.28	

PAGE 3

PAGE 3

LOAD		RIGHT		BEAM		FORCES AT LEVEL ST-1		IN FRAME 5	
IDENTIFICATION	LEFT	SPAN	RIGHT	LEFT	SHEAR	RIGHT	MOMENT	RIGHT	SPAN
/DEAD LOAD	MOMENT	54.49	MOMENT	37.48	-14.43	-15.61	BEAM	LOAD	MOMENT
/LIVE LOAD	-41.05	54.49	6.24	4.43	-1.78	-1.85	NO	IDENTIFICATION	-23.57
/X-SEISMIC	-5.46	-5.46	-.55	-.03	-.05	.05	1	/DEAD LOAD	36.07
/Y-SEISMIC	1.65	1.65	1.49	.08	.14	-.14	1	/LIVE LOAD	36.07
/DEAD LOAD	-55.24	40.22	37.56	-15.68	-14.36	-1.77	1	/X-SEISMIC	6.76
/LIVE LOAD	-6.36	5.32	4.44	-1.86	-.05	.05	1	/Y-SEISMIC	4.41
/X-SEISMIC	1.49	1.49	1.55	.03	.05	.05	2.27		-.01
/Y-SEISMIC	1.49	1.49	1.55	.03	.05	.05			.05

STATIK

PAGE 37 COLUMN LOAD BOTTOM TOP AXIAL SHEAR
TABS 80
STAB 80

/TABS 80 PAGE 38

LABS 80

/STATIK

COLUMN FORCES AT LEVEL ST-3 IN FRAME 5

COLUMN NO	LOAD IDENTIFICATION	BOTTOM MOMENT	TOP MOMENT	AXIAL FORCE	RIGHT MOMENT	LEFT MOMENT	SPAN MOMENT	RIGHT SHEAR
1	/DEAD LOAD	15.36	13.59	-24.59	-22.24	33.78	21.34	-8.28
1	/LIVE LOAD	3.07	3.03	-2.94	-2.46	3.42	2.21	-.95
1	/X-SEISMIC	.06	.05	-.02	-.11	-.12	.01	-.01
1	/Y-SEISMIC	-1.59	-1.26	.58	2.97	3.30	-.16	-.28
2	/DEAD LOAD	200.64	-242.45	-125.12	4.92			
2	/LIVE LOAD	28.06	-36.16	-8.90	.95			
2	/X-SEISMIC	33.16	-13.73	.02	-2.29			
2	/Y-SEISMIC	-893.28	384.77	-.58	59.82			

BEAM FORCES AT LEVEL ST-3 IN FRAME 5

BEAM NO	LOAD IDENTIFICATION	LEFT MOMENT	RIGHT MOMENT	SPAN MOMENT	RIGHT SHEAR	LEFT SHEAR	PAGE
1	/DEAD LOAD	-29.14	34.99	22.90	-9.43	-9.95	42
1	/LIVE LOAD	-5.25	6.65	4.34	-1.75	-1.87	
1	/X-SEISMIC	-.13	-.13	.00	-.01	-.01	
1	/Y-SEISMIC	3.45	3.48	-.01	.31	-.31	
STORY SHEAR	/						
	1						
	II						
	III						
	I						
	1.51	.24	.00	-2.30	60.16		

/TABS 80
/STATIK

COLUMN FORCES AT LEVEL ROOF IN FRAME 5

COLUMN NO	LOAD IDENTIFICATION	TOP MOMENT	AXIAL FORCE	SHEAR FORCE	RIGHT FORCE
1	/DEAD LOAD	20.35	-11.66	1.45	-50.81
1	/LIVE LOAD	3.00	2.42	.71	-.37
1	/X-SEISMIC	.07	.09	-.160	-.42
1	/Y-SEISMIC	-1.89	-2.40	-.49	-.09
2	/DEAD LOAD	85.19	-144.34	2	.20
2	/LIVE LOAD	6.52	-14.39	2	.95
2	/X-SEISMIC	10.58	-1.37	2	.82.11
2	/Y-SEISMIC	-302.38	39.57	2	

BEAM FORCES AT LEVEL ROOF IN FRAME 5

BEAM	LOAD	LEFT	RIGHT	SPAN	RIGHT

PAGE 43

PAGE 42

FORCES AT LEVEL ST-1 IN FRAME 1

COLUMN NO	LOAD IDENTIFICATION	TOP MOMENT	AXIAL FORCE	SHEAR FORCE
1	/DEAD LOAD	1	1	-1.97
1	/LIVE LOAD	1	2.45	-6.87
1	/X-SEISMIC	1	.22	-.42
1	/Y-SEISMIC	1	.95	.20
2	/DEAD LOAD	2	488.63	-509.80
2	/LIVE LOAD	2	81.33	-85.33
2	/X-SEISMIC	2	1102.74	-721.31
2	/Y-SEISMIC	2	-2503.59	1641.49

FORCES AT LEVEL ST-1 IN FRAME 1

BEAM	LOAD	LEFT	RIGHT	SPAN	RIGHT

NO IDENTIFICATION
1 /DEAD LOAD
1 /LIVE LOAD
1 /X-SEISMIC
1 /Y-SEISMIC

MOMENT -26.87
MOMENT -5.02
MOMENT -.90
MOMENT 2.05

MOMENT 36.04
MOMENT 6.75
MOMENT -.86
MOMENT 1.96

MOMENT 2.3/.5/
MOMENT 4.41
MOMENT -.02
MOMENT .05

MOMENT -.18
MOMENT .05
MOMENT .05
MOMENT .18

SHEAR -9.2/
SHEAR -1.74
SHEAR -.08
SHEAR -.18

STORY SHEAR /-----
LOAD I .05
II .01
III .00

CONDITIONS---
A -.36,.41
B 82.30

/TABS 80
/STATIK

COLUMN FORCES AT LEVEL ST-2 IN FRAME 1

COLUMN NO	IDENTIFICATION	LOAD	RIGHT MOMENT	LEFT SPAN	RIGHT SPAN
1	/DEAD LOAD		-23.02	-9.41	-9.44
1	/LIVE LOAD		4.29	-1.76	-1.75
1	/X-SEISMIC		.00	-.11	-.12
1	/Y-SEISMIC		2.76	-.01	-.01

BEAM NO	IDENTIFICATION	LOAD	RIGHT MOMENT	LEFT SPAN	RIGHT SPAN
1	/DEAD LOAD		-28.80	35.11	-22.11
1	/LIVE LOAD		6.55	-5.44	4.34
1	/X-SEISMIC		-.21	-1.21	-1.38
1	/Y-SEISMIC		2.74	2.76	3.15

STORY SHEAR /-----
LOAD I .21
II .03
III .00

CONDITIONS---
A -.31,.90
B 72.33

COLUMN NO	IDENTIFICATION	LOAD	RIGHT MOMENT	LEFT SPAN	RIGHT SPAN
1	/DEAD LOAD		-31.90	-.31	-.31
1	/LIVE LOAD		72.33	72.33	72.33
1	/X-SEISMIC				
1	/Y-SEISMIC				

COLUMN NO	IDENTIFICATION	LOAD	RIGHT MOMENT	LEFT SPAN	RIGHT SPAN
1	/DEAD LOAD				
1	/LIVE LOAD				
1	/X-SEISMIC				
1	/Y-SEISMIC				

STORY SHEAR /-----
LOAD I .21
II .03
III .00

CONDITIONS---
A -.31,.90
B 72.33

COLUMN FORCES AT LEVEL ST-3 IN FRAME 1

COLUMN NO	IDENTIFICATION	LOAD	RIGHT MOMENT	LEFT SPAN	RIGHT SPAN
1	/DEAD LOAD				
1	/LIVE LOAD				
1	/X-SEISMIC				
1	/Y-SEISMIC				

COLUMN FORCES AT LEVEL ST-3 IN FRAME 1

PAGE 44 BEAM FORCES AT LEVEL ST-3 IN FRAME 1

BEAM NO	IDENTIFICATION	LOAD	RIGHT MOMENT	LEFT SPAN	RIGHT SPAN
1	/DEAD LOAD		-22.43	-257.72	-125.11
1	/LIVE LOAD		32.11	-38.57	-8.90
1	/X-SEISMIC		353.47	-150.88	.23
1	/Y-SEISMIC		-807.95	347.25	-.53

BEAM NO	IDENTIFICATION	LOAD	RIGHT MOMENT	LEFT SPAN	RIGHT SPAN
1	/DEAD LOAD		34.92	22.21	-9.44
1	/LIVE LOAD		6.63	-5.27	-1.75
1	/X-SEISMIC		1.37	-1.38	-.12
1	/Y-SEISMIC		3.12	3.15	-.01

STORY SHEAR /-----
LOAD I .27
II .04
III .00

CONDITIONS---
A -.23,.97
B 54.50

COLUMN FORCES AT LEVEL ROOF IN FRAME 1

COLUMN NO	IDENTIFICATION	LOAD	RIGHT MOMENT	LEFT SPAN	RIGHT SPAN
1	/DEAD LOAD		20.39	23.38	-11.67
1	/LIVE LOAD		3.01	2.43	-.97
1	/X-SEISMIC		.75	.95	-.11
1	/Y-SEISMIC		-1.71	-2.17	-.20

COLUMN FORCES AT LEVEL ROOF IN FRAME 1

COLUMN NO	IDENTIFICATION	LOAD	RIGHT MOMENT	LEFT SPAN	RIGHT SPAN
1	/DEAD LOAD		98.76	146.25	-61.21
1	/LIVE LOAD		8.67	-14.69	-2.97
1	/X-SEISMIC		118.05	-15.41	-.11
1	/Y-SEISMIC		-272.61	35.65	-.25

COLUMN FORCES AT LEVEL ROOF IN FRAME 1

COLUMN NO	IDENTIFICATION	LOAD	RIGHT MOMENT	LEFT SPAN	RIGHT SPAN
1	/DEAD LOAD		-22.31	21.94	-.28
1	/LIVE LOAD				
1	/X-SEISMIC				
1	/Y-SEISMIC				

PAGE 45 BEAM FORCES AT LEVEL ROOF IN FRAME 1

COLUMN NO	IDENTIFICATION	LOAD	RIGHT MOMENT	LEFT SPAN	RIGHT SPAN
1	/DEAD LOAD		15.39	13.61	-24.60
1	/LIVE LOAD		3.03	.50	-.24
1	/X-SEISMIC		.63	-.23	-.13
1	/Y-SEISMIC		-1.44	-.14	.30

COLUMN NO	IDENTIFICATION	LOAD	RIGHT MOMENT	LEFT SPAN	RIGHT SPAN
1	/DEAD LOAD		.00	.00	
1	/LIVE LOAD				
1	/X-SEISMIC				
1	/Y-SEISMIC				

COLUMN FORCES AT LEVEL ROOF IN FRAME 1

COLUMN NO	IDENTIFICATION	LOAD	RIGHT MOMENT	LEFT SPAN	RIGHT SPAN
1	/DEAD LOAD				
1	/LIVE LOAD				
1	/X-SEISMIC				
1	/Y-SEISMIC				

PAGE 46

1 /LIVE LOAD -2.47 3.41 2.21 -.87 -.95
 1 /X-SEISMIC -1.18 -.31 .07 -.11 .11
 1 /Y-SEISMIC 2.69 2.99 -.15 .25 -.25

STORY SHEAR /-----/ LOAD CONDITIONS -----/
 1 .44 .07 .00 -12.28 28.33

FRAME NO. = 5
 /TABS 80 /STATIK

LATERAL FRAME DISPLACEMENTS IN FRAME B

LEVEL	DEAD LOAD	LIVE LOAD	/X-SEISMIC	/Y-SEISMIC
ROOF	.0000081	.000012	.003763	-.000612
ST-3	.0000052	.000008	.002718	-.000442
ST-2	.0000026	.000004	.001648	-.000268
ST-1	.0000008	.000001	.000703	-.000114

/TABS 80 /STATIK
 COLUMN FORCES AT LEVEL ST-1 IN FRAME B

COLUMN NO	LOAD IDENTIFICATION	BOTTOM MOMENT	TOP FORCE	AxIAL FORCE	SHEAR FORCE
1	/DEAD LOAD	32.45	55.71	-133.13	-8.40
1	/LIVE LOAD	8.19	14.06	-27.10	-2.12
1	/X-SEISMIC	-2.02	-.45	.80	.24
1	/Y-SEISMIC	.33	.07	-.13	-.04
2	DEAD LOAD	-1.91	-3.25	-267.95	.49
2	LIVE LOAD	-.51	-.87	-56.93	.13
2	/X-SEISMIC	-2.36	-1.04	-.06	.32
2	/Y-SEISMIC	.38	.17	.01	-.05
3	DEAD LOAD	-.02	.00	-263.14	.00
3	LIVE LOAD	.00	-.00	-55.93	.00
3	/X-SEISMIC	-2.34	-1.00	.00	.32
3	/Y-SEISMIC	.38	.16	.00	-.05
4	DEAD LOAD	1.87	3.24	-267.95	-.49
4	LIVE LOAD	.50	.86	-56.93	-.13
4	/X-SEISMIC	-2.36	-1.04	.06	.32
4	/Y-SEISMIC	.38	.17	-.01	-.05

FORCES AT LEVEL ST-1 IN FRAME B

BEAM NO	LOAD IDENTIFICATION	LEFT MOMENT	RIGHT MOMENT	SPAN MOMENT	LEFT SHEAR	RIGHT SHEAR
1	/DEAD LOAD	-123.83	154.99	98.74	-31.18	-33.93
1	/LIVE LOAD	-30.96	38.94	25.13	-.76	-.85
1	/X-SEISMIC	2.04	1.90	.07	-.17	-.17
1	/Y-SEISMIC	-.33	-.31	-.01	-.03	.03
2	DEAD LOAD	-147.66	145.66	87.86	-32.64	-32.46
2	LIVE LOAD	-37.07	36.52	21.98	-.802	-.798
2	/X-SEISMIC	1.80	1.80	.00	-.16	-.16
2	/Y-SEISMIC	-.29	-.29	.00	-.03	.03
3	DEAD LOAD	-145.61	147.71	87.86	-32.46	-32.64
3	LIVE LOAD	-36.51	37.08	21.99	-.798	-.802
3	/X-SEISMIC	1.80	1.80	.00	-.16	-.16
3	/Y-SEISMIC	-.29	-.29	.00	-.03	.03
4	DEAD LOAD	-154.94	123.89	98.77	-33.92	-31.18
4	LIVE LOAD	-38.94	30.97	25.13	-.835	-.765
4	/X-SEISMIC	1.90	2.04	-.07	-.17	-.17
4	/Y-SEISMIC	-.31	-.33	.01	-.03	.03

COLUMN NO	LOAD IDENTIFICATION	TOP MOMENT	BOTTOM MOMENT	AXIAL FORCE	SHEAR FORCE
1	/DEAD LOAD	.00	.00	1.44	-.23
1	LIVE LOAD	.00	.00	1.44	-.23
1	/X-SEISMIC	1	1	1	1
1	/Y-SEISMIC	1	1	1	1
2	DEAD LOAD	-.40	-2.53	-198.20	.79
2	LIVE LOAD	-.03	-.53	-40.55	.18
2	/X-SEISMIC	-.40	-.82	-.05	.50
2	/Y-SEISMIC	-.39	.30	.01	-.08

PAGE . . 45

COLMN	LOAD	BOTTOM	TOP	AXIAL
NO	IDENTIFICATION	MOMENT	MOMENT	FORCE
1	/DEAD LOAD	66.24	59.43	-6.4 .34
1	/LIVE LOAD	17.55	17.36	-11.64
1	/X-SEISMIC	-1.37	-1.08	.41
1	/Y-SEISMIC	.22	.18	-.07
2	/DEAD LOAD	-.88	-.29	-129.67
2	/LIVE LOAD	-.41	-.53	-24.37
2	/X-SEISMIC	-2.38	-2.03	-.03
2	/Y-SEISMIC	.39	.33	.01
3	/DEAD LOAD	-.06	-.04	-127.31
3	/LIVE LOAD	-.01	-.01	-23.98
3	/X-SEISMIC	-2.35	-2.00	-.00
3	/Y-SEISMIC	.38	.33	-.08
4	/DEAD LOAD	.76	.20	-129.66
4	/LIVE LOAD	.39	.51	-24.37
4	/X-SEISMIC	-2.38	-2.03	.03
4	/Y-SEISMIC	.39	.33	-.01
5	/DEAD LOAD	-66.31	-59.47	-64.36
5	/LIVE LOAD	-17.56	-17.37	-11.65
5	/X-SEISMIC	-1.37	-1.08	-.01
5	/Y-SEISMIC	.22	.18	.07

BEAM FORCES AT LEVEL ST-3 IN FRAME B

BEAM	LOAD	LEFT	RIGHT	SPAN
NO	IDENTIFICATION	MOMENT	MOMENT	MOMENT
1	/DEAD LOAD	-135.29	149.31	93.06
1	/LIVE LOAD	-32.83	37.95	24.20
1	/X-SEISMIC	2.73	2.60	.07
1	/Y-SEISMIC	-.44	-.42	-.01
2	/DEAD LOAD	-146.00	146.54	88.24
2	/LIVE LOAD	-36.83	36.65	21.97
2	/X-SEISMIC	2.51	2.51	.00
2	/Y-SEISMIC	-.41	-.41	.00
3	/DEAD LOAD	-146.41	146.13	88.24
3	/LIVE LOAD	-36.63	36.85	21.98
3	/X-SEISMIC	2.51	2.51	.00
3	/Y-SEISMIC	-.41	-.41	.00
4	/DEAD LOAD	-149.17	135.43	93.02
4	/LIVE LOAD	-37.92	32.85	24.19
4	/X-SEISMIC	2.60	2.73	-.07
4	/Y-SEISMIC	-.42	-.44	-.01

BEAM FORCES AT LEVEL ST-2 IN FRAME B

BEAM	LOAD	LEFT	RIGHT	SPAN
NO	IDENTIFICATION	LOAD	LOAD	MOMENT
1	/DEAD LOAD	1	1	133.03
1	/LIVE LOAD	1	1	33.52
1	/X-SEISMIC	1	1	2.50
1	/Y-SEISMIC	1	1	-.41
2	/DEAD LOAD	2	2	146.48
2	/LIVE LOAD	2	2	36.71
2	/X-SEISMIC	2	2	2.29
2	/Y-SEISMIC	2	2	-.37
3	/DEAD LOAD	3	3	146.18
3	/LIVE LOAD	3	3	36.72
3	/X-SEISMIC	3	3	2.29
3	/Y-SEISMIC	3	3	-.37
4	/DEAD LOAD	4	4	146.18
4	/LIVE LOAD	4	4	36.72
4	/X-SEISMIC	4	4	2.38
4	/Y-SEISMIC	4	4	-.39

BEAM	LOAD	STORY	CONDITIONS
NO	IDENTIFICATION	SHAR	/
1	/DEAD LOAD	1	III
1	/LIVE LOAD	.04	I
1	/X-SEISMIC	.01	II
1	/Y-SEISMIC	.00	A
2	/DEAD LOAD	2	B
2	/LIVE LOAD	.04	0.00
2	/X-SEISMIC	.00	-.33
2	/Y-SEISMIC	.00	.04

/ TABS 80 /STATIK

PAGE COLUMN FORCES AT LEVEL ST-3 IN FRAME B

STORY SHEAR /-----/ LOAD CONDITIONS /-----/

	1	II	III	A	B
1	.05	.01	.00	2.13	-.35
/TABS 80					
/STATIK					
COLUMN	FORCES AT LEVEL ROOF IN FRAME B				

COLUMN NO	LOAD IDENTIFICATION	BOTTOM MOMENT	TOP FORCE	AXIAL FORCE	STORY SHEAR FORCE	CONDITIONS /-----/
4	/DEAD LOAD	87.12	-29.75	-29.75	-21.89	/LIVE LOAD /X-SEISMIC /Y-SEISMIC
1	/LIVE LOAD	17.47	-3.75	-3.75		
1	/X-SEISMIC	-1.37	-.18	-.18		
1	/Y-SEISMIC	.22	-.03	-.06		
2	/DEAD LOAD	-3.24	-5.54	-61.32	1.03	/DEAD LOAD /LIVE LOAD /X-SEISMIC /Y-SEISMIC
2	/LIVE LOAD	-.57	-.42	-.813	.12	
2	/X-SEISMIC	-2.60	-2.98	-.02	.66	
2	/Y-SEISMIC	.42	.49	.00	-.11	
3	/DEAD LOAD	-.08	-.08	-59.52	.02	LATERAL FRAME DISPLACEMENTS IN FRAME C
3	/LIVE LOAD	-.01	-.01	-.799	.00	
3	/X-SEISMIC	-2.54	-2.89	.00	.64	
3	/Y-SEISMIC	.41	.47	.00	-.10	
4	/DEAD LOAD	3.08	5.37	-61.32	-.99	LEVEL /DEAD LOAD /LIVE LOAD /X-SEISMIC /Y-SEISMIC
4	/LIVE LOAD	.55	.40	-.813	-.11	
4	/X-SEISMIC	-2.60	-2.98	.02	.66	
4	/Y-SEISMIC	.42	.49	.00	-.11	
5	/DEAD LOAD	-87.21	-99.08	-29.77	21.92	/TABS 80
5	/LIVE LOAD	-17.48	-14.42	-3.87	3.75	/STATIK
5	/X-SEISMIC	-1.37	-1.70	-.18	.36	
5	/Y-SEISMIC	.22	.28	.03	-.06	

BEAM FORCES AT LEVEL ROOF IN FRAME B

BEAM NO	LOAD IDENTIFICATION	LEFT SPAN MOMENT	RIGHT SPAN MOMENT	LEFT SHEAR FORCE	RIGHT SHEAR FORCE	COLMN NO	LOAD IDENTIFICATION	BOTTOM MOMENT	TOP MOMENT	AXIAL FORCE	SHEAR FORCE
1	/DEAD LOAD	-103.10	135.94	89.64	-27.10	1	/DEAD LOAD	16.87	28.88	-75.93	-4.36
1	/LIVE LOAD	-15.96	18.91	12.43	-30.00	1	/LIVE LOAD	4.01	6.87	-13.32	-1.04
1	/X-SEISMIC	2.13	1.94	.10	-3.87	1	/X-SEISMIC	-1.74	-5.54	1.02	.22
1	/Y-SEISMIC	.35	.32	-.02	-.18	1	/Y-SEISMIC	-.44	-.14	.26	.06
2	/DEAD LOAD	-129.74	127.17	76.74	-28.66	2	/DEAD LOAD	118.75	-113.74	-416.46	-.48
2	/LIVE LOAD	-18.39	18.35	10.98	-4.00	2	/LIVE LOAD	20.34	-19.65	-56.89	-.07
2	/X-SEISMIC	1.80	1.82	-.01	-.16	2	/X-SEISMIC	-2704.62	1763.00	-.05	.68
2	/Y-SEISMIC	-.29	-.30	.00	-.03	2	/Y-SEISMIC	-692.11	454.39	-.01	.22
3	/DEAD LOAD	-127.06	129.85	76.74	-28.43	3	/DEAD LOAD	1.35	2.24	-148.66	-.34
					3	/LIVE LOAD	.32	.54	-28.22	-.08	
					3	/X-SEISMIC	-2.01	-1.00	-.34	.29	
					3	/Y-SEISMIC	-.51	-.25	-.09	.07	

PAGE

	51	4	4	4	3
/		/DEAD LOAD	/LIVE LOAD	/X-SEISMIC	/Y-SEISMIC

PAGE

	51	4	4	4	3
/		/DEAD LOAD	/LIVE LOAD	/X-SEISMIC	/Y-SEISMIC

PAGE

	51	4	4	4	3
/		/DEAD LOAD	/LIVE LOAD	/X-SEISMIC	/Y-SEISMIC

	FORCES AT LEVEL ST-3 IN FRAME C		
BEAM NO	LOAD IDENTIFICATION	RIGHT MOMENT	LEFT MOMENT
1	/DEAD LOAD	-68.11	82.78
1	/LIVE LOAD	-15.66	19.81
1	/X-SEISMIC	3.36	3.39
1	/Y-SEISMIC	.87	.88
2	/DEAD LOAD	-81.74	73.38
2	/LIVE LOAD	-19.13	17.64
2	/X-SEISMIC	3.31	3.17
2	/Y-SEISMIC	.85	.82
3	/DEAD LOAD	-78.85	71.73
3	/LIVE LOAD	-18.93	16.12
3	/X-SEISMIC	2.04	2.19
3	/Y-SEISMIC	.53	.57

	FORCES AT LEVEL ROOF IN FRAME C		
BEAM NO	LOAD IDENTIFICATION	RIGHT MOMENT	LEFT MOMENT
3	/LIVE LOAD	-2.34	-2.00
3	/X-SEISMIC	-.60	-.51
3	/Y-SEISMIC	-.22	-.06
4	/DEAD LOAD	-35.15	-31.47
4	/LIVE LOAD	-8.77	-8.68
4	/X-SEISMIC	-1.11	-.88
4	/Y-SEISMIC	-.29	-.22

STORY SHEAR	/-----/ LOAD CONDITIONS -----/		
	I	II	III
-2.85	-44	.00	60.08
/TABS 80 /STATIK			
COLUMN NO	LOAD IDENTIFICATION	BOTTOM MOMENT	TOP MOMENT
1	/DEAD LOAD	44.19	49.99
1	/LIVE LOAD	8.29	6.66
1	/X-SEISMIC	-1.84	-2.33
1	/Y-SEISMIC	-.48	-.60
2	/DEAD LOAD	43.58	-20.30
2	/LIVE LOAD	5.63	-1.72
2	/X-SEISMIC	-288.47	32.26
2	/Y-SEISMIC	-77.53	8.78
3	/DEAD LOAD	3.91	5.57

STORY SHEAR	/-----/ LOAD CONDITIONS -----/		
	I	II	III
-3.20	.00	-.51	.00
/TABS 80 /STATIK			

STORY SHEAR	/-----/ LOAD CONDITIONS -----/		
	I	II	III
-3.20	.00	-.51	.00

PAGE 56 FRAME NO. = 7

/TABS 80 /STATIK

BEAM NO	LOAD IDENTIFICATION	RIGHT MOMENT	LEFT MOMENT	SPAN MOMENT
1	/DEAD LOAD	-18.20	-16.90	48.31
1	/LIVE LOAD	-4.18	-3.82	6.42
1	/X-SEISMIC	-.30	-.08	-.16
1	/Y-SEISMIC	.08	.08	-.04
2	/DEAD LOAD	-4.07	-3.93	41.21
2	/LIVE LOAD	.07	.29	5.71
2	/X-SEISMIC	.07	-.07	.22
2	/Y-SEISMIC	.02	.02	.06
3	/DEAD LOAD	-17.86	-17.24	47.48
3	/LIVE LOAD	-4.11	-3.89	6.23
3	/X-SEISMIC	-.19	-.19	-.15
3	/Y-SEISMIC	.05	-.05	.03

BEAM NO	LOAD IDENTIFICATION	RIGHT MOMENT	LEFT MOMENT	SPAN MOMENT
1	/DEAD LOAD	-51.21	-51.21	48.31
1	/LIVE LOAD	-7.31	-7.31	6.42
1	/X-SEISMIC	2.89	2.89	3.21
1	/Y-SEISMIC	.75	.75	-.04
2	/DEAD LOAD	-72.17	-72.17	41.21
2	/LIVE LOAD	-9.99	-9.99	5.71
2	/X-SEISMIC	3.11	3.11	2.67
2	/Y-SEISMIC	.81	.81	.69
3	/DEAD LOAD	-71.98	-71.98	47.48
3	/LIVE LOAD	-9.33	-9.33	6.01
3	/X-SEISMIC	1.35	1.35	1.65
3	/Y-SEISMIC	.35	.35	.43

COLMN NO	LOAD IDENTIFICATION	TOP MOMENT	AXIAL FORCE	SHEAR FORCE
1	/DEAD LOAD	44.19	-17.05	-11.08
1	/LIVE LOAD	8.29	-1.87	-1.76
1	/X-SEISMIC	-1.84	.27	.49
1	/Y-SEISMIC	-.48	-.07	.13
2	/DEAD LOAD	43.58	-20.30	-96.55
2	/LIVE LOAD	5.63	-1.72	-.20
2	/X-SEISMIC	-288.47	32.26	-.01
2	/Y-SEISMIC	-77.53	8.78	.00
3	/DEAD LOAD	3.91	5.57	-34.20

LEVEL	/DEAD LOAD	/LIVE LOAD	/X-SEISMIC	/Y-SEISMIC
ROOF	.000068	.000010	.003481	-.000686
ST-3	.000043	.000007	.002514	-.000495
ST-2	.000022	.000003	.001525	-.000300
ST-1	.000007	.000001	.000651	-.000128

/TABS 80 /STATIK

PAGE 58

PAGE 57

COLUMN FORCES AT LEVEL ST-1 IN FRAME A

COLUMN NO	LOAD IDENTIFICATION	BOTTOM MOMENT	TOP MOMENT	AXIAL FORCE	SHEAR FORCE
1	/DEAD LOAD	16.82	28.88	-75.85	-4.35
1	/LIVE LOAD	4.00	6.87	-13.31	-1.04
1	/X-SEISMIC	-1.98	-.61	1.16	.25
1	/Y-SEISMIC	.39	.12	-.23	-.05
2	/DEAD LOAD	-37.81	28.93	-416.47	.85
2	/LIVE LOAD	-5.04	3.31	-56.89	.16
2	/X-SEISMIC	-3076.94	2005.47	-.06	102.05
2	/Y-SEISMIC	605.72	-395.54	.01	-20.02
3	/DEAD LOAD	1.28	2.22	-148.68	-.33
3	/LIVE LOAD	.31	.54	-28.23	-.08
3	/X-SEISMIC	-2.29	-1.14	-.39	-.33
3	/Y-SEISMIC	.45	.22	.08	-.06
4	/DEAD LOAD	-17.28	-29.62	-77.22	4.47
4	/LIVE LOAD	-4.10	-7.03	-13.57	1.06
4	/X-SEISMIC	-1.86	-.41	-.71	.22
4	/Y-SEISMIC	.37	.08	.14	-.04

FORCES AT LEVEL ST-1 IN FRAME A

BEAM NO	LOAD IDENTIFICATION	LEFT MOMENT	RIGHT MOMENT	SPAN MOMENT	RIGHT SHEAR
1	/DEAD LOAD	-63.39	84.83	52.35	-16.60
1	/LIVE LOAD	-15.03	20.07	12.68	-3.78
1	/X-SEISMIC	2.53	2.41	.06	-.22
1	/Y-SEISMIC	-.50	-.47	-.01	-.04
2	/DEAD LOAD	-79.04	76.44	46.77	-17.67
2	/LIVE LOAD	-18.65	18.17	11.02	-.40
2	/X-SEISMIC	2.30	2.30	.00	-.20
2	/Y-SEISMIC	-.45	-.45	-.00	-.04
3	/DEAD LOAD	-81.85	65.69	51.84	-16.26
3	/LIVE LOAD	-19.42	15.51	12.57	-.417
3	/X-SEISMIC	1.69	1.86	-.18	-.16
3	/Y-SEISMIC	-.33	-.37	.02	-.03

/-----/ LOAD CONDITIONS /-----/

STORY SHEAR /-----/ LOAD CONDITIONS /-----/

/-----/ LOAD CONDITIONS /-----/

A

B

C

D

E

F

G

H

I

J

K

L

M

N

O

P

Q

R

S

T

U

V

W

X

Y

Z

AA

BB

CC

DD

EE

FF

GG

HH

II

JJ

KK

LL

MM

NN

OO

PP

QQ

RR

TT

UU

VV

WW

XX

YY

ZZ

AA

BB

CC

DD

EE

FF

GG

HH

II

JJ

KK

LL

MM

NN

OO

PP

QQ

RR

TT

UU

VV

WW

XX

YY

ZZ

AA

BB

CC

DD

EE

FF

GG

HH

II

JJ

KK

LL

MM

NN

OO

PP

QQ

RR

TT

UU

VV

WW

XX

YY

ZZ

AA

BB

CC

DD

EE

FF

GG

HH

II

JJ

KK

LL

MM

NN

OO

PP

QQ

RR

TT

UU

VV

WW

XX

YY

ZZ

AA

BB

CC

DD

EE

FF

GG

HH

II

JJ

KK

LL

MM

NN

OO

PP

QQ

RR

TT

UU

VV

WW

XX

YY

ZZ

AA

BB

CC

DD

EE

FF

GG

HH

II

JJ

KK

LL

MM

NN

OO

PP

QQ

RR

TT

UU

VV

WW

XX

YY

ZZ

AA

BB

CC

DD

EE

FF

GG

HH

II

JJ

KK

LL

MM

NN

OO

PP

QQ

RR

TT

UU

VV

WW

XX

YY

ZZ

AA

BB

CC

DD

EE

FF

GG

HH

II

JJ

KK

LL

MM

NN

OO

PP

QQ

RR

TT

UU

VV

WW

XX

YY

ZZ

AA

BB

CC

DD

EE

FF

GG

HH

II

JJ

KK

LL

MM

NN

OO

PP

QQ

RR

TT

UU

VV

WW

XX

YY

ZZ

AA

BB

CC

DD

EE

FF

GG

HH

II

JJ

KK

LL

MM

NN

OO

PP

QQ

RR

TT

UU

VV

WW

XX

YY

ZZ

AA

BB

CC

DD

EE

FF

GG

HH

II

JJ

KK

LL

MM

NN

OO

PP

QQ

COLUMN FORCES AT LEVEL ST-3 IN FRAME A

COLUMN NO	LOAD IDENTIFICATION	BOTTOM MOMENT	TOP FORCE	AXIAL FORCE	SHEAR FORCE	LOAD IDENTIFICATION	BOTTOM MOMENT	TOP FORCE	AXIAL FORCE	SHEAR FORCE	
1	/DEAD LOAD	33.76	-36.55	-7.54		1	/DEAD LOAD	44.00	-17.02	-11.03	
1	/LIVE LOAD	8.48	-5.68	-1.99		1	/LIVE LOAD	8.26	6.63	-1.87	-1.75
1	/X-SEISMIC	-1.76	-1.40	.64		1	/X-SEISMIC	-2.09	-2.65	.31	.56
1	/Y-SEISMIC	.35	.28	-.13		1	/Y-SEISMIC	.41	.52	-.06	-.11
2	/DEAD LOAD	-32.92	11.46	-200.67	2.52	2	/DEAD LOAD	-13.49	-12.77	-96.55	3.09
2	/LIVE LOAD	-5.36	1.68	-24.45	.43	2	/LIVE LOAD	-3.39	-.54	-8.20	.46
2	/X-SEISMIC	-983.08	412.51	-.03	67.13	2	/X-SEISMIC	-327.83	36.65	-.02	34.26
2	/Y-SEISMIC	194.49	-81.90	.01	-13.25	2	/Y-SEISMIC	65.19	-7.31	.00	-6.81
3	/DEAD LOAD	1.68	1.27	-71.92	-.35	3	/DEAD LOAD	3.63	5.25	-34.21	-1.05
3	/LIVE LOAD	-.45	.50	-12.04	-.11	3	/LIVE LOAD	.66	-.66	-3.99	-.16
3	/X-SEISMIC	-2.66	-2.28	-.25	.58	3	/X-SEISMIC	-3.13	-.66	-.14	.80
3	/Y-SEISMIC	.53	.45	.05	-.11	3	/Y-SEISMIC	.62	.72	.03	-.16
4	/DEAD LOAD	-35.26	-31.52	-37.38	7.86	4	/DEAD LOAD	-46.68	-53.34	-17.47	11.77
4	/LIVE LOAD	-8.79	-8.69	-5.84	2.06	4	/LIVE LOAD	-8.77	-7.25	-1.94	1.88
4	/X-SEISMIC	-1.26	-1.00	-.36	.27	4	/X-SEISMIC	-1.23	-1.50	-.15	.32
4	/Y-SEISMIC	.25	.20	.07	.05	4	/Y-SEISMIC	.24	.30	.03	-.06

BEAM FORCES AT LEVEL ST-3 IN FRAME A

BEAM NO	LOAD IDENTIFICATION	LEFT SPAN MOMENT	RIGHT SPAN MOMENT	LOAD IDENTIFICATION	LEFT SPAN MOMENT	RIGHT SPAN MOMENT	LOAD IDENTIFICATION	LEFT SPAN MOMENT	RIGHT SPAN MOMENT	LOAD IDENTIFICATION	
1	/DEAD LOAD	-67.80	50.05	-16.88	-18.22		1	/DEAD LOAD	-50.93	77.76	
1	/LIVE LOAD	-15.61	19.86	-3.81	-4.19		1	/LIVE LOAD	-7.26	10.29	
1	/X-SEISMIC	3.82	3.85	-.02	.34		1	/X-SEISMIC	3.28	3.65	
1	/Y-SEISMIC	-.75	-.76	.00	-.07		1	/Y-SEISMIC	-.65	-.72	
2	/DEAD LOAD	-81.44	73.67	47.19	-17.89	-17.21	2	/DEAD LOAD	-71.88	65.68	41.19
2	/LIVE LOAD	-19.09	17.69	11.20	-4.06	-3.94	2	/LIVE LOAD	-9.94	8.50	5.70
2	/X-SEISMIC	3.76	3.60	.08	.32	-.32	2	/X-SEISMIC	3.54	3.03	.25
2	/Y-SEISMIC	-.74	-.71	-.02	-.06	.06	2	/Y-SEISMIC	-.70	-.60	-.05
3	/DEAD LOAD	-78.66	71.93	49.38	-17.85	-17.25	3	/DEAD LOAD	-71.84	55.30	47.42
3	/LIVE LOAD	-18.90	16.45	12.10	-.4.11	-3.89	3	/LIVE LOAD	-9.31	8.04	6.22
3	/X-SEISMIC	2.32	2.49	-.09	.21	-.21	3	/X-SEISMIC	1.53	1.88	-.17
3	/Y-SEISMIC	-.46	-.49	.02	-.04	.04	3	/Y-SEISMIC	-.30	-.37	.03

STORY SHEAR /-----/ LOAD CONDITIONS /-----/

STORY	SHEAR	LOAD I	LOAD II	LOAD III	LOAD IV	LOAD V	LOAD VI	LOAD VII	LOAD VIII	LOAD IX
1		2.50	.39	.00	68.34	-13.49				

STORY	SHEAR	LOAD I	LOAD II	LOAD III	LOAD IV	LOAD V	LOAD VI	LOAD VII	LOAD VIII	LOAD IX
1		2.78	.44	.00	35.93	-7.14				

FRAME NO. = 8

/TABS 80
/STATK

PAGE 62

SUMMARY OF STORY SHEAR DISTRIBUTION
STORY-BY-STORY / FRAME-BY-FRAME

LEVEL	ID	--FRAME LOCATION--/	I	LOAD CONDITIONS		
				II	III	A B
ST-1	FRAME A		.63	.11	.00	102.83
	FRAME C		-.71	-.12	.00	90.37
	FRAME B		.01	.00	.00	1.44
	FRAME 1		.05	.01	.00	-36.41
	FRAME 5		.36	.06	.00	82.30
	FRAME 2		-.03	-.01	.00	-3.57
	FRAME 3		-.03	-.01	.00	.20
	FRAME 4		-.03	-.01	.00	.61
ST-2	FRAME A		1.61	.28	.00	90.48
	FRAME C		-.84	-.32	.00	79.52
	FRAME B		.04	.01	.00	2.00
	FRAME 1		.21	.03	.00	-31.90
	FRAME 5		1.01	.17	.00	-3.10
	FRAME 2		-.13	-.02	.00	-.26
	FRAME 3		-.13	-.02	.00	-.19
	FRAME 4		-.13	-.02	.00	-.11
ST-3	FRAME A		2.50	.39	.00	68.34
	FRAME C		-.2.85	-.44	.00	60.08
	FRAME B		.05	-.01	.00	2.13
	FRAME 1		.27	.04	.00	-23.97
	FRAME 5		1.51	.24	.00	54.50
	FRAME 2		-.17	-.03	.00	-2.30
	FRAME 3		-.17	-.03	.00	.85
	FRAME 4		-.16	-.03	.00	-.20
ROOF	FRAME A		2.78	.44	.00	35.93
	FRAME C		-.3.20	-.51	.00	31.62
	FRAME B		.08	.01	.00	2.68
	FRAME 1		.44	.07	.00	-12.28
	FRAME 5		1.82	.29	.00	-1.10
	FRAME 2		-.28	-.05	.00	-.36
	FRAME 3		-.28	-.04	.00	1.11
	FRAME 4		-.27	-.04	.00	-.15